

Universidad de La Habana

Facultad de Física

TESIS

*presentada en opción al grado de*

**Doctor en Ciencias Físicas**

**EFFECTOS DEL CAMPO MAGNÉTICO EN UN GAS  
DE BOSONES VECTORIALES NEUTROS:  
APLICACIONES ASTROFÍSICAS**

**Autora:** M.C. Gretel Quintero Angulo

**Tutora:** Dra. Aurora Pérez Martínez, ICIMAF

La Habana, 2019



*"Que así viviendo de respirar, no piensas que respiras, y solo ves la fruta en la bandeja,  
y caminas bajo las estrellas como si fuera una costumbre y no un prodigio."*

*Dulce María Loynaz,  
Tríptico de San Martín*



## Agradecimientos

Uno de los momentos más felices durante la escritura de la tesis lo tuve al darme cuenta de que los agradecimientos sobrepasarían las dos páginas. En él fui consciente de la gran cantidad de personas que me han ayudado y acompañado en estos últimos años.

A todas expreso ahora el deseo de que mi paso por sus vidas esté siendo para ellas tan beneficioso como lo ha sido para mí.

Hecho esto, comenzaré agradeciendo a mi familia, en especial a mis abuelas, dos mujeres excepcionales a quienes está dedicada la tesis;

a mi mamá, por su cariño y porque sin su apoyo doméstico yo no podría investigar;

a mi papá, que además del apoyo doméstico, contribuyó muchísimo a la calidad final de la tesis escrita, la cual tuvo la paciencia de leer más de una vez a la caza de errores tipográficos y de redacción;

a mi hermana, que siempre supo que yo lo lograría;

a Dariel, que casi es otro hermano;

y a mis tías Celia, Aleida, Herminia y Carmín, a mi tío Coqui y a mis primas Adrianee, Ayleem e Ingrid, por su sustento tanto espiritual como material, muchas veces desde la distancia.

Igualmente agradezco a mis amigos, dondequiera que estén, y especialmente:

a Martica y Akemi, siempre;

a Etién, básicamente por ser Etién;

a Marlon, que compartió mis momentos más oscuros y me acompañó por el largo camino hasta la luz;

a Ibis, Mirna y Cecilia, siempre preocupadas por mi familia y por mí;

a Iris y Erick, por esas buenas y largas conversaciones sobre lo mundano y lo esotérico;

a Diana, por las infinitas horas de trabajo compartidas y por ser de esas personas para quienes decir y hacer vienen siendo lo mismo;

a Sandra, porque hacía rato que ninguna de las dos tenía una amiga nueva, y ahora podemos odiar y amar juntas, y chismear principalmente;

a Lismary, que tuvo el valor de ponerse en mis manos para que la dirigiera en su maestría, algo que yo nunca hubiera hecho pero que va saliendo muy bien;

a Joeluis, por una amistad en la que sobran las palabras;

a David, quien a pesar de sus perretas, o precisamente por ellas, me recuerda mucho a mí cuando tenía su edad;

a mis compañeros de los locales de adiestrados, quienes aguantaron con más paciencia de la que merezco mi estrés de la predefensa, en particular a Elena y Lídice, las chicas del café, a Yanela, la chica de la cerveza, y a los chicos del 32 (el local más *cool* de la Facultad de Física): Antonio, Adrián, Frank, Vicente, Andy, Joe, Laciél, Ernesto, Michael, Alfredito y Gustavo;

y a toda la gente que ha experimentado el teatro a través del Monopolo Magnético: Sandra, Isabel, Joeluis, Ale Ramos, David, Lismary, Lídice, Adrián, Landy, Gustavo, Antonio, Vicente, Víctor y Gabriel, por seguirme en esta aventura gracias a la cual ahora nos conocemos mejor.

Quiero además agradecer a los trabajadores y profesores de la Facultad Física, en particular a dos personas cuyas magnificas clases recuerdo siempre, Eddy Jiménez y Medel Pérez, y a aquellos con los que no solo aprendí en el aula, sino trabajando juntos en las más disimiles tareas: Maite, Marín, Maruchy y Carlos Rodríguez; y también doy ahora gracias a una persona sin la cual nunca hubiera logrado defender la tesis, Mercy, el ángel que nos salva de morir aplastados por la burocracia.

Para finalizar mencionaré al Departamento de Física Teórica del ICIMAF, pero no al lugar, se entiende, sino a las personas que lo componen, porque allí encontré el entorno ideal para la investigación científica, un ambiente en el que prima la solidaridad sobre la competencia y en el que cada quien pone su granito de arena para que los cálculos, los artículos, los seminarios, las presentaciones en eventos, los viajes, los conciertos de rock, las obras de teatro, las fiestas y hasta las salidas con los novios salgan siempre lo mejor posible.

Por ello quiero dar las gracias a Nilda, que escaneó todos los cálculos de la tesis y que, sobre todo en las etapas finales de su escritura, más de una vez esperó por Aurora y por mí hasta pasadas las ocho de la noche para cerrar el edificio;

a Yamila y su sexto sentido para detectar cuando estamos necesitados de café;

a Eru, que siempre nos recibe con una sonrisa;

al Gabi, que todos los días llegaba al instituto dispuesto a terminar su programa, pero acaba sumándose a lo que fuera que Aurora, Diana, Daryel y yo estuviéramos discutiendo;

a Duvier, que para toda situación tensa tiene un chiste;

a Daryel, porque todo pasa;

a Frank, por ayudarme a armar la historia que conté en la presentación final;

a Lídice, Diana, Lismary y Samantha, las estrellitas de Aurora;

a Elizabeth, por la dulzura con que en los seminarios hace siempre las preguntas más  
difíciles;

a los profes Cabo y Augusto, y a Vicky por sus buenas sugerencias y críticas;

a nuestros colaboradores Ernesto Contreras y Pedro Bargeño, con quienes aprendí  
mucho de Relatividad General, y comprobé que investigar vía WhatsApp es posible;

al profesor Omair Zubairi, quien muy amablemente accedió a contestar por esta misma  
vía todas mis dudas acerca de sus trabajos en la modelación de objetos compactos no  
esféricos;

a Hugo, porque en un momento en el que mi amor por la Física había muerto, su pasión  
por el conocimiento me hizo recuperarlo de golpe en una de nuestras primeras  
conversaciones sobre esos vacíos cuánticos poblados de partículas;

y muy especialmente a Aurora, cuyas energías inagotables son las que inspiran el trabajo  
de todos los que estamos a su alrededor; cuya voluntad de excelencia es la responsable de  
que mi tesis haya estado lista en dos años y dos meses; y cuya bondad y sentido de lo  
humano la hacen tener en cada colega o estudiante un amigo.



## Resumen

Esta tesis está dedicada al estudio de los efectos del campo magnético en la materia que forma las Estrellas de Neutrones suponiendo que los neutrones en su interior pueden estar parcial o totalmente apareados formando bosones vectoriales neutros.

Las propiedades termodinámicas de un gas ideal de bosones vectoriales neutros magnetizado se investigan a partir del espectro obtenido de la teoría de Proca para una y tres dimensiones espaciales. Los principales efectos del campo magnético sobre el gas son, primero, favorecer la transición de fase al condensado de Bose-Einstein, y segundo, separar la presión en dos componentes, una paralela y otra perpendicular al eje magnético, dando lugar a ecuaciones de estado anisotrópicas. A bajas densidades o altos campos magnéticos la menor de las presiones puede ser negativa, y el sistema de bosones deviene susceptible de sufrir un colapso magnético. Por otra parte, cuando la temperatura es lo suficientemente baja, el gas puede automagnetizarse.

Las ecuaciones de estado del gas magnetizado de bosones vectoriales neutros se aplican, en primer lugar, al estudio del colapso magnético de un gas ideal de neutrones, electrones y protones (gas *npe*) en el que los nucleones están parcialmente bosonizados. A partir de los resultados obtenidos, se propone un modelo para la expulsión de materia de la estrella y la formación de *jets* astrofísicos.

Posteriormente, las ecuaciones de estado del gas vectorial magnetizado se utilizan para el estudio de la influencia del campo magnético en la estructura (masa, radio y deformación) de Estrellas de condensado de Bose-Einstein, es decir, de objetos compactos compuestos en su totalidad por un gas de neutrones completamente bosonizados. A fin de tener en cuenta de manera apropiada la anisotropía en las ecuaciones de estado de este objeto, en la tesis se construye un sistema de ecuaciones para describir el equilibrio hidrodinámico -la estructura- de objetos compactos esferoidales a partir de una métrica axisimétrica. Los resultados obtenidos validan a la automagnetización de los bosones como un mecanismo plausible para la generación del campo magnético en los Objetos Compactos.



## Abstract

In this thesis, the effects of the magnetic field on neutron stars matter are studied, assuming that the neutrons inside these stars are partially or totally paired forming neutral vector bosons.

The thermodynamic properties of an ideal gas of magnetized neutral vector bosons are investigated in the frame of Proca theory, for one and three spatial dimensions. The main effects of the magnetic field on the gas are, first, to favor the phase transition to the Bose-Einstein condensation, and second, to split the pressure in two components, one parallel and the other perpendicular to the magnetic axis, giving rise to anisotropic equations of state. At low densities or high magnetic fields, the lowest pressure can be negative, and the boson system becomes susceptible to suffer a transverse magnetic collapse. On the other hand, when the temperature is low enough, the gas can spontaneously magnetize.

The equations of state of the magnetized gas of neutral vector bosons are applied, firstly, to study the magnetic collapse of an ideal gas of neutrons, electrons and protons (*npe* gas) in which the nucleons are partially bosonized. From the results obtained, a model for the ejection of matter out of the star and the formation of astrophysical *jets* is proposed.

Subsequently, the equations of state of the magnetized vector gas are used to study the magnetic field influence on the structure (mass, radius and deformation) of Bose-Einstein condensate stars, that is, of compact objects composed entirely by a neutron gas fully bosonized. In order to appropriately take into account the magnetic anisotropy in the equations of state of this object, we develop a system of equations to describe the hydrodynamic equilibrium -the structure- of spheroidal compact objects starting from an axisymmetric metric. The obtained results validate the bosons self-magnetization as a feasible source for the magnetic field of compact objects.



# Índice general

Resumen	ix
Abstract	xi
Índice general	xiii
Introducción	1
<b>1 Estrellas de neutrones: fenomenología y descripción teórica</b>	<b>7</b>
1.1 El interior de una Estrella de Neutrones . . . . .	7
1.2 Estrellas de Neutrones con interior superfluido: Estrellas de bosones . . . . .	11
1.3 Modelación de estrellas de bosones: Estrellas de condensado de Bose-Einstein . . . . .	13
1.4 Campo magnético en el interior de las estrellas de neutrones . . . . .	15
1.5 Efectos del campo magnético en las ecuaciones de estado de gases cuánticos: objetos compactos deformados y <i>jets</i> astrofísicos . . . . .	16
1.5.1 <i>Jets</i> astrofísicos . . . . .	17
1.5.2 Modelación de la estructura de objetos compactos magnetizados . . . . .	19
<b>2 Propiedades termodinámicas de un gas magnetizado de bosones vectoriales neutros en el límite de baja temperatura</b>	<b>21</b>
2.1 Gas de bosones vectoriales en presencia de campo magnético . . . . .	21
2.2 Lagrangiano, hamiltoniano y espectro energético del gas de bosones vectoriales neutros en interacción con un campo magnético . . . . .	22
2.3 Propiedades termodinámicas del gas de bosones vectoriales neutros . . . . .	24
2.3.1 Densidad de partículas y condensación de Bose-Einstein . . . . .	27
2.3.1.1 Condensación de Bose-Einstein para un gas magnetizado de bosones vectoriales neutros en una dimensión . . . . .	29
2.3.2 Magnetización . . . . .	34
2.4 Presiones anisotrópicas . . . . .	36
2.5 Conclusiones del capítulo . . . . .	38

<b>3</b>	<b>Colapso magnético transversal en un gas <i>npe</i> parcialmente bosonizado. Implicaciones astrofísicas</b>	<b>41</b>
3.1	Gas <i>npe</i> parcialmente bosonizado . . . . .	41
3.2	Colapso magnético transversal: expulsión de materia hacia el exterior de la estrella . .	46
3.2.1	¿Pueden los gases colapsados superar la gravedad? . . . . .	48
3.3	Forma del chorro y estabilidad: generación del campo magnético . . . . .	50
3.4	Ecuaciones de estado de la materia colimada . . . . .	51
3.5	Conclusiones del capítulo . . . . .	54
<b>4</b>	<b>Efectos del campo magnético en las ecuaciones de estado de Estrellas de condensado de Bose-Einstein</b>	<b>57</b>
4.1	Modelación de estrellas de condensado de Bose-Einstein . . . . .	57
4.2	Ecuaciones de estado de un Estrella de condensado de Bose-Einstein magnetizada . . .	58
4.3	Ecuaciones de estado para las Estrellas de condensado de Bose-Einstein magnetizadas y automagnetizadas . . . . .	62
4.3.1	Ecuaciones de estado con campo magnético constante . . . . .	63
4.3.2	Ecuaciones de estado con campo magnético autogenerado . . . . .	65
4.4	Conclusiones del capítulo . . . . .	66
<b>5</b>	<b>Ecuaciones de estructura anisotrópicas</b>	<b>69</b>
5.1	Equilibrio hidrostático estelar en el marco de la Teoría de la Relatividad General . . .	69
5.2	Objetos compactos esféricos: Ecuaciones de Tolman-Oppenheimer-Volkoff . . . . .	70
5.3	Ecuaciones de estructura para objetos compactos esferoidales: Métrica $\gamma$ . . . . .	72
5.3.1	Ecuaciones de estructura anisotrópicas . . . . .	74
5.3.2	Integración de las ecuaciones de estructura $\gamma$ . . . . .	75
5.3.3	El <i>ansatz</i> $\gamma = P_{\parallel 0}/P_{\perp 0}$ . . . . .	77
5.4	Conclusiones del capítulo . . . . .	80
<b>6</b>	<b>Relación masa-radio y perfiles de campo magnético para Estrellas de condensado de Bose-Einstein magnetizadas y automagnetizadas</b>	<b>81</b>
6.1	Relación masa-radio de Estrellas de condensado de Bose Einstein . . . . .	81
6.2	Estrellas de condensado de Bose-Einstein con campo magnético constante . . . . .	83
6.3	Estrellas de condensado de Bose-Einstein automagnetizadas y perfiles de campo magnético . . . . .	85
6.4	Conclusiones del capítulo . . . . .	87
	<b>Conclusiones</b>	<b>89</b>
	<b>Recomendaciones</b>	<b>93</b>
	<b>Apéndices</b>	<b>93</b>

A	Unidades y constantes físicas utilizadas	95
B	Cálculo de $I$ (Ec.(2.17))	97
C	Potencial termodinámico del vacío	99
D	Potencial termodinámico del gas de bosones escalares cargados en presencia de campo magnético	101
	Bibliografía	105



# Introducción

Con masas en el orden de la masa del Sol<sup>I</sup> confinadas en una pocas decenas de kilómetros, las Estrellas de Neutrones (ENs) son los únicos objetos conocidos en cuyo interior se alcanzan densidades mayores que la densidad nuclear  $\rho_{nuc} = 2,7 \times 10^{14} \text{g/cm}^3$  [1, 2]. Como a tan altas densidades y masas ni los efectos de las interacciones electromagnética, débil y fuerte, ni los de la relatividad general pueden ser despreciados, ellas han devenido laboratorios naturales para la comprobación de las leyes más básicas de la Física en unas condiciones que aún están lejos del alcance de la experimentación. Recientemente, las ENs han sido las protagonistas de una de las comprobaciones más espectaculares de la Teoría General de la Relatividad: la detección de manera directa, con los detectores gemelos del Observatorio de Ondas Gravitacionales de Interferometría Láser (LIGO) [3], de ondas gravitacionales provenientes de la fusión de dos de estas estrellas. De hecho, la detección de ondas gravitacionales ha generado una serie de posibilidades observacionales que se espera devengan en los próximos años en una nueva forma de explorar las ENs y el Universo [3]. Por otra parte, a partir de observatorios como el NICER<sup>II</sup>, construidos específicamente para recolectar información acerca de la composición de las ENs, se espera encontrar evidencias de la existencia en su interior de nuevas fases y tipos de materia [2]. Todo ello hace de las ENs unos de los escenarios astrofísicos más fascinantes, a cuyo estudio se dedican numerosos esfuerzos y recursos tanto teóricos como observacionales.

Las ENs pueden encontrarse en los remanentes de las supernovas, solas o en sistemas binarios, e incluso se conoce una que tiene planetas [1]. Ellas forman parte de los llamados Objetos Compactos (OCs), al igual que las Enanas Blancas (EBs) y los Agujeros Negros (ANs). Los OCs (considerando solo las EBs y las ENs) se diferencian de las estrellas típicas, tales como el Sol o las que podemos observar de noche a simple vista, en cuatro aspectos que son fundamentales para comprender la física que determina sus propiedades [1, 4, 5]:

- En general, las estrellas mantienen su forma aproximadamente esférica gracias al equilibrio que se establece entre la fuerza de gravedad, que empuja la materia hacia el centro de la estrella, y la presión que la materia ejerce hacia afuera. En las estrellas típicas, la gravedad es contrarrestada por la presión térmica que proviene de las reacciones termonucleares que tienen lugar en su

---

<sup>I</sup> La masa del Sol es igual a  $M_{\odot} = 1,989 \times 10^{30}$  kg, en tanto su radio es  $R_{\odot} = 6,959 \times 10^5$  km.

<sup>II</sup> El *Neutron star Interior Composition Explorer* (NICER) es un observatorio astronómico espacial lanzado por la NASA (National Aeronautics and Space Administration of the United States) en junio de 2017. <https://www.nasa.gov/nicer>.

interior. En un OC la gravedad es contrarrestada por presiones de origen cuántico [1, 4].

- Los OCs no son visibles a ojos desnudos. En el caso de las EBs ello se debe a su baja luminosidad, mientras que las ENs emiten mayormente en las regiones del espectro electromagnético correspondientes a los rayos X, los rayos gamma, y las radiofrecuencias [1, 4].
- Los OCs son mucho más pequeños que las estrellas normales y en consecuencia tienen campos gravitatorios superficiales mucho más fuertes. A modo de comparación, téngase en cuenta que si bien tanto las EBs como las ENs tienen masas del orden de la masa del Sol, el orden de los radios típicos para las EBs es de  $\sim 10^{-2}R_{\odot}$ , mientras que para ENs es de  $\sim 10^{-5}R_{\odot}$  [4].
- Los OCs son fríos. Esto puede sonar contradictorio, pues la temperatura de un OC justo después de su nacimiento está en el orden de los  $10^{11}$  K  $\sim 10$  MeV, y posteriormente disminuye hasta estabilizarse en el orden de los keV. Sin embargo, estas temperaturas son pequeñas si se comparan con el potencial químico de los bariones que forman la estrella:  $T \leq 10$  MeV  $\ll \mu$ , pues  $\mu \geq m_n \sim 939$  MeV, y  $m_n$  es la masa del neutrón. Por ello tomar  $T = 0$  cuando se modela un OC es, la mayoría de las veces, una buena aproximación [5].
- Con frecuencia los objetos compactos tienen campos magnéticos mucho más intensos que los de las estrellas típicas. El campo magnético superficial del Sol puede llegar hasta los  $10^3$  G [6]. En cambio, los campos magnéticos superficiales observados para EBs oscilan entre los  $10^6$ - $10^9$ G, en tanto que para ENs pueden alcanzar valores de hasta  $10^{15}$ G [7].

Compárense estos campos magnéticos además con el campo magnético de la Tierra,  $B \sim 0,6$  G, el de un imán común,  $B \sim 100$  G, o los más intensos campos magnéticos estacionarios obtenidos en los laboratorios terrestres,  $B \sim 10^5$  G [5].

La vida de los OCs comienza con la muerte de una estrella típica. A medida que la estrella envejece, el combustible nuclear en su interior disminuye y esta se enfría. Cuando el combustible nuclear se agota, la estrella colapsa -muere- ante la imposibilidad de contrarrestar el empuje de la gravedad. Durante el colapso, sus capas externas son expulsadas hacia afuera, mientras que el núcleo, compuesto por uno o varios elementos metálicos en estado sólido, se comprime hasta formar un objeto compacto [1, 4]. Que el resultado del colapso sea una EB, una EN o un AN dependerá de la masa de la estrella progenitora. Estrellas progenitoras con masas entre  $M_{\odot}$  y  $4M_{\odot}$  aproximadamente dan lugar a EBs, mientras que si la masa está entre  $10M_{\odot}$  y  $25M_{\odot}$  el resultado será una EN; estrellas con masas mayores se convierten, al morir, en agujeros negros [4].

La predicción teórica de la existencia de las ENs precedió en mas de treinta años a su descubrimiento observacional en 1967 [8]. Hacia los incios de la década del 30 del siglo pasado, ya las propiedades de las EBs habían sido exitosamente descritas en los trabajos de Fowler [9] y Chandrasekar [10], a partir de suponer que la estrella se sustenta por la presión del gas degenerado de electrones en su interior, o presión de Pauli. La clave para comprender cómo es posible que la presión de un gas degenerado balancee a la gravedad en un objeto tan masivo radica en las altas densidades que se alcanzan durante la contracción del núcleo estelar que da lugar a la EB.

A medida que el núcleo de la estrella progenitora se comprime la densidad electrónica aumenta, aumentando también la energía de Fermi del sistema y, en consecuencia, la energía cinética media de las partículas y la presión, hasta que esta última se hace lo suficientemente alta como para frenar la contracción. Uno de los resultados fundamentales de los trabajos arriba mencionados fue el establecimiento teórico de una masa máxima para las EBs, ya que la presión de Pauli ejercida por un gas de electrones solo puede sostener masas menores que  $\sim 1,4M_{\odot}$ <sup>III</sup>, un límite que es hoy conocido como masa de Chandrasekar.

En núcleos estelares colapsantes con masas mayores que la de Chandrasekar, como el gas de electrones no puede frenar la contracción, esta continúa y con ella el aumento de la densidad y la energía de Fermi de dichas partículas. La producción del neutrón en los laboratorios en 1932 [11], hizo comprender a varios científicos que, sin nada que se oponga a la contracción del núcleo estelar, eventualmente los electrones ganan energía suficiente como para que se produzca el decaimiento beta inverso,  $e^{-} + p \rightarrow n + \nu_e$ , dando lugar a una neutronización de la materia que colapsa [12, 13]. La densidad necesaria para que la neutronización empiece es de aproximadamente  $1,4 \times 10^9 \text{g/cm}^3$ . En este punto, debido a que los electrones comienzan a combinarse con los protones de los núcleos atómicos que conforman el núcleo de la estrella, la presión disminuye y la contracción del núcleo estelar continúa. Cuando la densidad en el interior alcanza los  $4 \times 10^{11} \text{g/cm}^3$ , los núcleos atómicos comienzan a desintegrarse a través de un proceso conocido como goteo de neutrones; pasados los  $10^{14} \text{g/cm}^3$  los núcleos atómicos desaparecen y la materia que colapsa es en sí misma como un gran núcleo formado mayormente por neutrones. A medida que la contracción continúa, la presión del gas degenerado de neutrones aumenta hasta hacerse comparable a la gravedad y el colapso se detiene: se ha formado la EN.

Los primeros cálculos de la estructura, masas y radios, de una estrella compuesta totalmente por un gas degenerado de neutrones se deben a Oppenheimer, Volkoff y Tolman [14, 15]. No obstante, si bien originalmente la denominación Estrellas de Neutrones hacía referencia a un objeto estricta, o al menos mayoritariamente formado por neutrones degenerados, su composición actual dista bastante de la idea primigenia. De un lado el equilibrio  $\beta$  exige la presencia en las ENs de cierta fracción de electrones y protones. De otro, y siguiendo el mismo argumento utilizado al introducir la neutronización, las altas densidades de las ENs hacen que, al menos en teoría, sea posible la existencia en ellas de toda una serie de otras partículas como muones, mesones  $\pi$  y  $\rho$  o hiperones, además de la aparición de fases más o menos exóticas, como el superfluido de nucleones o el plasma de quarks deconfinados [1, 2, 16]. En relación con esto, diversos modelos exóticos, como las Estrellas de Quarks (EQs) [17], las Estrellas de Hiperones o las Estrellas de condensado de Bose-Einstein (EBE) [18–20] han sido desarrollados como alternativas para la descripción de las partes más densas de las ENs.

Una Estrella de condensado de Bose-Einstein es un objeto compacto formado completamente por bosones que interactúan entre sí [18–20]. Este tipo de modelo se basa a su vez en otros que consideran el interior de la EN compuesto por un superfluido de nucleones [16, 21–24], de forma tal que los bosones que constituyen una EBE son el resultado del apareamiento de dos neutrones [18]. Ya que

---

<sup>III</sup>El valor exacto del límite de Chandrasekar depende de la composición de la EB. Por lo general, estas estrellas se suponen compuestas de carbono y oxígeno, pero otros elementos más pesados como el hierro podrían estar presentes [1].

en el escenario más simple posible, el interior de una EN consiste, como mínimo, en una mezcla de neutrones, protones, electrones (gas *npe*), y nucleones apareados [18, 20], las Estrellas de condensado de Bose-Einstein son un caso límite en el cual el gas de neutrones estaría totalmente bosonizado [18]. En ellas la fracción de electrones y protones es despreciable debido a que la bosonización de los neutrones inhibe el decaimiento  $\beta$  [16, 23].

Aunque los bosones resultantes del apareamiento de dos neutrones son eléctricamente neutros, cuando la densidad es lo suficientemente alta, los neutrones se aparean con los spines paralelos dando lugar a una partícula de spin uno [22, 23]. Estos bosones vectoriales compuestos reaccionarán necesariamente a la presencia de los intensos campos magnéticos que existen en el interior de las ENs, al igual que el resto de las partículas allí presentes [2].

La presencia del campo magnético en un OC plantea, por lo general, tres problemáticas:

- La ecuaciones de estado de los gases cuánticos magnetizados son anisotrópicas.

Los gases cuánticos sometidos a un campo magnético sufren un desdoblamiento de la presión en las direcciones paralela y perpendicular al eje magnético [25]. En particular, si se trata de los gases que constituyen un OC, la anisotropía en las presiones se reflejará en su forma, que ya no será esférica como sucede en el caso no magnetizado. La descripción en el marco de la Teoría General de la Relatividad del equilibrio hidrodinámico de un OC con simetría axial, como es el caso de una estrella deformada por la presencia del campo magnético, es un problema que aún no ha sido resuelto totalmente (véase por ejemplo [26–28]).

- Bajo ciertas condiciones, los gases cuánticos magnetizados pueden sufrir un colapso magnético.

En dependencia del campo magnético, la temperatura y la densidad de partículas, la menor de las presiones del gas puede hacerse negativa dando lugar a la inestabilidad conocida como colapso magnético [29–32]. Aunque desde el punto de vista de la estabilidad gravitacional de un OC el colapso magnético constituye un problema, este fenómeno podría ser crucial para la explicación de la expulsión de materia hacia el exterior de la estrella y de la formación de los llamados *jets* astrofísicos: chorros de materia fría y densa que luego de ser expulsados de la estrella permanecen colimados mientras se alejan de ella [33, 34].

- El origen de los intensos campos magnéticos estelares es uno de los grandes misterios de la astrofísica.

A pesar de que varios mecanismos han sido propuestos, hasta el momento ninguno alcanza a explicar de manera satisfactoria la generación del campo magnético en entornos astrofísicos [6, 35]. En este sentido, la presencia de bosones de spin uno en el OC sería conveniente, pues es conocido que los gases vectoriales pueden automagnetizarse, o sea, generar su propio campo magnético, que en dependencia de la densidad del gas alcanza valores en el orden de los estimados para los OCs [32, 36–39]. Este fenómeno pudiera estar conectado con la generación de los altos campos magnéticos de las ENs.

De acuerdo con todo lo anterior, y teniendo en cuenta que la construcción de modelos teóricos consistentes es esencial para la interpretación de las observaciones astrofísicas, el objetivo principal

de esta tesis es **estudiar las propiedades termodinámicas de un gas ideal magnetizado de bosones vectoriales neutros y aplicarlas al estudio de los efectos del campo magnético en la materia que forma las ENs, considerando como casos particulares los *jets* astrofísicos y las Estrellas de condensado de Bose-Einstein.**

En particular, investigaremos los efectos del campo magnético en la estabilidad de un gas *npe* parcialmente bosonizado, así como en las ecuaciones de estado (EdE) y en la estructura de las Estrellas de condensado de Bose-Einstein, tomadas estas como una descripción alternativa de las regiones más internas de las ENs. Al mismo tiempo, se pretende explorar la posibilidad de que la automagnetización de los bosones sea una de las causas de los altos campos magnéticos presentes en estos objetos. Para ello nos planteamos los siguientes objetivos específicos:

- Estudiar las propiedades termodinámicas de un gas de bosones vectoriales neutros en presencia de un campo magnético.
- Obtener las EdE de un gas *npe* parcialmente bosonizado y estudiar los efectos del campo magnético en ellas, en particular en lo que concierne a su estabilidad, a fin de evaluar si el colapso magnético y la automagnetización consituyen mecanismos válidos para la generación y mantenimiento de los *jets* astrofísicos.
- Construir las ecuaciones de estado de una Estrella de condensado de Bose-Einstein magnetizada y estudiar los efectos del campo magnético en ellas.
- Obtener un sistema de ecuaciones de estructura anisotrópicas que permita la descripción de objetos compactos magnetizados.
- Estudiar los efectos del campo magnético en la masa y la forma de las Estrellas de condensado de Bose-Einstein a partir de la relación masa-radio obtenida con el uso de las ecuaciones de estructura derivadas en el punto anterior.
- A partir de suponer que el campo magnético en la EBE es generado por los bosones que la componen, obtener los perfiles del campo magnético como función del radio interno de la estrella y compararlos con los valores observacionales para el campo magnético en la superficie.

La tesis está organizada de la forma siguiente: El primer capítulo es introductorio y se dedica al estudio de algunas cuestiones acerca de la estructura interna, la descripción teórica y los campos magnéticos de las ENs. En el Capítulo 2 se investigan las propiedades termodinámicas del gas de bosones vectoriales neutros en presencia de un campo magnético. En el Capítulo 3 se propone un mecanismo para la formación y mantenimiento de los *jets* astrofísicos a partir del estudio termodinámico del gas *npe* parcialmente bosonizado en presencia de campo magnético. El Capítulo 4, por su parte, está dedicado a la obtención de las EdE de una EBE magnetizada. Para describir la estructura de estas estrellas, en el Capítulo 5 se estudia el equilibrio hidrodinámico de objetos esferoidales a partir de combinar las ecuaciones de Einstein con una métrica axisimétrica. Las ecuaciones de estructura allí obtenidas se aplican en el Capítulo 6 al cálculo de las curvas masa-radio de las EBE magnetizadas. En

este capítulo y debido a su importancia, se dedica una sección al estudio por separado de las Estrellas de condensado de Bose-Einstein automagnetizadas así como a los perfiles de campo magnético interno que se obtienen durante la integración de las ecuaciones de estructura.

Al final de la tesis, las conclusiones y recomendaciones presentan un resumen de los principales resultados así como de los caminos por los cuales creemos debe continuarse la investigación. Se adjuntan además cuatro apéndices. El primero contiene las constantes y unidades físicas utilizadas. Los otros tres recogen detalles de los cálculos que han sido eliminados del texto principal a fin de no recargarlo y facilitar su lectura.

En todos los cálculos teóricos y numéricos de la tesis se ha utilizado el sistema de unidades naturales (UN),  $\hbar = c = k_B = 1$ . Todas las ecuaciones están escritas en este sistema de unidades y todas magnitudes que se encuentran en ellas están expresadas en potencias de MeV (ver Apéndice A), excepto la Ec. (1.1) por motivos prácticos, y la Ec. (1.2) por motivos históricos. En los gráficos y tablas, a fin de hacer nuestros resultados fácilmente comparables con los reportados en la literatura especializada, las magnitudes físicas fueron reportadas en las unidades más usuales en cada caso. El campo magnético y las magnetizaciones se muestran en Gauss (G), las densidades de partículas están dadas en  $\text{cm}^{-3}$  y las de masa en  $\text{g}/\text{cm}^3$ , las densidades de presión y energía en  $\text{MeV}/\text{fm}^3$ , las temperaturas en Kelvin (K) y las masas de las micropartículas en MeV. Las masas de los objetos astronómicos tratados se expresan en términos de la masa del sol  $M_\odot$  y sus radios en km.

# Capítulo 1

## Estrellas de neutrones: fenomenología y descripción teórica

Este capítulo tiene carácter introductorio. En él se presenta un conjunto de aspectos relacionados con la fenomenología y la modelación de las Estrellas de Neutrones y los *jets* astrofísicos, todos ellos necesarios para la comprensión de la tesis así como de sus motivaciones.

### 1.1 El interior de una Estrella de Neutrones

Una Estrella de Neutrones es el Objeto Compacto resultante de la muerte de una estrella para la cual la masa del núcleo colapsante supera la masa de Chandrasekar, pero sin llegar a ser tan masivo como para conducir a la formación de un agujero negro [1, 4]. Sus características generales en lo que respecta a masa ( $M$ ), radio ( $R$ ), densidad de masa ( $\rho$ ), temperatura ( $T$ ) y campo magnético superficial ( $B_s$ ) e interno ( $B_i$ ) han sido resumidas en la Tabla 1.1.

$M(M_\odot)$	$R(\text{km})$	$\rho(\text{g/cm}^3)$	$T(\text{K})$	$B_s(\text{G})$	$B_i(\text{G})$
$\sim 1,5$	$\sim 10$	$\sim 10^7\text{-}10^{15}$	$\sim 10^5\text{-}10^{11}$	$10^9\text{-}10^{15}$	$\lesssim 10^{18}$

Tabla 1.1: Valores típicos de la masa, el radio, la densidad, la temperatura y el campo magnético de las Estrellas de Neutrones [1, 2, 7, 16, 23].

Si comenzando desde la capa más externa de una EN, nos movemos hacia su centro, transitaremos sucesivamente por las siguientes regiones [1, 16] (ver Fig. 1.1):

- La atmósfera de unos centímetros de espesor.
- La envoltura, que es una capa sólida formada por una red cristalina de hierro de alrededor de unos cientos de metros.

- La corteza, con un grosor de alrededor de 1km y que de acuerdo a su densidad se divide en exterior e interior.

En la corteza exterior se alcanzan densidades de hasta  $4 \times 10^{11} \text{g/cm}^3$  y está formada por una red de núcleos embebidos en un mar de Fermi de electrones. En la corteza interior, el mar de Fermi en que se encuentran los núcleos contiene tanto electrones como neutrones y las densidades pueden llegar hasta alrededor de  $1,2 \times 10^{14} \text{g/cm}^3$ .

- El núcleo, que ocupa el 90 % del volumen de la EN y contiene la mayoría de su masa.

Para densidades aproximadamente entre  $1,2 \times 10^{14} \text{g/cm}^3$  y  $7,5 \times 10^{14} \text{g/cm}^3$  el núcleo se supone compuesto principalmente de una mezcla de neutrones con una pequeña proporción de protones y electrones -la justa para mantener el equilibrio  $\beta^-$ , y muones, todos degenerados. Para densidades mayores que  $7,5 \times 10^{14} \text{g/cm}^3$ , se ha conjeturado que gran variedad de materia exótica como fermiones apareados, mesones, hyperones, o quarks u, d y s deconfinados pudieran estar presentes en su interior, con una probabilidad que aumenta a medida que nos aproximamos al centro de la estrella.

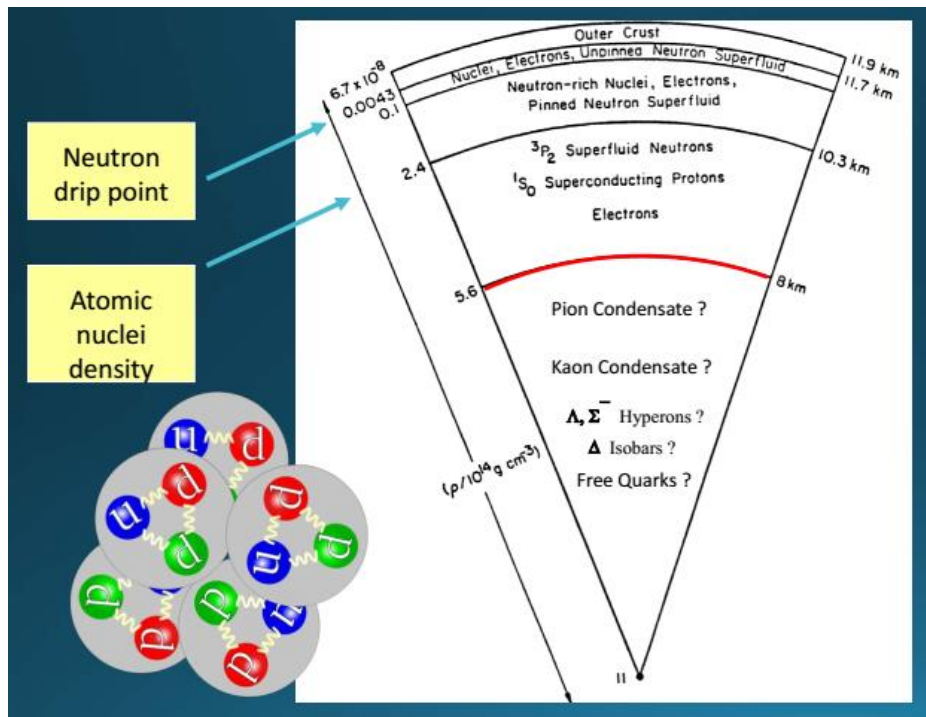


Figura 1.1: Representación diagramática aproximada del interior de una Estrella de Neutrones. Cortesía del Prof. W. Becker.

La materia que forma la corteza exterior de la EN, es decir, los núcleos cristalinos embebidos en un mar de Fermi de electrones, es similar a la que compone a las Enanas Blancas y puede describirse

como ellas [1]. Por eso, la mayoría de los esfuerzos teóricos en lo que concierne a las ENs se dedican a la descripción de la materia que forma su corteza interior y, más frecuentemente, su núcleo, ya que este contiene la mayor parte de la masa de la estrella. De manera que, cuando en la literatura especializada se habla de uno u otro modelo de ENs, a lo que se hace referencia es a distintas combinaciones de partículas, interacciones y fases que podrían coexistir en los núcleos de estos objetos, de unos 10 km de radio.

Toda descripción teórica de las ENs parte de un gas de neutrones con una pequeña fracción de protones y electrones, el gas *npe* [1, 5]. A partir de este gas, diversos modelos para la composición interna de la estrella se construyen añadiendo interacciones o nuevas partículas, dando lugar cada combinación a EdE distintas [1]. Otros modelos para el interior de las ENs se obtienen, en cambio, de suponer que sus condiciones internas son tales que favorecen la aparición de nuevas fases de la materia. Tal es el caso de las Estrellas de Quarks o Estrellas Extrañas, compuestas por quarks *u*, *d* y *s* deconfinados y que pueden contener fases superconductoras de color [5, 40], y de las Estrellas de condensado de Bose-Einstein formadas por un condensado de neutrones apareados [18]. Igualmente, existen modelos llamados de Estrellas Híbridas, en los que al núcleo de la EN se le supone una estructura a capas. Por ejemplo, el núcleo podría estar compuesto a su vez por un núcleo de quarks deconfinados envuelto en una corteza de materia nuclear [5, 41], pero podría también contener capas intermedias con mezcla de las dos fases [40].

Para saber si un modelo de ENs es o no gravitacionalmente estable, lo usual es combinar sus ecuaciones de estado con las llamadas ecuaciones de estructura. Las EdE están relacionadas con la física microscópica de la estrella y contienen toda la información de la materia y los campos que la componen, así como de las interacciones entre ellos. Las ecuaciones de estructura, en cambio, están relacionadas con la física macroscópica del objeto compacto. Ellas son consecuencia de las ecuaciones de Einstein y expresan el equilibrio hidrodinámico que se establece en el interior de la estrella entre la fuerza de gravedad y la presión que ejerce la materia [1, 4]. La relación entre las EdE y las ecuaciones de estructura viene dada a través de la presión y densidad de energía de la materia que compone la estrella.

Los modelos de ENs que hasta el momento se consideran más realistas están basados en la física nuclear experimental y en cálculos relativamente precisos de muchos cuerpos para modelos de materia nuclear densa [1, 2, 42]. No obstante, todos ellos están limitados por la imposibilidad actual de alcanzar densidades superiores a la densidad nuclear en el laboratorio [2]. Esto significa que la descripción de la materia y sus interacciones en regímenes en los cuales  $\rho > \rho_{nuc}$  se hace siempre de manera aproximada, a partir de extrapolar los comportamientos conocidos para densidades menores [5]. Estas limitaciones reafirman la importancia de las observaciones y los modelos astrofísicos, pues ambos son necesarios para una mejor comprensión de la física de la materia superdensa.

A pesar de la larga lista de procesos de generación de especies y de transiciones de fase que se ha conjeturado pueden darse en el interior de una ENs (ver por ejemplo [16, 41]), hasta el momento resulta casi imposible saber cuáles llegan a producirse y cuáles no [2]. Ello se debe, de un lado a las limitaciones observacionales, y del otro al hecho de que la mayoría de las EdE propuestas cumplen con las de restricciones teóricas generales que pueden imponerse sobre las masas y radios de los OCs

a fin de acotar sus valores posibles. Dichas restricciones son [2, 5, 43]:

- Requerimiento de estabilidad gravitacional: Para que un OC sea estable su radio  $R$  debe ser mayor que el radio de Schwarzschild  $R_s = 2GM$ , donde  $G = 6,711 \times 10^{-45} \text{ MeV}^{-2}$  es la constante de gravitación y  $M$  la masa de la estrella. Para  $R < R_s$  la estrella colapsa formando un AN [5].
- Requerimiento de presión finita: Para que la presión permanezca finita, y suponiendo que la estrella es un objeto esférico, las Ecuaciones de Einstein requieren que  $R > 9/4GM$  [43].
- Requerimiento de causalidad: Exigencia a las EdE de que la velocidad del sonido en la estrella no supere a la velocidad de la luz, lo cual implica que  $R > 2,9GM$  [2].
- Requerimiento de estabilidad rotacional: Para que un OC sea rotacionalmente estable es necesario que

$$R < 10,4 \left( \frac{100\text{Hz}}{\nu} \right)^{3/2} \left( \frac{M}{M_\odot} \right)^{1/2} \text{ km}, \quad (1.1)$$

donde  $\nu$  es la frecuencia de rotación de la estrella [2].

Además de las restricciones teóricas ya mencionadas, las observaciones astronómicas aportan constantemente nuevas cotas para las masas y los radios de las ENs. En estos momentos, las mediciones más robustas y confiables han resultado en valores observacionales para las masas de las ENs por encima de las  $2M_\odot$ . En ese grupo se encuentran las masas de los púlsares<sup>I</sup> PSR J1614-2230 y J03487+0432 [42], y las estimadas para las ENs cuya fusión dio lugar a la observación de la onda gravitacional GW170817. Para la EN PSR J1614-2230, usando el llamado *Shapiro delay*, se obtiene una masa máxima posible de  $(1,928 \pm 0,0017)M_\odot$  [44], mientras que para el púlsar J03487+0432 las mediciones arrojan una masa de  $(2,01 \pm 0,04)M_\odot$  [45]. Por otro lado, a las ENs que dieron lugar a la onda gravitacional GW17082017 se les asocia una masa máxima de  $\sim 2,26M_\odot$ , mientras que la masa de la EN resultante de la fusión se estima en alrededor de  $\sim 2,67M_\odot$  [3, 46, 47]. Estas observaciones han hecho que dentro de la comunidad astrofísica haya una efervescencia en la búsqueda de modelos de ENs cuyas EdE produzcan estrellas con masas máximas  $M \geq 2M_\odot$  [42]. No obstante, las EdE que producen estrellas de masas menores siguen siendo importantes para la descripción de algunas de las capas internas de la estrella (como en una Estrella Híbrida) o para explicar observaciones que no respondan a las características de las ENs canónicas.

Por otro lado, si bien las masas han sido medidas con bastante exactitud, los radios continúan resistiéndose a mediciones robustas. Se espera que la información que aporte el NICER sobre ellos ayude a complementar las cotas actuales sobre las EdE.

Aunque la plausibilidad de las EdE propuestas para las ENs puede evaluarse en función de las restricciones teóricas y observacionales mencionadas arriba, así como de de argumentos provenientes de la física de altas energías experimental [42], dada la similitud de las curvas masa-radio generadas por diversos modelos es todavía extremadamente difícil establecer cuáles son los mejores [41]. Nótese

---

<sup>I</sup>Un púlsar (**pulsating star**) es una EN en rotación y altamente magnetizada que emite radiación electromagnética de forma periódica.

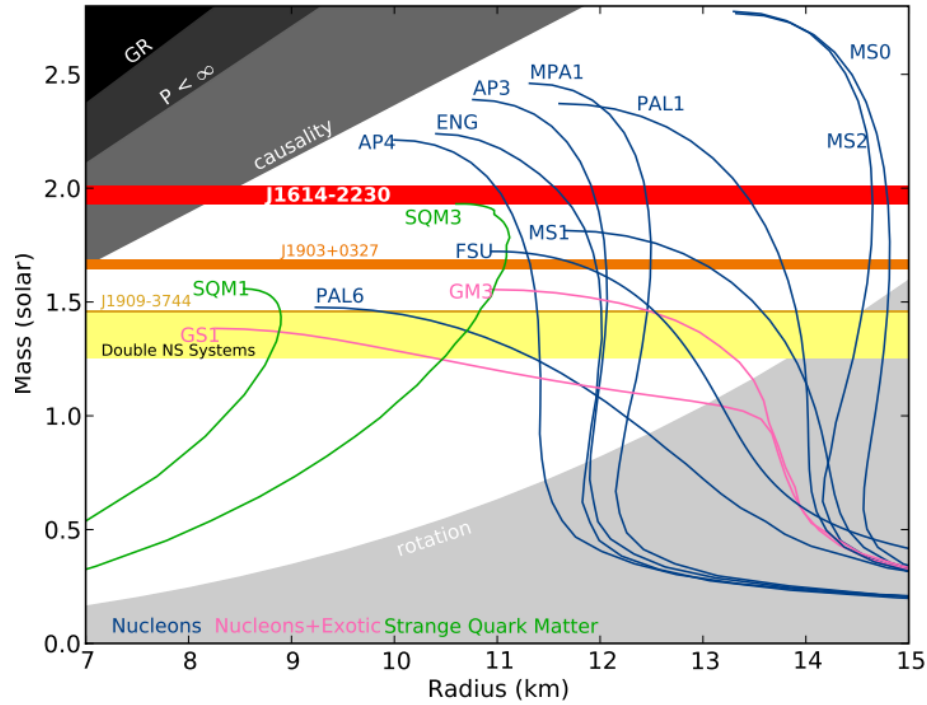


Figura 1.2: Diagrama masa-radio de las Estrellas de Neutrones [44] para varias EdE típicas (véase la Ref. 25 de [44]). En él se muestran además las zonas prohibidas por las restricciones teóricas mencionadas en el texto: Requerimiento de estabilidad gravitacional (GR); Requerimiento de presión finita ( $P < \infty$ ); Requerimiento de causalidad (causality); Requerimiento de estabilidad rotacional (rotation). La curva que determina la estabilidad rotacional está dibujada teniendo en cuenta la frecuencia de rotación,  $\nu = 716$  Hz, del púlsar PSR J1748-2446ad que es el más rápido de los conocidos [2]. Las bandas horizontales muestran las restricciones observacionales derivadas de la medición de las masas de los púlsares J1615-2230, J1903+0327 y J1909-3744.

en la Fig. 1.2 que las curvas masa-radio de las doce EdE representadas poseen al menos una parte en la región no restringida (la región blanca). En esta misma figura puede verse cómo la mayoría de las curvas masa-radio intersecta las bandas horizontales definidas por las masas medidas a los púlsares J1615-2230, J1903+0327 y J1909-3744. En consecuencia, la composición interna de esas estrellas podría, en principio, estar descrita por cualquiera de las EdE que pasan por sus franjas de masa. Esto significa que, por el momento, es imposible discriminar unas de otras a partir de argumentos teóricos ni tampoco a través de las cotas observacionales.

## 1.2 Estrellas de Neutrones con interior superfluido: Estrellas de bosones

Una de las teorías más interesantes acerca del interior de las ENs considera que cuando la estrella está lo suficientemente fría, los nucleones en la corteza y el núcleo sufren una transición hacia una

fase superfluida en el caso de los neutrones, o superconductor en el caso de los protones [22, 48]. Si bien el surgimiento de esta idea data de más de cincuenta años atrás, siendo incluso previo al descubrimiento de la primera estrella de neutrones [21, 49], hasta el momento el argumento observacional más fuerte que tiene a su favor proviene del ajuste de la curva de enfriamiento de la EN en el centro de Casiopea A. Este fue hecho en el año 2011 de manera independiente por dos grupos de investigación, [16, 23] y [24]. Para la obtención teórica de la curva de enfriamiento, ambos grupos partieron de suponer que en el interior de la EN los nucleones se encontraban apareados formando un superfluido, y obtuvieron excelentes resultados al comparar sus curvas teóricas con la curva de enfriamiento observacional. Aunque la suposición de un interior superfluido no es la única explicación posible para esta curva de enfriamiento<sup>II</sup> [50], ella de conjunto con los avances hechos en la primera década de este siglo en el enfriamiento de sistemas atómicos, ha dado lugar al resurgimiento de otra idea que también data de más de cincuenta años, la de la existencia de estrellas formadas total o mayoritariamente por gases de bosones (fermiones apareados en este caso) [18–20].

La formación de pares es un fenómeno genérico de los fermiones con interacciones atractivas entre ellos [1, 5, 21, 51–60] y que se manifiesta, por ejemplo, para los electrones de un superconductor [61, 62], los nucleones en los núcleos atómicos [21, 63], para átomos con spin semientero como el  $^3\text{He}$  [5] y para quarks de colores diferentes [5]. A partir de una serie de experimentos llevados a cabo alrededor del año 2000 en el enfriamiento de sistemas atómicos, ha sido posible probar experimentalmente que la superfluidez/superconductividad y la condensación de Bose-Einstein (CBE) no son más que los estados extremos de este fenómeno (Fig. 1.3) [51, 53, 58, 64–66].

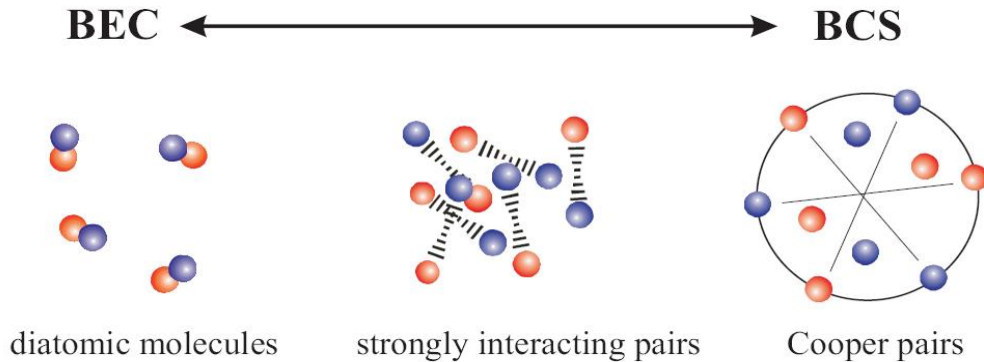


Figura 1.3: Representación diagramática del apareamiento de fermiones y sus estados límite: la condensación de Bose o CBE, y la superfluidez/superconductividad o límite BCS. [67]

Para comprender la naturaleza física del apareamiento de fermiones consideremos un gas ideal de estas partículas en un volumen finito. Debido al Principio de exclusión de Pauli, al añadir partículas a este sistema cada nuevo fermión debe ponerse en un nivel energético superior. A temperatura cero, o muy baja, este proceso implica que todos los niveles por debajo de la energía de Fermi están llenos,

<sup>II</sup>Para la correcta discriminación entre ambos modelos será necesaria al menos una década más de observación [50].

ya que para un gas ideal de fermiones este es el estado de menor energía posible. Sin embargo, si entre los fermiones hay una interacción atractiva -como la mediada por la red entre los electrones de un superconductor-, existe un estado menos energético: aquel en el cual los fermiones están apareados y por tanto tienen un comportamiento bosónico, o sea, dejan de cumplir el Principio de exclusión de Pauli y pueden condensarse.

En el límite de superconductividad/superfluidez, o límite BCS, los fermiones se aparean formando pares de Cooper que están débilmente ligados y cuyo tamaño es del orden de la distancia entre partículas. Por el contrario, en el límite CBE los fermiones están fuertemente ligados formando partículas que se comportan como bosones de manera efectiva. La temperatura crítica para el apareamiento coincide con la temperatura crítica para la aparición de la superfluidez/superconductividad en el límite BCS, pero es superior a la temperatura de condensación en el límite CBE. Esto significa que el gas de fermiones puede estar bosonizado aunque no condensado.

En las ENs, y a partir de los conocimientos que se han podido extraer de los experimentos, se supone que los neutrones de la corteza se aparean en un estado no magnético con los spines antiparalelos, mientras que en el núcleo se aparean con los spines paralelos dando lugar a un bosón/par de Cooper magnético [5, 22, 23, 54, 56, 68, 69]. Los protones de la corteza no están apareados, mientras que los del núcleo se aparean con los spines antiparalelos [5, 22, 23]. Las temperaturas críticas de los distintos procesos de apareamiento que tienen lugar en el interior de una EN se estiman el orden de los  $10^8 - 10^{10}$ K [23, 24, 69]; estas temperaturas se alcanzan en el interior de la estrella algunos cientos de años después de su nacimiento. Como la transición a la fase apareada es de segundo orden, a menos que la temperatura de la estrella sea mucho menor que la temperatura de transición, caso en el cual los nucleones estarían totalmente bosonizados, los procesos de formación y separación térmica de los pares estarán balanceados, y una mezcla de nucleones libres y apareados coexistirá en su interior [23].

Por lo tanto, una estrella de neutrones puede pensarse como compuesta por una mezcla de electrones, neutrones, protones, neutrones apareados y protones apareados (gas *npe* parcialmente bosonizado) [18, 20]. La fracción de nucleones apareados depende, en principio, de la densidad, la temperatura y la fortaleza de la interacción entre los fermiones. No obstante, la forma explícita de esta dependencia es difícil de predecir debido a las condiciones tan distintas que tienen los escenarios astrofísicos con respecto a aquellas en las cuales se llevan a cabo los experimentos. Por otra parte, al estar las ENs, como todo objeto del Universo, en constante evolución y, más específicamente, en constante enfriamiento, a priori no puede descartarse que en algún momento de su evolución estelar ellas estén compuestas mayormente por neutrones bosonizados [18].

### 1.3 Modelación de estrellas de bosones: Estrellas de condensado de Bose-Einstein

Aunque los OCs han sido extensamente estudiados considerando que la gravedad es balanceada por la presión de un gas degenerado de fermiones, la existencia de sistemas autogravitantes formados por gases fríos de bosones ha sido explorada desde la década de los 60s del siglo pasado [70, 71].

En una estrella de fermiones, el empuje de la gravedad es contrarrestado en última instancia por

la presión del gas degenerado o presión de Pauli. Dadas las altas densidades que existen en el interior del los OCs, incluso en el caso de que el gas de fermiones se suponga ideal y a temperatura cero, la presión de Pauli es lo suficientemente alta para balancear la gravedad.

Por el contrario, un gas ideal de bosones a temperatura cero no ejerce presión porque todas las partículas están en el condensado de Bose-Einstein [70, 72]. Pero aún en este caso el colapso gravitacional puede evitarse gracias a la llamada presión de Heisenberg, es decir, al hecho de que un gas bosónico condensado no puede ser comprimido infinitamente porque, debido al Principio de Incertidumbre:

$$\Delta p \Delta x \approx \hbar, \quad (1.2)$$

a medida que la incertidumbre en el volumen decrece, la del momentum aumenta, aumentando con ella la presión. Como a temperatura cero la presión del gas de bosones es nula, el esquema de combinar las EdE con ecuaciones de estructura no puede ser usado para encontrar las masas y radios de las configuraciones estables de estrellas bosónicas. No obstante, describir la estructura de dichos objetos es posible a partir de resolver directamente las ecuaciones de Einstein para los coeficientes métricos utilizando como fuente de materia el promedio mecanocuántico (y no el estadístico como se hace en el caso de las estrellas de fermiones) del tensor energía-momento de los bosones en el estado básico [70].

La masa máxima de las estrellas de bosones así construidas puede estimarse si se compara la energía cinética media del gas de bosones con su energía gravitacional [73]. Dicho cálculo arroja que  $M_{max} \sim m_p/m$ , donde  $m$  es la masa del bosón y  $m_p = 2,1 \times 10^{-8} \text{kg} = 1,22 \times 10^{22} \text{MeV}$  es la masa de Planck. Para estrellas de bosones formadas por partículas con masa en el orden de la masa del neutrón, la masa de la estrella es de alrededor de  $10^{-20} M_{\odot}$ , un resultado descorazonador cuando lo que se quiere es describir un objeto compacto, a pesar de que la masa de estas estrellas puede aumentarse añadiendo a los modelos interacciones repulsivas entre las partículas [74].

De hecho, no fue hasta después de la obtención experimental del condensado para gases de Bose no ideales [75] (enfriamiento en trampas magnéticas de átomos de rubidio), y del éxito en el ajuste de la curva de enfriamiento de Cassiopea A, que la presión resultante de la interacción repulsiva vino a jugar el papel principal en la construcción de modelos de estrellas de bosones [18, 19]. En estos modelos relativamente recientes, conocidos en la literatura como Estrellas de condensado de Bose-Einstein, la gravedad es balanceada por la presión que resulta de las fuerzas repulsivas, y el esquema de combinar EdE con ecuaciones de estructura es retomado para la búsqueda de las configuraciones estelares estables.

Tanto en [18] como en [19], las Estrellas de condensado de Bose-Einstein se proponen como una alternativa para la descripción del núcleo de una EN en la cual los bosones son formados por el apareamiento de dos neutrones. Los parámetros que definen el tamaño y la masa de la estrella resultante son la masa de los bosones y la fortaleza de la repulsión entre ellos. Y precisamente parte del éxito de estos modelos se debe a que, a pesar de ser relativamente sencillos -solo incluye un tipo de partículas y dos parámetros-, es posible, a través de una selección apropiada de la masa y la fortaleza de la interacción, lograr con él estrellas con masas del orden de dos masas solares [18].

Sin embargo, hasta donde conocemos, ningún modelo de Estrellas de condensado de Bose-Einstein

ha considerado la influencia del campo magnético en sus EdE o su estructura, a pesar de que en el núcleo de una EN los neutrones se aparean con spin paralelo, dando lugar a un bosón vectorial, y de que los campos magnéticos de dichas estrellas suelen ser muy intensos. Por ello, la modelación de EBE magnetizadas fue abordada en la tesis. Los resultados obtenidos se muestran en los Capítulos 4 y 6.

## 1.4 Campo magnético en el interior de las estrellas de neutrones

Como ya fue mencionado anteriormente, la mayoría de las estrellas de neutrones conocidas tienen campos magnéticos. Los valores del campo magnético superficial de las ENs estimados a partir de las observaciones astronómicas, Fig. 1.4, se encuentran entre los  $10^9 - 10^{13}$  G para los púlsares, y en el orden de los  $10^{15}$  G para las magnetars<sup>III</sup> [7].

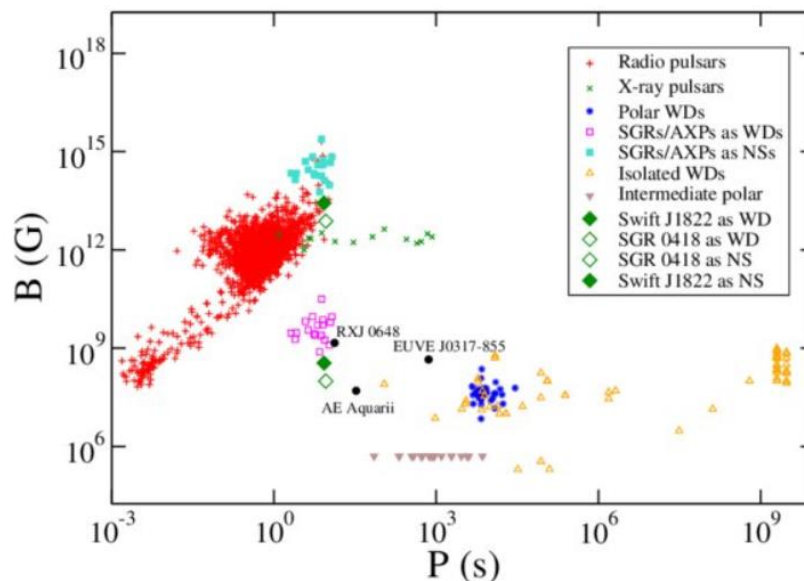


Figura 1.4: Campo magnético superficial de EBs y ENs como función del período de rotación [7].

Para el campo magnético interno puede establecerse una cota máxima a partir de comparar la energía magnética de la estrella con su energía gravitacional  $(4\pi R^3/3)(B_{\max}^2/8\pi) \sim GM^2/R$  [2]. De esta forma un estimado del campo magnético máximo que puede sostener un OC se obtiene como función de la masa y el radio de la estrella:

<sup>III</sup>Una magnetar (**magnetic star**) es una EN cuyo campo magnético es extremadamente fuerte.

$$B_{\max} \sim 2 \times 10^8 \left( \frac{M}{M_{\odot}} \right) \left( \frac{R}{R_{\odot}} \right)^{-2} \text{ G.}$$

Para una EN con una masa de  $M = 1,44M_{\odot}$  y el radio en el orden de los kilómetros  $R = 10^{-4}R_{\odot}$  el campo magnético máximo así obtenido es de alrededor de  $B_{\max} \sim 10^{18}$  G.

El origen de los campos magnéticos presentes en los entornos astrofísicos aún no ha podido ser completamente dilucidado. Este es, no obstante, un problema de gran importancia, ya que los campos magnéticos son ubicuos en el Universo y han demostrado ser claves en la explicación de numerosos fenómenos [6, 35].

En el caso de las ENs, campos magnéticos en el orden de hasta  $10^{12}$  G pueden ser explicados por la conservación del flujo magnético de la estrella progenitora durante el colapso que da lugar al OC [4, 76, 77]. Dado que durante la compresión el radio de la estrella progenitora puede disminuir hasta en cinco órdenes, campos magnéticos en el orden de los 100 G se verían, en el objeto compacto resultante, amplificados hasta los  $10^{12}$  G. Con este efecto pueden explicarse, por ejemplo, el campo magnético observado para algunos radio-púlsares, como el púlsar del Cangrejo, y los púlsares de rayos X [4]. Sin embargo la explicación de campos magnéticos superficiales en el orden de  $10^{15}$  G, como los presentes en las magnetars, precisan de modelos más elaborados que aún están en discusión [77, 78].

Una de las explicaciones más aceptadas para los campos magnéticos más intensos observados en ENs se basa en el efecto dinamo [77, 79]. Este efecto consiste en la generación de un campo magnético en un fluido conductor eléctricamente neutro a partir de corrientes que circulan en él. En el caso específico de un OC las corrientes eléctricas circularían debido a las inhomogeneidades de la temperatura y al campo magnético en su interior [6]. No obstante, este efecto es incapaz de explicar todas las observaciones por lo que el problema continúa abierto [35, 77, 79].

Por la importancia que tiene el campo magnético en las propiedades microscópicas de la materia así como en los observables macroscópicos, sus efectos han sido considerados en numerosos estudios de OCs sin tener en cuenta cómo se origina. En nuestro trabajo, para la modelación de los OCs magnetizados consideraremos dos situaciones. En la primera, el campo magnético se supondrá constante en el interior del objeto y nos referiremos a él como un campo externo en el sentido de que su intensidad no depende explícitamente de las EdE de la estrella. En la segunda, tomaremos el campo magnético como generado por la automagnetización de los bosones, en este caso su intensidad dependerá de la densidad de partículas y diremos de él que es un campo magnético interno. Esta segunda situación permitirá en el Capítulo 6 evaluar la plausibilidad de la automagnetización como mecanismo para la generación de los campos magnéticos estelares.

## 1.5 Efectos del campo magnético en las ecuaciones de estado de gases cuánticos: objetos compactos deformados y *jets* astrofísicos

En el interior de un OC magnetizado, todas las partículas que lo forman están sujetas a los efectos del campo magnético sobre ellas. En consecuencia, la presencia del campo magnético puede modificar

la composición, la estructura y la estabilidad de la estrella [2, 26, 27, 80–82]. La presencia del campo magnético rompe la simetría esférica de la materia que compone la estrella y da lugar a un desdoblamiento de las presiones en las direcciones paralelas y perpendicular a él [25, 27]. Esta anisotropía tiene un impacto directo en la forma del OC, que no podrá ser considerada esférica, como es usual en la descripción de la estructura de objetos compactos no magnetizados.

Por otra parte, para varios gases cuánticos magnetizados ha sido posible comprobar que, bajo ciertas condiciones, la menor de las presiones puede hacerse cero e incluso negativa, dando lugar a una inestabilidad que es conocida como colapso magnético [29–32]. En el caso de que sea la presión perpendicular al eje magnético la que devenga inestable, las partículas del gas se verían forzadas a moverse hacia éste, dando lugar a una estructura axisimétrica y alargada (Fig. 1.5). Aunque el colapso magnético constituye un problema desde el punto de vista de la estabilidad de los objetos compactos, podría ser crucial en la explicación de otros fenómenos, como los *jets* astrofísicos.

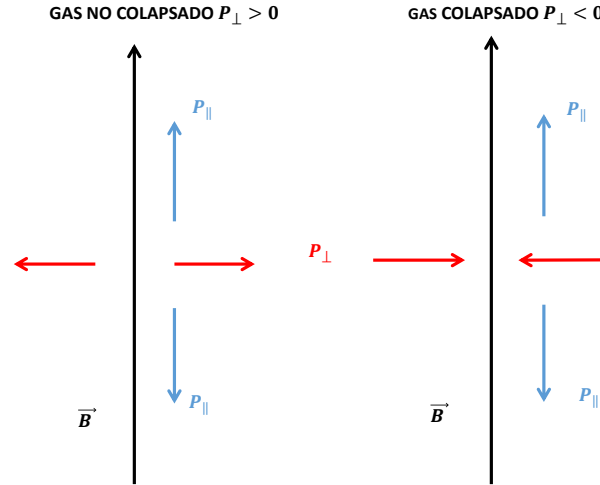


Figura 1.5: Representación diagramática de la anisotropía en las presiones de un gas cuántico magnetizado y del colapso magnético transversal. Las flechas negras indican la dirección del campo magnético, mientras que las azules y rojas el sentido de las presiones paralela y perpendicular respectivamente.

### 1.5.1 *Jets* astrofísicos

Un *jet* astrofísico es un chorro de materia densa, fría y colimada que luego de ser expulsado de un objeto astrofísico (estrellas, protoestrellas, nebulosas protoplanetarias, OCs, galaxias, etc.), se aleja de su fuente sin dispersarse [?, 37, 83, 84]. Este fenómeno puede ser visto en escalas que cubren más de siete órdenes de magnitud [?, 33]. Por ejemplo, la longitud de los *jets* emitidos por Núcleos Galácticos Activos está en el orden de los  $10^6$  pc<sup>IV</sup>, y sus velocidades son cercanas a la velocidad de la luz; los

<sup>IV</sup>1pc =  $3,086 \times 10^{16}$  m

jets emitidos por Objetos Estelares Jóvenes, en cambio, tienen longitudes en el orden de los pc y velocidades tres órdenes por debajo de la velocidad de la luz [?, 33]. Con independencia de la fuente que los produce, los *jets* astrofísicos comparten una serie de propiedades [?, 33, 83]:

- Son estructuras altamente colimadas con forma aproximadamente cilíndrica o cónica (Fig. 1.6).
- Muestran una cadena de nudos que se mueven a altas velocidades alejándose de la fuente (Fig. 1.6).
- Están asociados con campo magnéticos cuya dirección puede inferirse a partir de mediciones de polarización (Fig. 1.7). Las observaciones sugieren que el campo magnético de un *jet* está alineado con su eje [83].

Por ello, a pesar de su origen diverso y de sus diferencias de escala se cree que todos los *jets* astrofísicos son producidos por mecanismos similares [33, 34]. Aunque dichos mecanismos está aún en debate, sí hay consenso acerca de que el campo magnético debe jugar un papel importante en ellos [33, 34, 83].

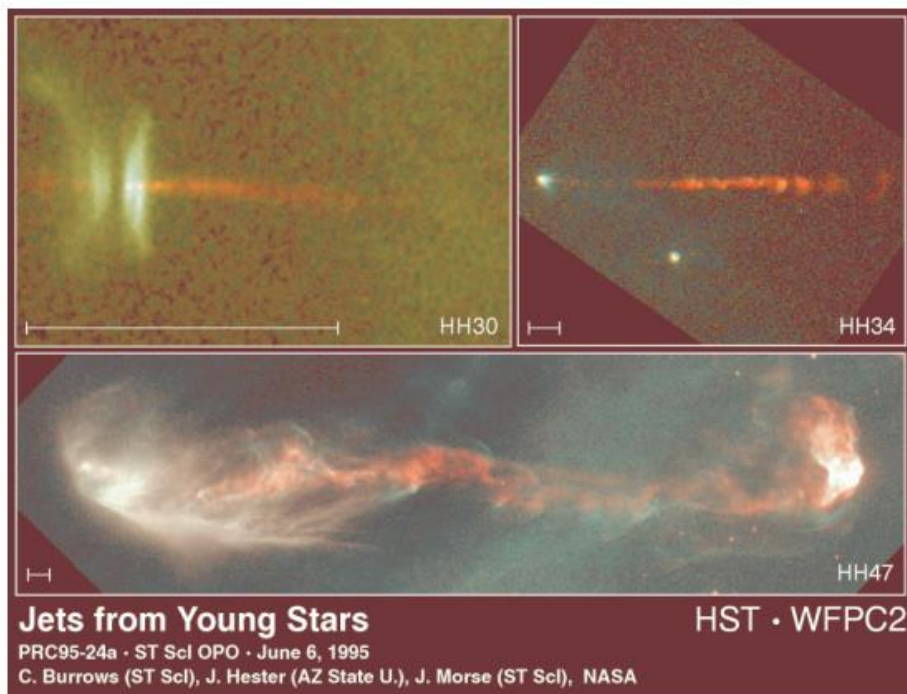


Figura 1.6: Imágenes del Telescopio Espacial Hubble de tres *jets* astrofísicos emitidos por estrellas jóvenes [34].

La característica más intrigante de los *jets* astrofísicos es su forma. La gravitación es la fuerza de largo alcance dominante en el Universo. Su simetría central combinada con la conservación del momento angular determina la forma aproximadamente esférica de planetas y estrellas, y la forma de disco de las galaxias. Conviviendo con estas estructuras encontramos los jets, que rompen con estas simetrías al estar totalmente alejados de la forma esférica o de disco (Fig. 1.6). En consideración a

su forma atípica, cuya simetría es similar a la simetría axial de un gas cuántico que ha sufrido un colapso magnético transversal, se ha sugerido que tanto la producción como la estructura de los *jets* podría estar determinada por la física que subyace detrás de este tipo de colapso [37].

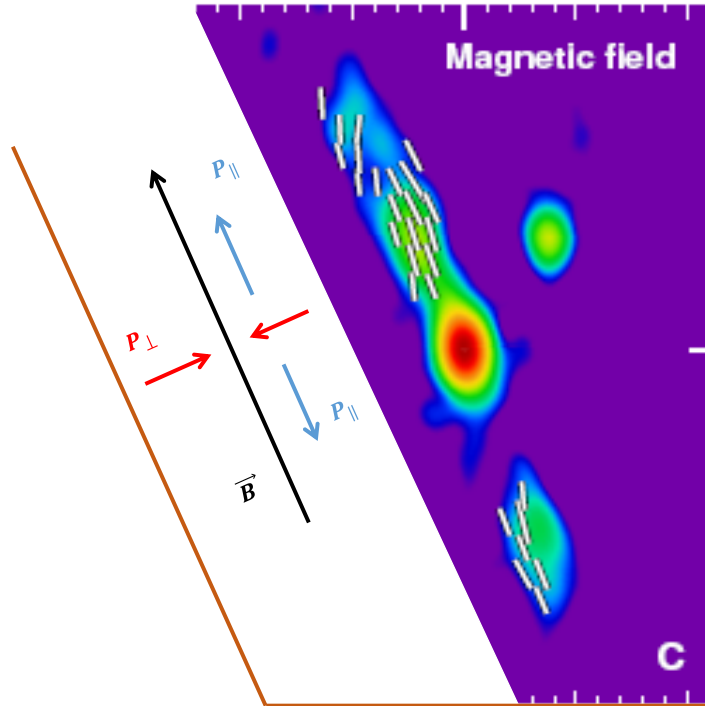


Figura 1.7: Imagen del *jet* HH 80-81 a 6 cm de longitud de onda tomada de [83]. Las barras blancas indican la dirección del campo magnético aparente. El diagrama del colapso magnético transversal se ha añadido a la imagen para resaltar la similitud de la geometría del *jet* con la de este fenómeno.

Los estudios teóricos de los *jets* astrofísicos se pueden dividir en dos tipos. Aquellos, que se dedican a estudiar la estabilidad hidrodinámica y gravitacional del chorro [85–87], y los dedicados a dilucidar sus mecanismos de producción [33, 34]. Incluso existen experimentos orientados a la producción de chorros estables de materia colimada en el laboratorio [88]. En el Capítulo 3 de la tesis se sugiere un mecanismo para producir y mantener estructuras colimadas largas basado en las propiedades de los sistemas cuánticos fuertemente magnetizados, pero sin detenernos a estudiar el problema de la estabilidad gravitacional de la estructura que se forma.

### 1.5.2 Modelación de la estructura de objetos compactos magnetizados

Si bien en lo que concierne a las EdE la anisotropía magnética puede ser apreciada de una manera relativamente directa, el estudio de sus efectos en la masa y la forma de los objetos astronómicos requiere el uso de ecuaciones de estructura que vayan más allá de las usuales ecuaciones de Tolman–Oppenheimer–Volkoff (TOV) en simetría esférica.

El problema de resolver las Ecuaciones de Einstein (acopladas a las de Maxwell en el caso de estrellas magnetizadas) para modelos específicos de materia, como los dados por unas EdE, ha sido atacado de manera numérica, en particular en relación con el estudio de estrellas magnetizadas y/o en rotación, dos casos que responden al mismo tipo de simetría axial [27, 74, 89, 90]. Igualmente, diversos esfuerzos se han dedicado a la búsqueda de ecuaciones de estructura axisimétricas que puedan ser tratadas de manera (semi-)analítica [26, 28, 81, 91–94]. Sin embargo, debido al carácter más o menos aproximado y/o restringido de las soluciones encontradas hasta ahora, la búsqueda, ya sea analítica o numérica, de soluciones de las ecuaciones de Einstein en espacio-tiempos no esféricos continúa siendo de gran interés para la física.

En particular, en el grupo de investigación al que se adscribe esta tesis, se han realizado varios intentos dirigidos a lograr una descripción del OC magnetizado en simetría cilíndrica [26]. No obstante, las ecuaciones obtenidas no permiten calcular la masa total del objeto compacto, lo cual constituye una limitación al ser este uno de los observables más importantes. El problema de encontrar ecuaciones de estructura para objetos esferoidales a partir de una métrica axisimétrica en coordenadas esféricas será tratado en el quinto capítulo de la tesis.

## Capítulo 2

# Propiedades termodinámicas de un gas magnetizado de bosones vectoriales neutros en el límite de baja temperatura

En este capítulo se estudian las propiedades termodinámicas de un gas magnetizado de bosones vectoriales neutros en el límite de baja temperatura. La descripción de los bosones se hace en el marco de la teoría de Proca para las partículas de spin 1, y el espectro energético es obtenido a partir del hamiltoniano de Sakata-Taketani [95, 96]. Posteriormente, se muestra el cálculo del potencial termodinámico en tres y una dimensiones, y se discuten la condensación de Bose-Einstein, las propiedades magnéticas y las ecuaciones de estado de este gas. La obtención del espectro para bosones vectoriales neutros así como los cálculos relativos a sus propiedades termodinámicas son resultados originales de la autora de la tesis [32, 38, 97].

### 2.1 Gas de bosones vectoriales en presencia de campo magnético

A pesar de su potencial importancia en la modelación de OCs y, en particular, para la generación de los campos magnéticos estelares, las propiedades termodinámicas del gas magnetizado de bosones vectoriales neutros han sido relativamente poco estudiadas, a diferencia de las de su análogo cargado que han recibido mucha más atención [98–107].

El estudio de la condensación de Bose-Einstein y de las propiedades magnéticas de gases bosónicos cargados, escalares o vectoriales, puede verse en [98, 100–104]. Para bajas temperaturas, el gas de bosones vectoriales cargados es paramagnético, puede automagnetizarse y experimenta una transición de fases difusa al condensado de Bose-Einstein [98, 100].

En una transición de fase difusa no existe una temperatura crítica, sino un intervalo de temperaturas a lo largo del cual la transición ocurre gradualmente [99]. En particular, la transición de fase difusa al condensado de Bose-Einstein se caracteriza por la presencia de una fracción finita de la densidad total de partículas en una vecindad del estado básico a cierta temperatura  $T > 0$ . En este sentido, el

criterio para definir un condensado de Bose-Einstein difuso es más débil que el usado para definir el condensado de Bose-Einstein usual, pues este último requiere la existencia de una temperatura crítica por debajo de la cual exista una cantidad macroscópica de partículas en el estado básico.

Que la transición al condensado sea usual o difusa depende de las dimensiones del sistema [99]. En el caso de un gas de bosones cargados en presencia de un campo magnético, la transición difusa aparece debido a la reducción dimensional que sufre el gas de tres a una dimensión en el régimen de campo fuerte. En este régimen los bosones son forzados por el campo magnético a concentrarse en el primer nivel de Landau. Como en este nivel la componente del momento perpendicular al eje magnético se anula, los bosones solo pueden moverse en la dirección paralela a él [98, 101].

La aparición de niveles de Landau es un efecto directo del acoplamiento entre la carga eléctrica de las partículas y el campo magnético [108]. Por tanto, es de esperar que en un gas de bosones neutros ellos no aparezcan y en consecuencia, que algunas de sus propiedades termodinámicas sean esencialmente diferentes de la de un gas de bosones cargado. Por ello se impone estudiarlas si se pretende utilizar este tipo de gas en la modelación de objetos compactos. Además de que si bien en lo que respecta a los OCs, la anisotropía en las presiones del gas magnetizado ha sido hasta el momento lo más relevante, otros fenómenos como la condensación de Bose-Einstein y el comportamiento ferromagnético que se ha observado a bajas temperaturas en los gases vectoriales, son interesantes en sí mismos.

El ferromagnetismo de Bose-Einstein para bosones vectoriales neutros ha sido estudiado previamente en [36] considerando a los bosones como no relativistas. En [105] y [106] la superconductividad y la superfluidez inducida por el campo magnético en un gas formado por la mezcla de mesones vectoriales cargados y neutros fue estudiada pero sin tener en cuenta el acoplamiento entre los mesones neutros y el campo magnético. Más recientemente, la condensación de Bose-Einstein para un gas de bosones vectoriales interactuantes a campo magnético cero fue estudiada en [107].

En este capítulo, nos proponemos estudiar en detalle las propiedades termodinámicas de un gas de bosones vectoriales neutros en presencia de un campo magnético. Además obtendremos las ecuaciones del estado de dicho gas, partiendo de las cuales los efectos del campo magnético en la materia que compone las ENs, y en las EdE y estructura de las estrellas de condensado de Bose-Einstein, serán investigados.

## 2.2 Lagrangiano, hamiltoniano y espectro energético del gas de bosones vectoriales neutros en interacción con un campo magnético

Los bosones neutros con spin 1 en presencia de un campo magnético se describen a través de una extensión del lagrangiano de Proca que incluya la interacción entre las partículas ( $\rho_\mu$ ) y el campo magnético [95, 96]:

$$L = -\frac{1}{4}F_{\mu\nu}F^{\mu\nu} - \frac{1}{2}\rho^{\mu\nu}\rho_{\mu\nu} + m^2\rho^\mu\rho_\mu + im\kappa(\rho^\mu\rho_\nu - \rho^\nu\rho_\mu)F_{\mu\nu}. \quad (2.1)$$

En la Ec. (2.1) los índices  $\mu$  y  $\nu$  van de 1 a 4,  $m$  es la masa de la partícula,  $\kappa$  su momento magnético,  $F^{\mu\nu}$  es el tensor del campo electromagnético, y  $\rho_{\mu\nu}$  y  $\rho_\mu$  cumplen [95]:

$$\partial_\mu \rho_{\mu\nu} - m^2 \rho_\nu + 2i\kappa m \rho_\mu F_{\mu\nu} = 0, \quad \rho_{\mu\nu} = \partial_\mu \rho_\nu - \partial_\nu \rho_\mu. \quad (2.2)$$

De considerar la variación del langragiano con respecto a  $\rho_\mu$  se obtienen las ecuaciones de movimiento, que en el espacio de los momentos  $p_\mu$  pueden escribirse como:

$$((p_\mu^2 + m^2)\delta_{\mu\nu} - p_\mu p_\nu - 2i\kappa m F_{\mu\nu}) \rho_\mu = 0. \quad (2.3)$$

Por tanto, el propagador de los bosones es:

$$D_{\mu\nu}^{-1} = ((p_\mu^2 + m^2)\delta_{\mu\nu} - p_\mu p_\nu - 2i\kappa m F_{\mu\nu}). \quad (2.4)$$

En lo que sigue del capítulo el campo magnético se considerará uniforme, constante y en la dirección  $p_3$ :  $\mathbf{B} = B\mathbf{e}_3$ .  $p_j$ , con  $j = 1, 2, 3$  son las componentes del momento de la partícula. Con ello, a partir de la Ec. (2.2) se obtiene el hamiltoniano generalizado de Sakata-Taketani para la función de onda de seis componentes que describe el sistema de bosones vectoriales [95, 96] siguiendo el procedimiento descrito en la Ref. [95]. El hamiltoniano es:

$$\hat{H} = \sigma_3 m + (\sigma_3 + i\sigma_2) \frac{\mathbf{p}^2}{2m} - i\sigma_2 \frac{(\mathbf{p} \cdot \mathbf{S})^2}{m} - (\sigma_3 - i\sigma_2) \kappa \mathbf{S} \cdot \mathbf{B}, \quad (2.5)$$

con  $\mathbf{p} = (p_\perp, p_3)$  y  $p_\perp^2 = p_1^2 + p_2^2$ .  $\sigma_i$  son las matrices de Pauli<sup>I</sup>,  $S_i$  son las matrices de  $3 \times 3$  de spin uno en una representación en la que  $S_3$  es diagonal y  $\mathbf{S} = \{S_1, S_2, S_3\}$ <sup>II</sup>.

Las ecuaciones de movimiento para el momento  $\mathbf{p}$  y la posición  $\mathbf{r}$  son:

$$\frac{\partial \mathbf{p}}{\partial t} = i[\hat{H}, \mathbf{p}], \quad (2.6a)$$

$$\frac{\partial \mathbf{r}}{\partial t} = i[\hat{H}, \mathbf{r}]. \quad (2.6b)$$

Con el uso de la Ec. (2.5) ellas quedan:

$$\frac{\partial \mathbf{p}}{\partial t} = \vec{0}, \quad (2.7a)$$

$$m \frac{\partial \mathbf{r}}{\partial t} = (\sigma_3 - i\sigma_2) \mathbf{p} + i\sigma_2 [\mathbf{S}, \mathbf{p}], \quad (2.7b)$$

---

<sup>I</sup>  $\sigma_1 = \begin{pmatrix} 0 & 1 \\ 1 & 0 \end{pmatrix}$ ,  $i\sigma_2 = \begin{pmatrix} 0 & 1 \\ -1 & 0 \end{pmatrix}$ ,  $\sigma_3 = \begin{pmatrix} 1 & 0 \\ 0 & -1 \end{pmatrix}$

<sup>II</sup>  $S_1 = \frac{1}{\sqrt{2}} \begin{pmatrix} 0 & 1 & 0 \\ 1 & 0 & 1 \\ 0 & 1 & 0 \end{pmatrix}$ ,  $S_2 = \frac{i}{\sqrt{2}} \begin{pmatrix} 0 & -1 & 0 \\ 1 & 0 & -1 \\ 0 & 1 & 0 \end{pmatrix}$ ,  $S_3 = \begin{pmatrix} 1 & 0 & 0 \\ 0 & 0 & 0 \\ 0 & 0 & -1 \end{pmatrix}$

con  $[a, b] = ab - ba$  el conmutador de  $a$  y  $b$ .

De la Ec. (2.7a) se sigue que los bosones vectoriales neutros se mueven libremente tanto en la dirección paralela al campo magnético como en la perpendicular. Esto es una diferencia con respecto al caso de los bosones vectoriales cargados, en el cual la componente del momento perpendicular al campo está cuantizada [37].

El espectro energético del gas de bosones vectoriales neutros es:

$$\varepsilon(p_3, p_\perp, B, s) = \sqrt{m^2 + p_3^2 + p_\perp^2 - 2\kappa s B \sqrt{p_\perp^2 + m^2}}, \quad (2.8)$$

donde  $s = 0, \pm 1$  son los autovalores del spin. Nótese que la intensidad del campo magnético  $B$  entra en la energía acoplada a la componente del momento de la partícula que es perpendicular a él (último término en la Ec. (2.8)). Este acoplamiento refleja la simetría axial impuesta al sistema por el campo magnético.

La energía del estado básico ( $s = 1$  y  $p_3 = p_\perp = 0$ ) para los bosones vectoriales de spin 1 es:

$$\varepsilon(0, B) = \sqrt{m^2 - 2\kappa B m} = m\sqrt{1 - b}. \quad (2.9)$$

con  $b = B/B_c$  y  $B_c = m/2\kappa$ .

De la Ec. (2.9) se sigue que la energía del estado básico del sistema decrece con el campo magnético y se hace cero para  $B = B_c = m/2\kappa$ . Este tipo de comportamiento ha sido obtenido para otros gases cuánticos en interacción con un campo magnético (véase por ejemplo [98]). Para los valores de  $m$  y  $\kappa$  aquí considerados,  $m \cong 2m_n$  y  $\kappa \cong 2\mu_n$ , con  $m_n$  la masa del neutrón y  $\mu_n$  su momento magnético,  $B_c \cong 1,98 \times 10^{20} G$ .

## 2.3 Propiedades termodinámicas del gas de bosones vectoriales neutros

Para calcular el potencial termodinámico por unidad de volumen partiremos de su definición:

$$\Omega(B, \mu, T) = \sum_{s=-1,0,1} \frac{1}{\beta} \left[ \sum_{p_4} \int \frac{p_\perp dp_\perp dp_3}{(2\pi)^2} \ln \det D^{-1}(\vec{p}^*) \right], \quad (2.10)$$

donde en este caso  $D^{-1}(\vec{p}^*)$  es el propagador de los bosones neutros vectoriales dado por (2.4).  $\beta = 1/T$  denota al inverso de la temperatura,  $\mu$  es el potencial químico de los bosones y  $\vec{p}^* = (ip_4 - \mu, 0, p_\perp, p_3)$ . Luego de hacer la suma de Matsubara, la Ec.(2.10) puede escribirse como [109]:

$$\Omega(B, \mu, T) = \Omega_{st} + \Omega_{vac}, \quad (2.11)$$

donde  $\Omega_{st}$  es la contribución estadística de los bosones/antibosones y depende de  $B, T$  y  $\mu$ :

$$\Omega_{st}(B, \mu, T) = \sum_{s=-1,0,1} \frac{1}{\beta} \left( \int \frac{p_{\perp} dp_{\perp} dp_3}{(2\pi)^2} \ln \left( (1 - e^{-(\varepsilon(p_3, p_{\perp}, B, s) - \mu)\beta}) (1 - e^{-(\varepsilon(p_3, p_{\perp}, B, s) + \mu)\beta}) \right) \right), \quad (2.12)$$

mientras que  $\Omega_{vac}$  solo depende de  $B$  y se le conoce como término o contribución del vacío.

$$\Omega_{vac} = \sum_{s=-1,0,1} \int \frac{p_{\perp} dp_{\perp} dp_3}{(2\pi)^2} \varepsilon(p_3, p_{\perp}, B, s). \quad (2.13)$$

A fin de facilitar el cálculo,  $\Omega_{st}$  puede ser reescrito como:

$$\Omega_{st}(B, \mu, T) = \sum_{s=-1,0,1} \Omega_{st}(s), \quad (2.14)$$

siendo

$$\Omega_{st}(s) = \frac{1}{\beta} \left( \int \frac{p_{\perp} dp_{\perp} dp_3}{(2\pi)^2} \ln \left( (1 - e^{-(\varepsilon(p_3, p_{\perp}, B, s) - \mu)\beta}) (1 - e^{-(\varepsilon(p_3, p_{\perp}, B, s) + \mu)\beta}) \right) \right) \quad (2.15)$$

la contribución de cada estado del spin al término estadístico del potencial temodinámico.

Utilizando la expansión de Taylor del logaritmo, la Ec. (2.15) puede escribirse como:

$$\Omega_{st}(s) = -\frac{1}{4\pi^2\beta} \sum_{n=1}^{\infty} \frac{e^{n\mu\beta} + e^{-n\mu\beta}}{n} \int_0^{\infty} p_{\perp} dp_{\perp} \int_{-\infty}^{\infty} dp_3 e^{-n\beta\varepsilon(p_3, p_{\perp}, B, s)}. \quad (2.16)$$

En la Ec. (2.16) el término  $e^{n\mu\beta}$  corresponde a las partículas mientras que el término  $e^{-n\mu\beta}$  a las antipartículas. En ella la integración sobre  $p_3$  puede hacerse, mientras que la expresión solo es integrable analíticamente en  $p_{\perp}$  de manera parcial. Con ello se obtiene:

$$\Omega_{st}(s) = -\frac{z_0^2}{2\pi^2\beta^2} \sum_{n=1}^{\infty} \frac{e^{n\mu\beta} + e^{-n\mu\beta}}{n^2} K_2(yz_0) - \frac{\alpha}{2\pi^2\beta} \sum_{n=1}^{\infty} \frac{e^{n\mu\beta} + e^{-n\mu\beta}}{n} \int_{z_0}^{\infty} dz \frac{z^2}{\sqrt{z^2 + \alpha^2}} K_1(yz), \quad (2.17)$$

donde  $K_n(x)$  es la función de McDonald de orden  $n$ ,  $y = n\beta$ ,  $z_0 = m\sqrt{1 - sb}$  y  $\alpha = smb/2$ . Para llegar a la ecuación Ec. (2.17) se hizo además el cambio de variables  $z^2 = (m^2 + p_{\perp}^2 + \alpha^2)^2 - \alpha^2$ .

Para calcular la integral en el segundo término de la Ec. (2.17):

$$I = \int_{z_0}^{\infty} dz \frac{z^2}{\sqrt{z^2 + \alpha^2}} K_1(yz), \quad (2.18)$$

se sigue el procedimiento presentado en el Apéndice A. Finalmente,  $\Omega_{st}(s)$  queda:

$$\Omega_{st}(s) = -\frac{z_0^2}{2\pi^2\beta^2} \left(1 + \frac{\alpha}{\sqrt{z_0^2 + \alpha^2}}\right) \sum_{n=1}^{\infty} \frac{e^{n\mu\beta} + e^{-n\mu\beta}}{n^2} K_2(yz_0) + \frac{\alpha z_0^2}{\pi^2\beta^2\sqrt{z_0^2 + \alpha^2}} \quad (2.19)$$

$$\times \sum_{n=1}^{\infty} \frac{e^{n\mu\beta} + e^{-n\mu\beta}}{n^2} \sum_{w=1}^{\infty} \frac{(-1)^w (2w-1)!!}{(z_0^2 + \alpha^2)^w} \left(\frac{z_0}{y}\right)^w K_{-(w+2)}(yz_0).$$

Tomar en la Ec. (2.19) el límite de baja temperatura  $T \ll m$  (que para  $m = 2m_n \cong 10^3 \text{ MeV}$  significa  $T \ll 10^{13} \text{ K}$  y por tanto en el caso de OCs está bien justificado), es equivalente a hacer el límite  $y = n\beta \rightarrow \infty$ . En este límite, todos los términos de  $\Omega_{st}(s)$  tienden a cero salvo el primero, por tanto:

$$\Omega_{st}(s) \cong -\frac{z_0^2}{2\pi^2\beta^2} \left(1 + \frac{\alpha}{\sqrt{z_0^2 + \alpha^2}}\right) \sum_{n=1}^{\infty} \frac{e^{n\mu\beta} + e^{-n\mu\beta}}{n^2} K_2(yz_0).$$

para  $T \ll m$ . En este límite además  $K_2(yz_0)$  puede sustituirse por su fórmula asintótica [110]:

$$K_2(yz_0) \cong \frac{\sqrt{\pi} e^{-yz_0}}{\sqrt{2yz_0}} = \frac{\sqrt{\pi} e^{-n\beta z_0}}{\sqrt{2n\beta z_0}},$$

con lo cual  $\Omega_{st}(s)$  puede escribirse como:

$$\Omega_{st}(s) \cong -\frac{z_0^{3/2}}{2^{3/2}\pi^{3/2}\beta^{5/2}} \left(1 + \frac{\alpha}{\sqrt{z_0^2 + \alpha^2}}\right) \sum_{n=1}^{\infty} \frac{e^{n\beta(\mu-z_0)} + e^{-n\beta(\mu+z_0)}}{n^{5/2}}.$$

Para  $\beta \gg 1$ , el término de las antipartículas  $e^{-n\beta(\mu+z_0)}$  tiende a cero para todos los valores del spin  $s = 0, \pm 1$ , porque  $\mu + z_0$  ( $z_0 = m\sqrt{1-sb}$ ) es siempre positivo. De esta forma vemos que en el límite de baja temperatura la contribución de las antipartículas al potencial termodinámico puede ser despreciada.

Por el contrario, el término de las partículas  $e^{n\beta(\mu-z_0)}$  solo tiende a cero para  $s = 0, -1$ . En estos casos, como  $\mu \leq \varepsilon(0, B) = z_0(s = 1) = m\sqrt{1-b}$  y  $z_0(s = 1)$  es menor que  $z_0(0) = m$  y  $z_0(-1) = m\sqrt{1+b}$ ,  $\mu - z_0$  es negativo. Sin embargo, para  $s = 1$ , cuando  $T \rightarrow 0$ , el término de las partículas  $e^{n\beta(\mu-z_0)}$  tiende a 1, porque  $\mu \rightarrow \varepsilon(0, B)$ , y en consecuencia  $\mu - z_0(1) = \mu - \varepsilon(0, B)$  tiende a cero. Por tanto, las contribuciones a  $\Omega_{st}(s)$  que vienen de las partículas con  $s = 0, -1$  son también despreciables, y  $\Omega_{st} \cong \Omega_{st}(1)$ . De modo que finalmente, para las bajas temperaturas asumidas y luego de evaluar  $z_0(1)$  y  $\alpha(1)$ , la parte estadística del potencial termodinámico es:

$$\Omega_{st}(B, \mu, T) = -\frac{\varepsilon(0, B)^{3/2}}{2^{1/2}\pi^{3/2}\beta^{5/2}(2-b)} Li_{5/2}(e^{\beta\mu'}), \quad (2.20)$$

donde  $Li_n(x)$  es la función polilogarítmica de orden  $n$  y  $\mu' = \mu - \varepsilon(0, B)$ . La cantidad  $\mu'$  es función de la temperatura y del campo magnético. De acuerdo a como ha sido definida  $\mu'$ , la existencia de una temperatura distinta de cero  $T_{cond}$  para la cual  $\mu' = 0$  es el requerimiento para la condensación de Bose-Einstein usual.

La contribución del vacío al potencial termodinámico después de ser regularizada es (ver cálculos en el Apéndice B):

$$\Omega_{vac} = -\frac{m^4}{288\pi} (b^2(66 - 5b^2) - 3(6 - 2b - b^2)(1 - b)^2 \log(1 - b) - 3(6 + 2b - b^2)(1 + b)^2 \log(1 + b)). \quad (2.21)$$

Sumando las Ecs. (2.22) y (2.21) se obtiene que el potencial termodinámico total para el gas de bosones vectoriales neutros en el límite de baja temperatura es:

$$\Omega(B, \mu, T) = -\frac{\varepsilon(0, B)^{3/2}}{2^{1/2}\pi^{3/2}\beta^{5/2}(2 - b)} Li_{5/2}(e^{\beta\mu'}) - \frac{m^4}{288\pi} (b^2(66 - 5b^2) - 3(6 - 2b - b^2)(1 - b)^2 \log(1 - b) - 3(6 + 2b - b^2)(1 + b)^2 \log(1 + b)). \quad (2.22)$$

### 2.3.1 Densidad de partículas y condensación de Bose-Einstein

Para obtener la densidad de partículas  $N$  calcularemos la derivada de la Ec.(2.22) con respecto al potencial químico  $\mu$ :

$$N = -\frac{\partial\Omega(B, \mu, T)}{\partial\mu} = \frac{\varepsilon(0, B)^{3/2}}{2^{1/2}\pi^{3/2}\beta^{3/2}(2 - b)} Li_{3/2}(e^{\mu'\beta}). \quad (2.23)$$

La expresión anterior permite a sustitución  $\mu' = 0$  (porque  $Li_{3/2}(1) = \zeta(3/2)$ , donde  $\zeta(x)$  es la función zeta de Riemann). En consecuencia, una temperatura crítica para la condensación puede ser definida (Ec. 2.24) y el gas de bosones vectoriales neutros muestra una condensación de Bose-Einstein usual.

$$T_{cond} = \frac{1}{\varepsilon(0, B)} \left( \frac{2^{1/2}\pi^{3/2}(2 - b)N}{\zeta(3/2)} \right)^{2/3}. \quad (2.24)$$

Aunque este comportamiento es similar al obtenido para bosones a campo magnético cero -la relación funcional entre  $T_{cond}$  y  $N$  es la misma-, cuando el campo magnético está presente la temperatura crítica depende de él a través de  $\varepsilon(0, B)$  y  $b$ , y lo que es más interesante,  $T_{cond}$  diverge cuando  $b \rightarrow 1$  ( $B \rightarrow B_c$ ). La dependencia de la temperatura crítica con el campo pone en evidencia que la condensación puede ser alcanzada no solo por el decrecimiento de la temperatura o el aumento de la densidad de partículas, sino también por el incremento del campo magnético. Esto puede verse fácilmente si se calcula la densidad de partículas fuera del condensado  $N_{oc}$  (para  $T < T_{cond}$ ):

$$N_{oc} = \frac{\varepsilon(0, B)^{3/2} T^{3/2}}{2^{1/2} \pi^{3/2} (2 - b)} Li_{3/2}(e^{\mu' \beta}) = N \left( \frac{T}{T_{cond}} \right)^{3/2}, \quad (2.25)$$

porque de la Ec. (2.25) se sigue que  $N_{oc} \rightarrow 0$  cuando  $T \rightarrow 0$  pero también cuando  $b \rightarrow 1$  ( $\varepsilon(0, B) \rightarrow 0$ ).

Dado que la temperatura crítica está bien definida para cada valor del campo magnético (como mismo hay un campo crítico para cada temperatura), es posible dibujar un diagrama de fases  $T$  vs  $b$ . Esto fue hecho en la Fig. 2.1 para dos valores fijos de la densidad de partículas:  $N = 10^{38} \text{cm}^{-3}$  y  $N = 10^{39} \text{cm}^{-3}$ . Estas altas densidades de bosones pueden ser asumidas para objetos compactos, en particular para el interior de ENs, pues a la densidad de masa nuclear  $\rho_{nuc} = 2,4 \times 10^{14} \text{g/cm}^3$  corresponde una densidad de partículas de aproximadamente  $10^{38} \text{cm}^{-3}$ . Los valores de la temperatura crítica están en el orden de los  $T = 10^{11} - 10^{12}$  K. Estas temperaturas son ligeramente mayores que las temperaturas típicas de los objetos compactos. Por lo tanto es de esperar que una fracción de los bosones vectoriales presentes en este tipo de objetos se encuentre en el condensado.

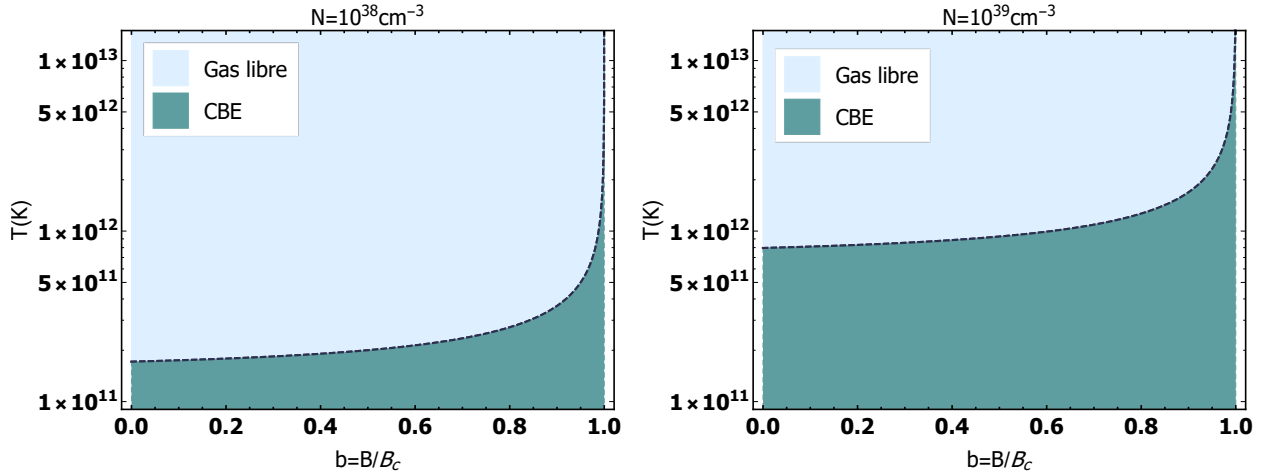


Figura 2.1: Diagramas de fases para el condensado de Bose-Einstein en el plano  $T - b$  para dos valores distintos de la densidad de partículas. La línea punteada corresponde a la curva  $T_{cond}(b)$  y separa la región en la que el gas está condensado (azul oscuro) de aquella en la que no lo está (azul claro). Nótese que la temperatura crítica también depende de la densidad de partículas.

La transición al condensado también puede ser examinada a través del comportamiento del calor específico. En particular, consideraremos el calor específico a volumen constante, definido como:

$$C_v = \frac{\partial E}{\partial T}, \quad (2.26)$$

donde  $E = TS + \Omega + \mu N$  es la densidad de energía interna del sistema. La entropía del gas es:

$$S = -\frac{\partial \Omega}{\partial T} = -\beta \left( \mu' N + \frac{5}{2} \Omega_{st} + \beta \frac{\partial \mu'}{\partial \beta} N \right), \quad (2.27)$$

con

$$\mu' \cong -\frac{\zeta(3/2)T}{4\pi} \left(1 - \left(\frac{T_{cond}}{T}\right)^{3/2}\right) \Theta(T - T_{cond}) \quad (2.28)$$

en el límite de baja temperatura. Aquí  $\Theta(x)$  es la función paso unitario de Heaviside.

Con el uso de la Ec. (2.27) la energía interna puede escribirse como:

$$E = \varepsilon(0, B)N + \Omega_{vac} - \frac{3}{2}\Omega_{st} - \beta \frac{\partial \mu'}{\partial \beta} N. \quad (2.29)$$

La Ec. (2.29) permite obtener para el calor específico la expresión siguiente:

$$C_v = -\beta \left( \frac{15}{4}\Omega_{st} + \frac{3}{2}\mu' N + \frac{1}{2}\beta \frac{\partial \mu'}{\partial \beta} N - \beta^2 \frac{\partial^2 \mu'}{\partial \beta^2} N \right). \quad (2.30)$$

En la Fig. 2.2 se muestra el calor específico como función de la temperatura para un valor fijo de la densidad de partículas  $N = 10^{34} \text{ cm}^{-3}$  y tres valores del campo magnético. Como puede observarse,  $C_v$  tiene un máximo; este es una señal de la transición al condensado. El máximo decrece a medida que  $B \rightarrow B_c$  ( $b \rightarrow 1$ ), porque cuando  $B = B_c$  el gas está condensado para toda temperatura y densidad de partículas.

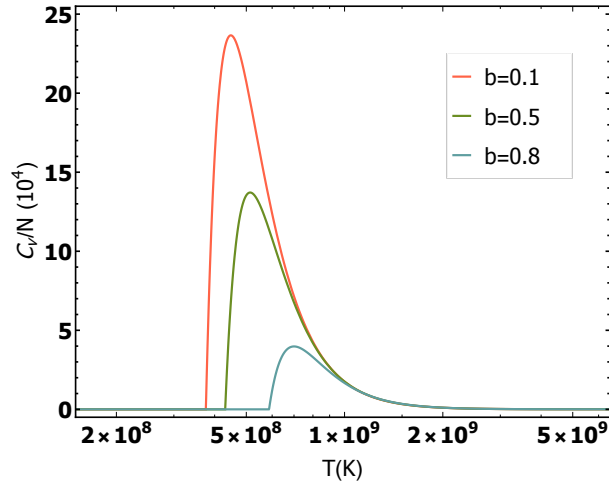


Figura 2.2: El calor específico como función de la temperatura para  $N = 10^{34} \text{ cm}^{-3}$  y varios valores del campo magnético.

### 2.3.1.1 Condensación de Bose-Einstein para un gas magnetizado de bosones vectoriales neutros en una dimensión

Consideremos ahora un gas de bosones vectoriales neutros con  $p_{\perp} = 0$ . A pesar de que en nuestro caso la reducción a una dimensión no se da de manera natural, como ocurre para un gas cargado en el régimen de campo magnético fuerte, el estudio del gas en una dimensión no deja de tener interés

pues podría ser útil en los primeros pasos para la modelación de estructuras lineales tales como los *jets* astrofísicos.

El caso unidimensional, la contribución estadística al potencial termodinámico tiene la forma:

$$\Omega_{st}^{1D}(B, \mu, T) = \sum_{s=-1,0,1} \frac{1}{2\pi\beta} \int_{-\infty}^{\infty} dp_3 \ln \left( (1 - e^{-(\varepsilon(p_3, B, s) - \mu)\beta}) (1 - e^{-(\varepsilon(p_3, B, s) + \mu)\beta}) \right). \quad (2.31)$$

Usando el desarrollo en serie de Taylor del logaritmo podemos escribir la Ec. (2.31) como:

$$\Omega_{st}^{1D}(B, \mu, T) = - \sum_{s=-1,0,1} \frac{1}{2\pi\beta} \sum_{n=1}^{\infty} \frac{e^{n\mu\beta} + e^{-n\mu\beta}}{n} \int_0^{\infty} dp_3 e^{-n\beta\varepsilon(s)}, \quad (2.32)$$

donde los términos  $e^{n\mu\beta}$  y  $e^{-n\mu\beta}$  corresponden a las partículas y las antipartículas respectivamente. La integración por  $p_3$  puede hacerse, y con ello se obtiene para  $\Omega_{st}^{1D}(B, \mu, T)$  la expresión:

$$\Omega_{st}^{1D}(B, \mu, T) = - \sum_{s=-1,0,1} \frac{m\sqrt{1-sb}}{\pi\beta} \sum_{n=1}^{\infty} \frac{e^{n\mu\beta} + e^{-n\mu\beta}}{n} K_1(n\beta m\sqrt{1-sb}), \quad (2.33)$$

$K_1(x)$  es la función de McDonald de primer orden.

Sumando sobre el spin se tiene que:

$$\begin{aligned} \Omega_{st}^{1D}(B, \mu, T) = & - \frac{m\sqrt{1+b}}{\pi\beta} \sum_{n=1}^{\infty} \frac{e^{n\mu\beta} + e^{-n\mu\beta}}{n} K_1(n\beta m\sqrt{1+b}) \\ & - \frac{m}{\pi\beta} \sum_{n=0}^{\infty} \frac{e^{n\mu\beta} + e^{-n\mu\beta}}{n} K_1(n\beta m) \\ & - \frac{m\sqrt{1-b}}{\pi\beta} \sum_{n=0}^{\infty} \frac{e^{n\mu\beta} + e^{-n\mu\beta}}{n} K_1(n\beta m\sqrt{1-b}). \end{aligned} \quad (2.34)$$

Como en el caso tridimensional, en el límite de baja temperatura, el término dominante en la Ec. (2.34) viene de las partículas con  $s = 1$ . Por ello  $\Omega_{st}^{1D}$  puede reescribirse como:

$$\Omega_{st}^{1D}(B, \mu, T) = - \frac{\sqrt{\varepsilon(0, B)}}{\sqrt{2\pi}\beta^{3/2}} Li_{3/2}(e^{\mu'^{1D}\beta}), \quad (2.35)$$

con  $\mu'^{1D} = \mu - \varepsilon(0, B)$ . (Aunque  $\mu'^{1D}$  y  $\mu'$  responden a la misma definición, la distinción es necesaria para evitar confusiones en lo que sigue.)

La contribución del vacío al potencial termodinámico en una dimensión es, luego de ser regularizada (Apéndice A):

$$\Omega_{vac}^{1D}(B) = -\frac{m^2}{2\pi}((1-b)\log(1-b) + (1+b)\log(1+b)). \quad (2.36)$$

Finalmente, para el potencial termodinámico total en el límite de baja temperatura tenemos:

$$\Omega^{1D}(B, \mu, T) = -\frac{\sqrt{\varepsilon(0, B)}}{\sqrt{2\pi}\beta^{3/2}} Li_{3/2}(e^{\mu^{1D}\beta}) - \frac{m^2}{2\pi}((1-b)\log(1-b) + (1+b)\log(1+b)). \quad (2.37)$$

La densidad de partículas obtenida de la Ec. (2.37) es:

$$N^{1D} = -\frac{\partial\Omega^{1D}(B, \mu, T)}{\partial\mu} = \frac{\sqrt{\varepsilon(0, B)}}{\sqrt{2\pi}\beta^{1/2}} Li_{1/2}(e^{\mu^{1D}\beta}). \quad (2.38)$$

Esta expresión es similar a la obtenida para un gas tridimensional de bosones vectoriales cargados en presencia de un campo magnético constante (ver Ec. (23) de [102]). Ella no admite la sustitución  $\mu^{1D} = 0$  (porque  $Li_{1/2}(1) \rightarrow \infty$ ). En consecuencia, una temperatura crítica no puede ser definida y el gas no condensa en el sentido usual. Sin embargo, en el límite de muy baja temperatura, en el cual  $\mu \sim \varepsilon(0, B) \gg T$  pero  $T \gg \mu^{1D}$  la expresión (2.38) puede aproximarse como:

$$N^{1D} \simeq \frac{1}{2\beta} \sqrt{\frac{2\varepsilon(0, B)}{-\mu^{1D}}}. \quad (2.39)$$

La Ec. (2.39) diverge cuando  $\mu' \rightarrow 0$  a pesar de que la densidad de partículas debe permanecer finita. Esto indica que la interpretación correcta de esta expresión no es como una manera de calcular  $N^{1D}$ , sino como una manera de hallar  $\mu^{1D}$  en función de  $N$ ,  $B$  y  $T$ :

$$\mu^{1D} = -\varepsilon(0, B) \frac{T^2}{N^2} = -m\sqrt{1-b} \frac{T^2}{N^2}. \quad (2.40)$$

De la Ec. (2.40) se sigue que  $\mu'$  es una función decreciente de  $B$  que va a cero cuando  $B \rightarrow B_c$  aún en el caso de que la temperatura sea finita. Como  $\mu^{1D} = 0$  es la condición para la ocurrencia de la condensación de Bose-Einstein, esto significa que a pesar de ser imposible definir una temperatura crítica, el condensado aún puede alcanzarse a temperatura finita.

Para analizar esto en más detalle, tengamos en cuenta que con la ayuda de la Ec. (2.40) la distribución de Bose-Einstein  $n^+(p_3)$  puede aproximarse en una vecindad de  $p_3 = 0$  como:

$$n^+(p_3) = \frac{1}{e^{\beta(\varepsilon(p_3, B) - \mu) - 1}} \simeq \frac{2\varepsilon(0, B)T}{p^2 + \varepsilon(0, B)^2 - \mu^2} \simeq \frac{2\varepsilon(0, B)T}{p^2 - 2\varepsilon(0, B)\mu^{1D}}, \quad (2.41)$$

$$n^+(p_3) \simeq 2N \frac{\gamma}{p_3^2 + \gamma^2}, \quad (2.42)$$

donde  $\gamma = \sqrt{-2\varepsilon(0, B)\mu'^{1D}}$ . La Ec.(2.42) significa que para  $p_3 \approx 0$ ,  $n^+(p_3)$  tiende a una distribución de Cauchy centrada en  $p_3 = 0$ . Ahora el equivalente a los límites  $T \rightarrow 0$  o  $B \rightarrow B_c$  es el límite  $\gamma \rightarrow 0$  y:

$$\lim_{\gamma \rightarrow 0} n^+(p_3) = 2\pi N \delta(p_3). \quad (2.43)$$

Usando la Ec.(2.43) tenemos la siguiente expresión para la densidad de partículas  $N$  en la vecindad de  $p_3 = 0$ :

$$N \simeq \frac{1}{2\pi} \lim_{\gamma \rightarrow 0} \int_{-\infty}^{\infty} 2\pi N \frac{\gamma}{p_3^2 + \gamma^2} dp_3 = N \int_{-\infty}^{\infty} \delta(p_3) dp_3. \quad (2.44)$$

El comportamiento tipo  $\delta$  de Dirac de la distribución de Bose-Einstein  $n^+(p_3)$  para bajas temperaturas o campos magnéticos altos se muestra en la Fig. 3. En su panel izquierdo  $n^+(p_3)$  ha sido representada como función de  $p_3$  para un valor fijo de la temperatura  $T = 10^7 K$  y varios valores del campo magnético. El máximo de las curvas aumenta y se mueve hacia la derecha cuando el campo magnético crece. En el panel derecho,  $n^+(p_3)$  se presenta como función de  $p_3$  para un valor fijo del campo magnético  $B = 0,1B_c$  y varios valores de la temperatura. El máximo de la curva aumenta y se mueve a la derecha con la disminución de la temperatura. La Fig. 3 ilustra cómo, aunque no se puede definir una temperatura crítica, a medida que  $T \rightarrow 0$  o  $B \rightarrow B_c$  los bosones se concentran en el estado básico y sus estados vecinos. Por tanto, el sistema muestra una condensación difusa.

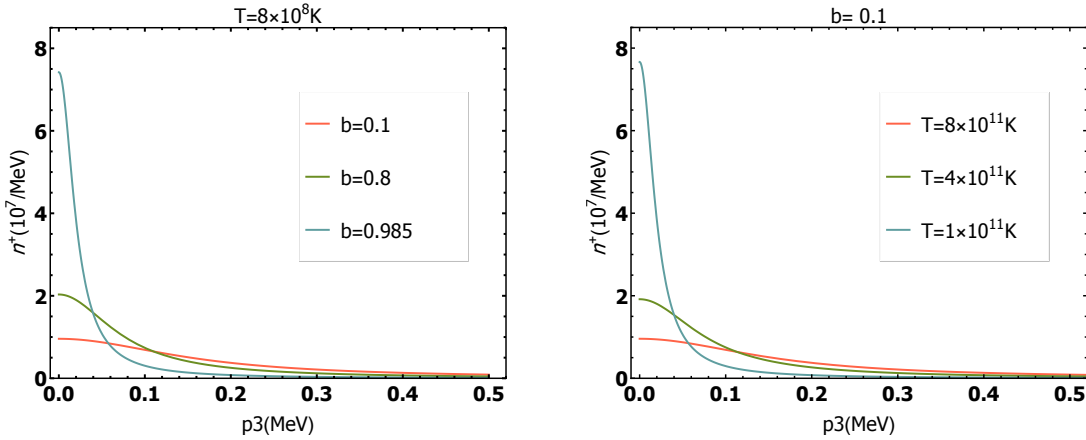


Figura 2.3: Panel izquierdo: distribución de Bose-Einstein como función de  $p_3$  para  $T$  fija y varios valores del campo magnético. Panel derecho: distribución de Bose-Einstein como función de  $p_3$  para campo magnético fijo y varios valores de la temperatura. En ambos gráficos  $N = 10^{38} cm^{-3}$ .

El orden de las temperaturas alrededor de las cuales la transición de fase difusa ocurre puede ser estimado a partir del calor específico. Para calcularlo hacen falta la energía y la entropía del gas unidimensional. Ellas son:

$$S^{1D} = -\frac{\partial \Omega^{1D}}{\partial T} = -\frac{1}{T} \left( \mu' N + \frac{3}{2} \Omega_{st}^{1D} + \frac{2\varepsilon(0, B) T^2}{N} \right), \quad (2.45)$$

$$E^{1D} = T S^{1D} + \Omega^{1D} + \mu N = \varepsilon(0, B) \left( N - \frac{2T^2}{N} \right) + \Omega_{vac}^{1D} - \frac{1}{2} \Omega_{st}^{1D}. \quad (2.46)$$

De la Ec.(2.46) el calor específico es:

$$C_v^{1D} = \frac{\partial E^{1D}}{\partial T} = -\frac{1}{2T} \left( \mu'^{1D} N + \frac{3}{2} \Omega_{st} + 10 \frac{\varepsilon(0, B) T^2}{N} \right). \quad (2.47)$$

$C_v^{1D}$  ha sido representado como función de la temperatura en el panel derecho de la Fig. 2.4. De esta figura puede verse que el calor específico tiene un máximo. Su posición en el eje de las abscisas puede calcularse como función de  $b$ :

$$T_{max} = \frac{(\zeta(\frac{3}{2})N)^2}{144\varepsilon(0, B)}. \quad (2.48)$$

Al igual que  $T_{cond}$ ,  $T_{max}$  crece con la densidad y diverge con el campo magnético. En el panel izquierdo de la Fig. 2.4 se muestra  $T_{max}$  como función de  $b$  para  $N = 10^{34} \text{cm}^{-3}$ . Aunque las regiones condensada y no condensada fueron sombreadas, es conveniente no olvidar que  $T_{max}$  no define una temperatura crítica. Por lo tanto, el panel izquierdo de la Fig. 2.4 es solo un diagrama de fases aproximado que indica el rango de temperaturas alrededor de las cuales el número de partículas en una vecindad del estado básico comienza a crecer.

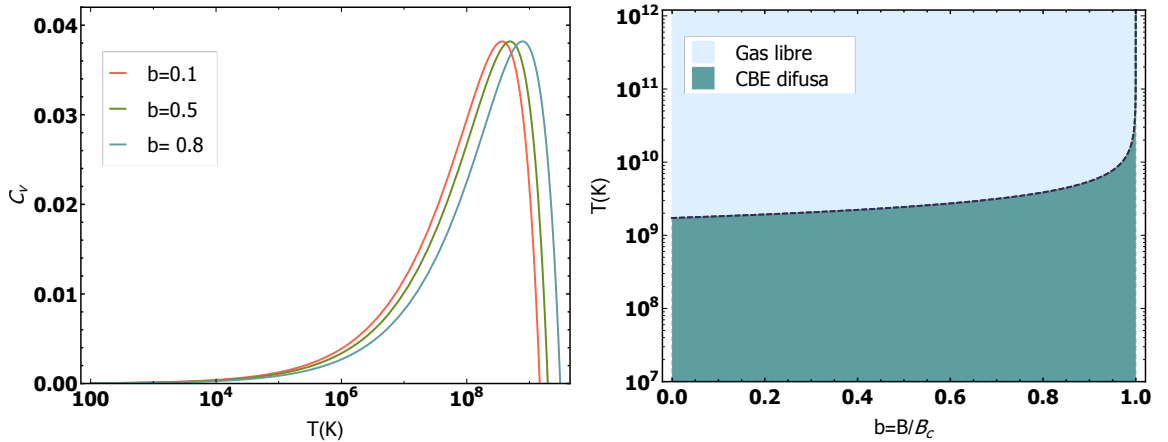


Figura 2.4: Panel izquierdo: El calor específico como función de la temperatura para el caso unidimensional. Panel derecho:  $T_{max}$  vs.  $b$ . En ambos gráficos  $N = 10^{34} \text{cm}^{-3}$ .

### 2.3.2 Magnetización

La magnetización de los gases en una y tres dimensiones se obtiene a partir de las ecuaciones para sus potenciales termodinámicos, Ec. (2.22) y Ec. (2.35), si se deriva en ellas con respecto al campo magnético:

$$\mathcal{M} = -\frac{\partial\Omega_{st}}{\partial B} - \frac{\partial\Omega_{vac}}{\partial B}, \quad (2.49)$$

$$\mathcal{M}^{1D} = -\frac{\partial\Omega_{st}^{1D}}{\partial B} - \frac{\partial\Omega_{vac}^{1D}}{\partial B}. \quad (2.50)$$

Las contribuciones estadísticas a la magnetización en una y tres dimensiones son:

$$\mathcal{M}_{st} = -\frac{\partial\Omega_{st}}{\partial B} = \frac{\kappa m}{\varepsilon(0, B)} N - \frac{2\kappa m T^{5/2}}{(4\pi)^{5/2}(2-b)^2\varepsilon(0, B)^{1/2}} Li_{5/2}(e^{\beta\mu'}), \quad (2.51)$$

y

$$\mathcal{M}_{st}^{1D} = -\frac{\partial\Omega_{st}^{1D}}{\partial B} = \frac{\kappa m}{\varepsilon(0, B)} N - \frac{\kappa m T^{3/2}}{2^{3/2}\pi^{1/2}\varepsilon(0, B)^{3/2}} Li_{3/2}(e^{\beta\mu'}). \quad (2.52)$$

En las Ecs. (2.51) y (2.52) la cantidad:

$$\frac{\kappa m}{\varepsilon(0, B)} = \frac{\kappa}{\sqrt{1-b}} \quad (2.53)$$

juega el papel de un momento magnético efectivo que aumenta con la intensidad del campo magnético.

Las contribuciones de vacío son:

$$\mathcal{M}_{vac} = -\frac{\kappa m^3}{72\pi} (7b(b^2 - 6) + 3(2b^2 + 2b - 7)(1 - b) \log(1 - b) - 3(2b^2 - 2b - 7)(1 + b) \log(1 + b)), \quad (2.54)$$

$$\mathcal{M}_{vac}^{1D} = \frac{\kappa m}{\pi} \log\left(\frac{1+b}{1-b}\right). \quad (2.55)$$

Dadas las altas densidades de partículas y bajas temperaturas con las que estamos tratando, los segundos términos en las Ecs. (2.51) y (2.52) son despreciables. Asimismo, se puede demostrar que las magnetizaciones de vacío (Ecs. (2.54) y (2.55)) solo son relevantes para densidades de partículas bajas a campos muy altos, por lo que también pueden ser despreciadas. De manera que para una y tres dimensiones la magnetización queda igual a:

$$\mathcal{M} = \frac{\kappa m}{\varepsilon(0, B)} N = \frac{\kappa}{\sqrt{1-b}} N. \quad (2.56)$$

La expresión anterior no es más que el producto del momento magnético efectivo por la densidad de partículas y refleja el hecho de que a baja temperatura todas las partículas están en el estado de spin  $s = 1$ . No obstante, un incremento en el campo magnético aún aumenta la magnetización porque el momento magnético efectivo  $\kappa/\sqrt{1-b}$  crece con  $B$  y diverge cuando  $B \rightarrow B_c$  ( $b \rightarrow 1$ ). Nótese además que la magnetización es siempre positiva y diferente de cero incluso cuando  $B = 0$  ( $\mathcal{M}(B = 0) = \kappa N$ ). Esto es una evidencia del comportamiento ferromagnético del gas de bosones vectoriales neutros a baja temperatura. Este fenómeno, conocido como ferromagnetismo de Bose-Einstein [36], no es el resultado de una interacción entre los spines de las partículas, sino una consecuencia de la aparición de la condensación de Bose-Einstein, un estado en el cual todos los bosones tienen  $s = 1$ . El comportamiento descrito para la magnetización se muestra en el panel izquierdo de la Fig. 2.5.

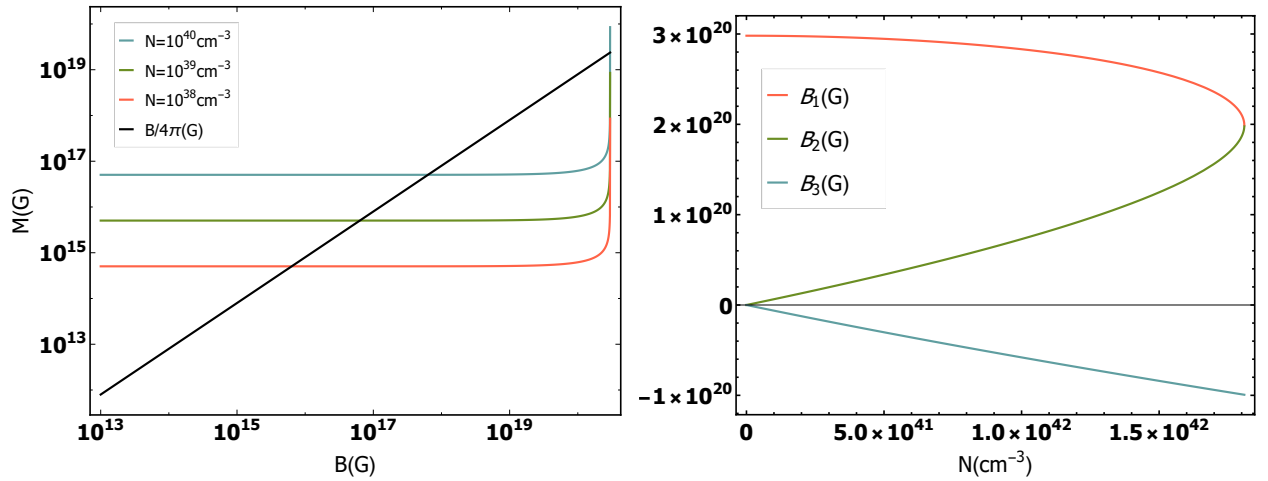


Figura 2.5: Panel izquierdo: La magnetización como función del campo magnético para varios valores de la densidad de partículas. En este gráfico también se ha trazado la curva  $B/4\pi$ . Panel derecho: Las tres soluciones de la ecuación de automagnetización como función de la densidad de partículas.

En la búsqueda de fuentes para los campos magnéticos astrofísicos, estamos ahora interesados en explorar si el sistema alcanza la condición de automagnetización, es decir, si la curva sólida en el panel izquierdo de la Fig. 2.5 interseca las curvas de la magnetización. Para ello consideraremos la ecuación  $H = B - 4\pi\mathcal{M}$  sin campo magnético externo  $H = 0$ , y resolvemos la ecuación de automagnetización:

$$B = 4\pi\mathcal{M}, \quad (2.57)$$

que en este caso es una ecuación cúbica en  $B$ :

$$B = \frac{4\pi\kappa}{\sqrt{1 - B/B_c}} N, \quad (2.58)$$

En el panel derecho de la Fig. 2.1 se muestran las tres soluciones de Ec. (2.58), pero solo una de ellas tiene sentido físico. Para una de las raíces, el campo magnético es negativo (línea azul), mientras

que para la otra el campo decrece con la densidad de partículas, alcanzando el valor  $B_c$  cuando  $N$  va a cero (línea roja). Esas soluciones implican ambas que la magnetización decrece con  $N$ , por tanto, ellas se contradicen con la Ec. (2.56) y deben ser desechadas. Por tanto, la única solución admisible para la ecuación de automagnetización es la dada por la línea verde. Los puntos de esta curva son los valores del campo magnético automantenido por el gas. No obstante, esta solución deviene compleja para densidades mayores que  $N_c = 1,81 \times 10^{42} \text{cm}^{-3}$ . En consecuencia,  $N_c$  acota los valores de la densidad de partículas para las cuales la automagnetización es posible. El campo máximo que puede ser sostenido por el gas corresponde a esta densidad crítica y es igual a  $2/3 \times B_c \sim 10^{20}$  G. Este límite es similar al obtenido para el gas de bosones vectoriales cargados [37]. Por otra parte, los valores de  $B \sim 10^{12} - 10^{18}$  G y  $N \sim 10^{38} \text{cm}^{-3}$  típicos de las ENs están en los rangos para los cuales la automagnetización del gas es posible.

## 2.4 Presiones anisotrópicas

Para calcular las presiones del gas partiremos del tensor de energía-momento de nuestro sistema. El tensor de energía-momento  $T_j^i$  es un tensor diagonal cuya parte espacial contiene a las presiones y la componente temporal a la densidad de energía interna  $E$ . A partir del potencial termodinámico  $T_j^i$  puede calcularse como:

$$T_j^i = \frac{\partial \Omega}{\partial a_{i,\lambda}} a_{j,\lambda} - \Omega \delta_j^i, \quad T_4^4 = -E, \quad (2.59)$$

donde  $a_i$  denota los campos presentes (fermiones, bosones, electromagnético, etc.) [111]. Para un potencial termodinámico que depende de un campo externo, la Ec.(2.59) conduce a términos de presión con la forma:

$$T_j^i = -\Omega - F_k^i \left( \frac{\partial \Omega}{\partial F_k^j} \right), \quad i = j. \quad (2.60)$$

Si teniendo en cuenta que el campo magnético está dirigido en la dirección  $\mathbf{e}_3$ , se calcula la presión a lo largo de cada una de las direcciones, la anisotropía se hace explícita:

$$P_{\parallel} = T_3^3 = -\Omega = -\Omega_{st} - \Omega_{vac}, \quad (2.61a)$$

$$P_{\perp} = T_1^1 = T_2^2 = -\Omega - BM = P_{\parallel} - BM. \quad (2.61b)$$

En el panel derecho de la Fig. 2.6 se muestran las presiones paralela y perpendicular como función del campo magnético (Ecs.(2.61)) para  $T = 1,5 \times 10^9 \text{K}$  y  $N = 10^{39} \text{cm}^{-3}$ . Mostramos además las contribuciones estadística y de vacío a la presión paralela. Los valores de la presión paralela y su parte estadística ( $-\Omega_{st}$ ) coinciden para  $B = 0$ , pero su comportamiento es diferente a medida que el campo magnético crece. Ambas son siempre positivas, pero la presión paralela total aumenta con el campo y tiende a la contribución del vacío  $-\Omega_{vac}$ , mientras que la parte estadística decrece y se va

a cero para  $B = B_c$  -cuando todas las partículas están en el condensado el gas no ejerce presión. Es importante resaltar que la presión paralela se mantiene diferente de cero gracias a la contribución de vacío.

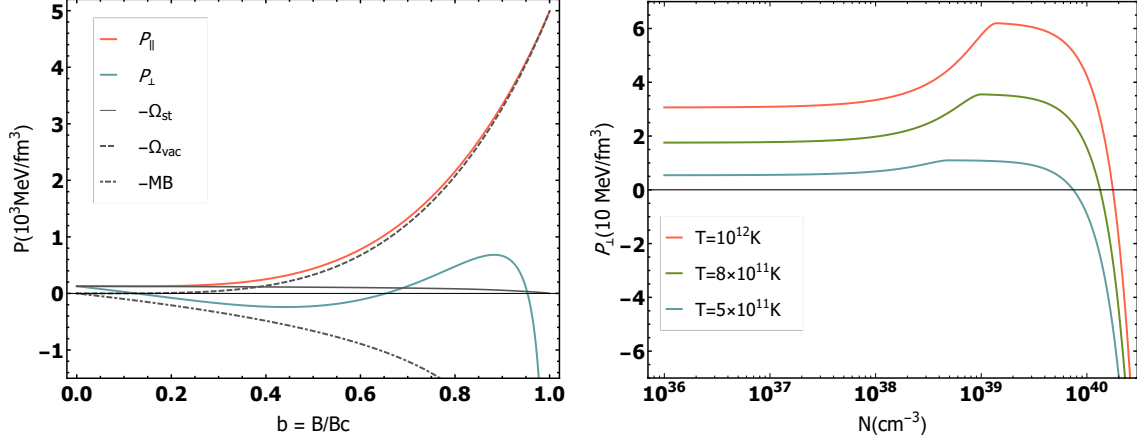


Figura 2.6: Panel izquierdo: Las presiones paralela (línea roja) y perpendicular (línea azul) como función del campo magnético para  $N = 10^{39} \text{cm}^{-3}$  y  $T = 1,5 \times 10^{12} \text{K}$ ; las contribuciones estadística (línea gris continua), de vacío (línea gris a rayas) y magnética (línea gris a puntos y rayas) a las presiones han sido también representadas. Panel derecho: La presión perpendicular del gas automagnetizado como función de la densidad de partículas para varios valores de la temperatura.

Por el contrario, la presión perpendicular (línea azul en el panel izquierdo de la Fig. 6) en dependencia del campo magnético puede alcanzar valores negativos. Esto sucede porque la contribución principal a  $P_{\perp}$  viene del término  $-MB$  que es siempre negativo y diverge en el campo crítico. Tener una presión negativa significa que el sistema se hace inestable. Como el efecto de una presión perpendicular negativa es empujar a las partículas hacia el eje del campo magnético, estaríamos en presencia de un colapso magnético transversal. Este tipo de colapso ha sido descrito previamente para gases fermiónicos [25, 29].

Que la presión perpendicular se haga negativa o no depende del campo magnético pero también de la temperatura y la densidad de partículas. Esto puede verse si examinamos en más detalle la presión para el gas automagnetizado. Para hacerlo sustituimos en  $P_{\perp}$  la solución de la condición de automagnetización  $B = 4\pi\mathcal{M}$ , y graficamos la presión perpendicular como función de la densidad de partículas para varios valores de  $T$  en el panel derecho de la Fig. 2.6. Si nos movemos de la zona de bajas densidades hacia la de densidades mayores, es posible apreciar que en un inicio aumentar  $N$  incrementa la presión paralela, pero esto también aumenta el campo autogenerado y  $T_{cond}$ . Una vez que  $T_{cond}$  supera la temperatura del gas, la presión disminuye porque una fracción de partículas pasa al condensado. Además, a medida que el campo magnético aumenta, la contribución a  $P_{\perp}$  del término magnético  $-MB$  es cada vez más relevante, de forma tal que seguir aumentando  $N$  hace al sistema inestable. Un decremento en la temperatura disminuye el valor de la densidad de partículas para el cual la inestabilidad aparece.

Cuando el gas no está automagnetizado, sino sometido a un campo magnético externo, aumentar la densidad de partículas continuamente también lleva al sistema a una inestabilidad. En este caso un aumento de  $N$  no aumenta el campo magnético, pero sí la magnetización y la temperatura crítica. Por tanto, el gas de bosones vectoriales neutro será inestable en dependencia de los valores de la temperatura, la densidad y el campo magnético, sea este autogenerado o no.

## 2.5 Conclusiones del capítulo

En este capítulo se obtuvo el espectro energético de un gas de bosones vectoriales neutros en interacción con un campo magnético uniforme y constante en el marco del formalismo de Proca [95,96]. En dicho espectro se encontró un acoplamiento entre el campo magnético y la componente del momento de las partículas que es perpendicular a la dirección de este. Este acoplamiento es similar al que aparece para bosones cargados, aunque en el caso que aquí nos ocupa la ausencia de la carga implica la no aparición de niveles de Landau. La energía del estado básico del sistema Ec. (2.9) resultó ser una función decreciente del campo magnético que se anula cuando este alcanza el valor crítico  $B_c = m/2k$ .

Una vez conocido el espectro calculamos el potencial termodinámico del gas de bosones vectoriales neutros y sus propiedades termodinámicas fueron estudiadas en una y tres dimensiones. Los resultados obtenidos durante este estudio arrojaron las siguientes conclusiones:

- Cuando la temperatura es lo suficientemente baja, el gas de bosones vectoriales neutros sufre una transición de fase al condensado de Bose-Einstein. En dependencia de si el gas es uni o tridimensional, esta transición es difusa o usual. En ambos casos la transición al condensado está determinada no solo por el decrecimiento de la temperatura o el aumento de la densidad de partículas, sino también por el aumento del campo magnético.
- La magnetización del gas es una cantidad positiva que crece con el campo magnético y diverge cuando  $B = B_c$  para ambos casos.
- Para densidades de partículas por debajo de cierto valor crítico,  $N_c \cong 1,81 \times 10^{42} \text{cm}^{-3}$ , la condición de automagnetización se satisface y el gas puede generar su propio campo magnético. El campo magnético máximo que puede ser alcanzado por automagnetización es  $2/3 \times B_c \sim 10^{20} \text{G}$ . Ambos valores críticos,  $N_c$  y  $B_c$ , están por encima de los valores máximos esperados para la densidad de partículas y el campo magnético en las ENs. Esto significa que la condición de automagnetización es alcanzable para los neutrones apareados en el interior de un EN.
- El cambio de simetría esférica a simetría axial provocado en el sistema por la presencia del campo magnético se manifiesta, además de en el espectro, en la separación de las presiones en una componente paralela y otra perpendicular al eje magnético, tal como ocurre para gases magnetizados fermiónicos [29].
- Cuando el campo magnético es débil, la presión ejercida por las partículas tiene el mayor peso en ambas componentes de la presión, que son iguales. En cambio, a medida que el campo magnético

se hace más fuerte, la presión paralela aumenta dominada por la presión del vacío, en tanto la presión perpendicular disminuye guiada por la presión magnética.

- Bajo ciertas condiciones de campo magnético, temperatura y densidad de partículas, la presión perpendicular se hace negativa y el sistema deviene inestable. Esto indica que el gas de bosones vectoriales neutros es susceptible de sufrir un colapso magnético transversal.

Todos estos fenómenos se dan para campos magnéticos, densidades de partículas y temperaturas en el orden de las típicas para las Estrellas de Neutrones, por lo que podrían ser relevantes en la descripción de su interior. Independientemente de ello, el estudio aquí presentado tiene un carácter general que va más allá de las aplicaciones astrofísicas, pues las conclusiones a las que hemos llegado son válidas para cualquier gas magnetizado de bosones vectoriales neutros y masivos.



## Capítulo 3

# Colapso magnético transversal en un gas $npe$ parcialmente bosonizado. Implicaciones astrofísicas

En este capítulo estudiaremos los efectos del campo magnético en la materia que forma el interior de las Estrellas de Neutrones, considerada esta como un gas  $npe$  parcialmente bosonizado. En particular, centraremos la atención en la posibilidad de que el colapso magnético y la automagnetización del gas se produzcan para las condiciones típicas del interior de estos objetos compactos. A partir de los resultados obtenidos en este estudio, se propone un modelo fenomenológico para la formación y mantenimiento de los *jets* astrofísicos originados en el interior de una ENs. Este capítulo comprende los resultados originales de la autora recogidos en [112].

### 3.1 Gas $npe$ parcialmente bosonizado

El interior de una Estrella de Neutrones está compuesto, al menos, por una mezcla de electrones ( $e$ ), neutrones ( $n$ ), protones ( $p$ ) -el gas  $npe$  [1, 5]-, y neutrones y protones apareados ( $nn$ ) y ( $pp$ ) respectivamente [18, 20, 23]. Si además estas partículas están bajo la acción de un campo magnético, este contribuye a la bosonización porque para  $B \neq 0$  la energía del estado básico de los bosones compuestos es menor que la de los nucleones no apareados, es decir  $\Delta\varepsilon = 2\varepsilon_F - \varepsilon_B > 0$ , donde las energías del estado básico de los fermiones  $\varepsilon_F$  y los bosones  $\varepsilon_B$  vienen dadas por:

$$\varepsilon_F = \begin{cases} \sqrt{m_F^2 + 2qB}, & \text{Fermiones cargados} \\ m_F - \kappa B, & \text{Fermiones neutros} \end{cases}, \quad (3.1)$$

$$\varepsilon_b = \begin{cases} \sqrt{m_B^2 - qB}, & \text{Bosones escalares cargados} \\ \sqrt{m_B^2 - 2m_B\kappa B}, & \text{Bosones vectoriales neutros} \end{cases}. \quad (3.2)$$

En las Ecs.(3.1) y (3.2),  $m_B$  y  $m_F$  denotan las masas del bosón y el fermión;  $q$  es la carga eléctrica. La Fig. 3.1, muestra a  $\Delta\varepsilon$  como función del campo magnético para neutrones (fermiones/bosones neutros) y protones (fermiones/bosones cargados).  $\Delta\varepsilon$  es siempre mayor que cero y aumenta con  $B$ .

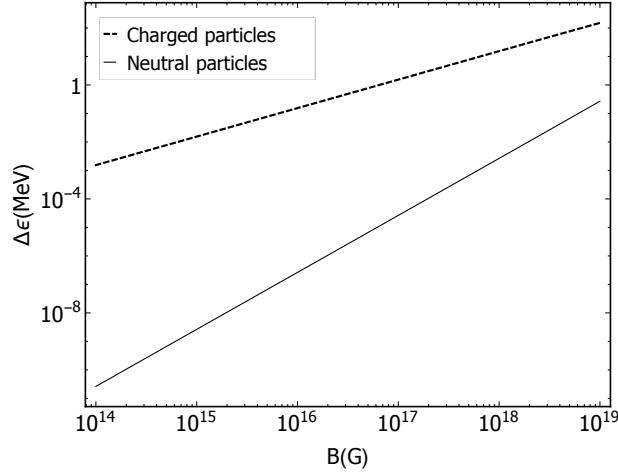


Figura 3.1: Diferencia entre la energía del estado básico de dos fermiones libres con respecto a la de dos fermiones apareados como función del campo magnético, para partículas cargadas y neutras.

La presencia del campo magnético en la estrella podría actuar como un desencadenante de la expulsión de la materia a través del colapso magnético transversal [37]. La condición de colapso magnético transversal viene dada por la condición

$$P_{\perp} = -\Omega - \mathcal{M}B \leq 0, \quad (3.3)$$

para uno o varios de los gases que componen la estrella.

Por otra parte, el campo magnético generado por la automagnetización de la materia expulsada podría colimarla evitando su dispersión y favoreciendo la formación del *jet*. En lo que sigue exploraremos ambas posibilidades para el gas *npe*, suponiendo este como una mezcla de gases ideales donde las partículas interactúan con el campo magnético pero no entre ellas.

La descripción termodinámica de cada uno de los gases de la mezcla se hará a través de las EdE que se obtienen de calcular sus potenciales termodinámicos Ec. (2.11) con los espectros correspondientes. En el caso de los electrones, los protones y los neutrones, las EdE de los gases magnetizados fueron tomadas de trabajos previos del grupo de investigación [30,31]. Los neutrones apareados serán descritos con los resultados del Capítulo 2 [32,38,97], mientras que las EdE del gas degenerado de bosones escalares cargados fueron calculadas específicamente por la autora para esta parte de la tesis (Apéndice D).

Para un gas de fermiones cargado (electrones y protones), las EdE en el límite de baja temperatura son [31]:

$$E^{e,p} = \frac{m_{e,p}^2}{4\pi^2} \frac{B}{B_c^{e,p}} \sum_{l=0}^{l_{max}} g_l \left( \mu^{e,p} p_F^{e,p} + \mathcal{E}_l^2 \ln \frac{\mu^{e,p} + p_F^{e,p}}{\mathcal{E}_l} \right), \quad (3.4a)$$

$$P_{\parallel}^{e,p} = \frac{m_{e,p}^2}{4\pi^2} \frac{B}{B_c^{e,p}} \sum_{l=0}^{l_{max}} g_l \left[ \mu^{e,p} p_F^{e,p} - \mathcal{E}_l^2 \ln \left( \frac{\mu^{e,p} + p_F^{e,p}}{\mathcal{E}_l} \right) \right], \quad (3.4b)$$

$$P_{\perp}^{e,p} = \frac{m_{e,p}^4}{2\pi^2} \left( \frac{B}{B_c^{e,p}} \right)^2 \sum_{l=0}^{l_{max}} g_l l \ln \left( \frac{\mu^{e,p} + p_F^{e,p}}{\mathcal{E}_l} \right), \quad (3.4c)$$

$$\mathcal{M}^{e,p} = \frac{m_{e,p}^2}{4\pi^2 B_c^{e,p}} \sum_{l=0}^{l_{max}} g_l \left[ \mu^{e,p} \mathcal{E}_l - \mathcal{E}_l \ln \left( \frac{\mu^{e,p} + \mathcal{E}_l}{\mathcal{E}_l} \right) \right], \quad (3.4d)$$

$$N^{e,p} = \frac{m_{e,p}^2}{4\pi^2} \frac{B}{B_c^{e,p}} \sum_{l=0}^{l_{max}} 2g_l p_F^{e,p}. \quad (3.4e)$$

En las Ecs. (3.4) los índices  $e$  y  $p$  hacen referencia a los electrones y los protones respectivamente;  $l$  denota los niveles de Landau y  $g_l = 2 - \delta_{0,l}$  su degeneración;  $l_{max} = I[\frac{\mu^2 - m^2}{2qB}]$  e  $I[z]$  es la parte entera de  $z$ . El momento de Fermi es  $p_F^{e,p} = \sqrt{(\mu^{e,p})^2 - \mathcal{E}_l^2}$ , el espectro viene dado por  $\mathcal{E}_l = \sqrt{2|q^{e,p}B|l + m_{e,p}^2}$  y  $B_c^{e,p} = m_{e,p}^2/q^{e,p}$ .

Las EdE del gas magnetizado de neutrones (fermiones neutros con momento magnético) en cambio tienen la forma [30]:

$$E^n = -P_{\parallel}^n + \mu^n N^n, \quad (3.5a)$$

$$P_{\parallel}^n = \frac{m_n^4}{2\pi^2} \sum_{\eta=1,-1} \left\{ \frac{\mu^n f^3}{12m_n} + \frac{(1 + \eta b^n)(5\eta b^n - 3)\mu^n f}{24m_n} + \frac{(1 + \eta b^n)^3 L}{24} - \frac{\eta b^n (\mu^n)^3 s}{6m_n^3} \right\}, \quad (3.5b)$$

$$P_{\perp}^n = P_{\parallel}^n - \mathcal{M}^n B, \quad (3.5c)$$

$$\mathcal{M}^n = \frac{m_n^3 \kappa_n}{2\pi^2} \sum_{\eta=1,-1} \eta \left\{ \frac{(1 - 2\eta b^n)}{6} f + \frac{(1 + \eta b^n)^2 (1 - \eta b^n / 2)}{3} L - \frac{(\mu^n)^3}{6m_n^2} s \right\}, \quad (3.5d)$$

$$N^n = \frac{m_n^3}{2\pi^2} \sum_{\eta=1,-1} \left\{ \frac{f^3}{3} + \frac{\eta b^n (1 + \eta b^n)}{2} f - \frac{\eta b^n (\mu^n)^2}{2m_n^2} s \right\}, \quad (3.5e)$$

donde  $n$  denota las cantidades pertenecientes a los neutrones y  $b^n = B/B_c^n$  con  $B_c^n = m_n/\kappa_n$ , siendo  $m_n$  y  $\kappa_n$ , la masa y el momento magnético del neutrón. Las funciones  $f$ ,  $L$  y  $s$  se definen como:

$$f = \frac{(\mu^n)^2 - (\varepsilon^n(\eta))^2}{m_n}, \quad (3.6)$$

$$L = \frac{1}{1 + \eta b^n} \ln \left( \frac{\mu^n + \sqrt{(\mu^n)^2 - \varepsilon^n(\eta)^2}}{m_n} \right), \quad (3.7)$$

$$s = \frac{\pi}{2} - \frac{m_n}{\mu^n} \arcsin(1 + \eta b^n), \quad (3.8)$$

con  $\varepsilon^n(\eta) = m_n + \eta \kappa_n B$ .

Para obtener las EdE del gas de bosones escalares cargados (protones apareados  $pp$ ) se siguió el mismo procedimiento mostrado en el Capítulo 2 para los bosones vectoriales neutros. Los detalles del cálculo del potencial termodinámico correspondiente (Ec. (3.10)) se muestran en el Apéndice D. Las EdE obtenidas en los regímenes de campo débil (**CD**)  $T > m_{pp} b^{pp}$  y campo fuerte (**CF**)  $T < m_{pp} b^{pp}$  son:

$$E^{pp} = \begin{cases} \varepsilon^{pp} N^{pp} - \frac{3}{2} \Omega^{pp}, & \mathbf{CD} \\ \varepsilon^{pp} N^{pp} - \frac{1}{2} \Omega^{pp}, & \mathbf{CF} \end{cases}, \quad (3.9a)$$

$$P_{\parallel}^{pp} = -\Omega^{pp}, \quad (3.9b)$$

$$P_{\perp}^{pp} = P_{\parallel}^{pp} - \mathcal{M}^{pp} B, \quad (3.9c)$$

$$\mathcal{M}^{pp} = -\frac{q^{pp}}{2\varepsilon^{pp}} N^{pp}, \quad (3.9d)$$

$$N^{pp} = \begin{cases} \frac{3(\varepsilon^{pp})^{3/2} Li_{3/2}(e^{\beta(\mu^{pp} - \varepsilon^{pp})})}{(2\pi\beta)^{3/2}}, & \mathbf{CD} \\ \frac{3m_{pp}^2 b^{pp} (\varepsilon^{pp})^{1/2} Li_{1/2}(e^{\beta(\mu^{pp} - \varepsilon^{pp})})}{(2\pi)^{3/2} \beta^{1/2}}, & \mathbf{CF} \end{cases}, \quad (3.9e)$$

En las Ecs. (3.9),  $\varepsilon^{pp} = m_{pp} \sqrt{1 + b^{pp}}$ ,  $b^{pp} = B/B_c^{pp}$ ,  $B_c^{pp} = m_{pp}^2/q$ ,  $q$  es la carga eléctrica de los bosones y:

$$\Omega^{pp} = \begin{cases} -\frac{3(\varepsilon^{pp})^{3/2} Li_{5/2}(e^{\beta(\mu^{pp} - \varepsilon^{pp})})}{(2\pi)^{3/2} \beta^{5/2}}, & \mathbf{CD} \\ -\frac{3m_{pp}^2 b^{pp} (\varepsilon^{pp})^{1/2} Li_{3/2}(e^{\beta(\mu^{pp} - \varepsilon^{pp})})}{(2\pi)^{3/2} \beta^{3/2}}, & \mathbf{CF} \end{cases}, \quad (3.10)$$

con:

$$\mu^{pp} = \begin{cases} -\frac{\zeta(3/2)T}{4\pi} \left[ 1 - \left( \frac{T^{pp}}{T_{cond}} \right)^{3/2} \right] \Theta(T - T_{cond}), & \mathbf{CD} \\ \varepsilon^{pp} \left( 1 - \frac{m_{pp}^4 (b^{pp})^2 T^2}{8\pi^2 (N^{pp})^2} \right), & \mathbf{CF} \end{cases}, \quad (3.11)$$

$$T_{cond}^{pp} = \frac{2\pi}{\varepsilon^{pp}} \left( \frac{N^{pp}}{3\zeta(3/2)} \right)^{2/3}. \quad (3.12)$$

$T_{cond}^{pp}$  es la temperatura de condensación de los protones apareados,  $Li_k(x)$  la función polilogarítmica de orden  $k$  y  $\zeta(x)$  es la función zeta de Reimann. Nótese que la Ec. (3.9e) implica que la magnetización de los bosones cargados escalares es siempre negativa [100]. Por tanto la presión transversal de este gas nunca será cero y los pares de protones nunca sufrirán un colapso magnético transversal.

Como los neutrones apareados se describen en función de los resultados del capítulo previo, sus EdE vienen dadas por las Ecs. (2.29), (2.56) y (2.61). En el caso de los fermiones se ha tomado el límite de temperatura cero pero para los bosones trabajaremos a temperatura finita ya que ellos son más sensibles a los cambios de esta magnitud.

Las cantidades termodinámicas totales de la mezcla de gases, en particular las presiones totales,  $P_{\parallel}^T$  y  $P_{\perp}^T$ , la magnetización total  $\mathcal{M}^T$  y la densidad de energía total  $E^T$ , se calculan como la suma de las contribuciones de cada gas:

$$P_{\parallel}^T = \sum_{i=e,p,n,pp,nn} P_{\parallel}^i, \quad (3.13a)$$

$$P_{\perp}^T = \sum_{i=e,p,n,pp,nn} P_{\perp}^i, \quad (3.13b)$$

$$\mathcal{M}^T = \sum_{i=e,p,n,pp,nn} \mathcal{M}^i, \quad (3.13c)$$

$$E^T = \sum_{i=e,p,n,pp,nn} E^i. \quad (3.13d)$$

Nuestro modelo requiere imponer la cantidad de fermiones que están bosonizados. Llamaremos  $x_n$  y  $x_p$  a la fracción de neutrones y protones bosonizados respectivamente. Esta fracción depende, en principio, de la densidad, la temperatura y la fortaleza de la interacción entre los fermiones. No obstante, la forma explícita de esta dependencia es difícil de predecir debido a las condiciones tan distintas que tienen los escenarios astrofísicos con respecto a aquellas en la cuales se llevan a cabo los experimentos terrestres. Por ello, en este trabajo las fracciones  $x_n$  y  $x_p$  serán tomadas como parámetros libres e iguales entre sí,  $x_n = x_p = 0,5$ , a menos que se indique lo contrario.

Consideraremos además que el gas *npe* parcialmente bosonizado se encuentra en condiciones de equilibrio estelar, es decir, que el número bariónico  $N^n + N^p$  se conserva (equilibrio  $\beta$ ) y que el gas es neutro  $N^p = N^e$ . En dichas condiciones, el equilibrio  $\beta$  conduce además a que, dada una densidad de neutrones  $N^n$ , la fracción de electrones y protones es [4, 43]:

$$\frac{N^{e,p}}{N^n} = \frac{1}{8} \left( \frac{1 + 4Q/(m_n y_n^2) + 4(Q^2 - m_e^2)/(m_n^2 y_n^2)}{1 + 1/y_n^2} \right)^{3/2} \quad (3.14)$$

donde  $m_n$ ,  $m_p$  y  $m_e$  son las masas del neutrón, el protón y el electrón respectivamente,  $Q = m_n - m_p$ ,  $y_n = p_F^n/m_n$  y  $p_F^n = m_n(f(\eta = 1) + f(\eta = -1))/2$  es el momento de Fermi de los neutrones. La fracción de protones y electrones (3.14) depende de la intensidad del campo magnético a través de  $p_F^n$ . Esta dependencia puede apreciarse en la Fig. 3.2, donde se ha graficado la Ec. (3.14) como función de la densidad de masa de los neutrones  $\rho = m_n N^n$  para varios valores de  $B$ . Aumentar el campo mueve el mínimo de la fracción protón/electrón hacia la izquierda y, en consecuencia, en la región de altas densidades, mientras mayor sea el campo, mayor será dicha fracción.

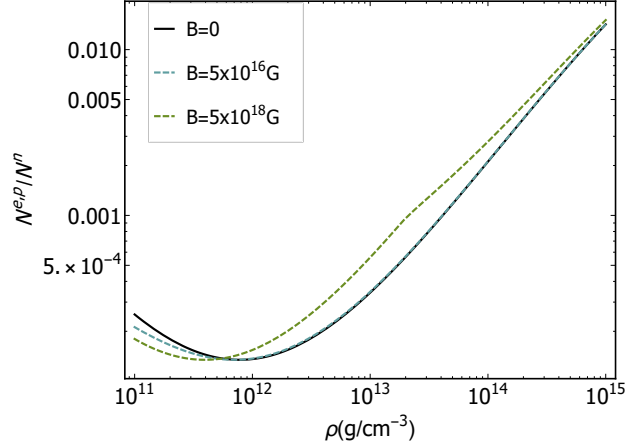


Figura 3.2: Fracción de protones y electrones como función de la densidad de masa de los neutrones para varios valores del campo magnético.

### 3.2 Colapso magnético transversal: expulsión de materia hacia el exterior de la estrella

Como ya hemos visto, el colapso magnético de un gas consiste en que alguna de sus presiones se haga negativa. En el caso de que la presión que deviene negativa es la perpendicular al eje magnético, las partículas del gas son empujadas hacia él dando lugar a la formación de una estructura alargada y axisimétrica con forma de cigarro. De ahí nuestra propuesta de que la razón de la expulsión de masa de la estrella se debe al colapso magnético transversal de al menos uno de los gases que la componen.

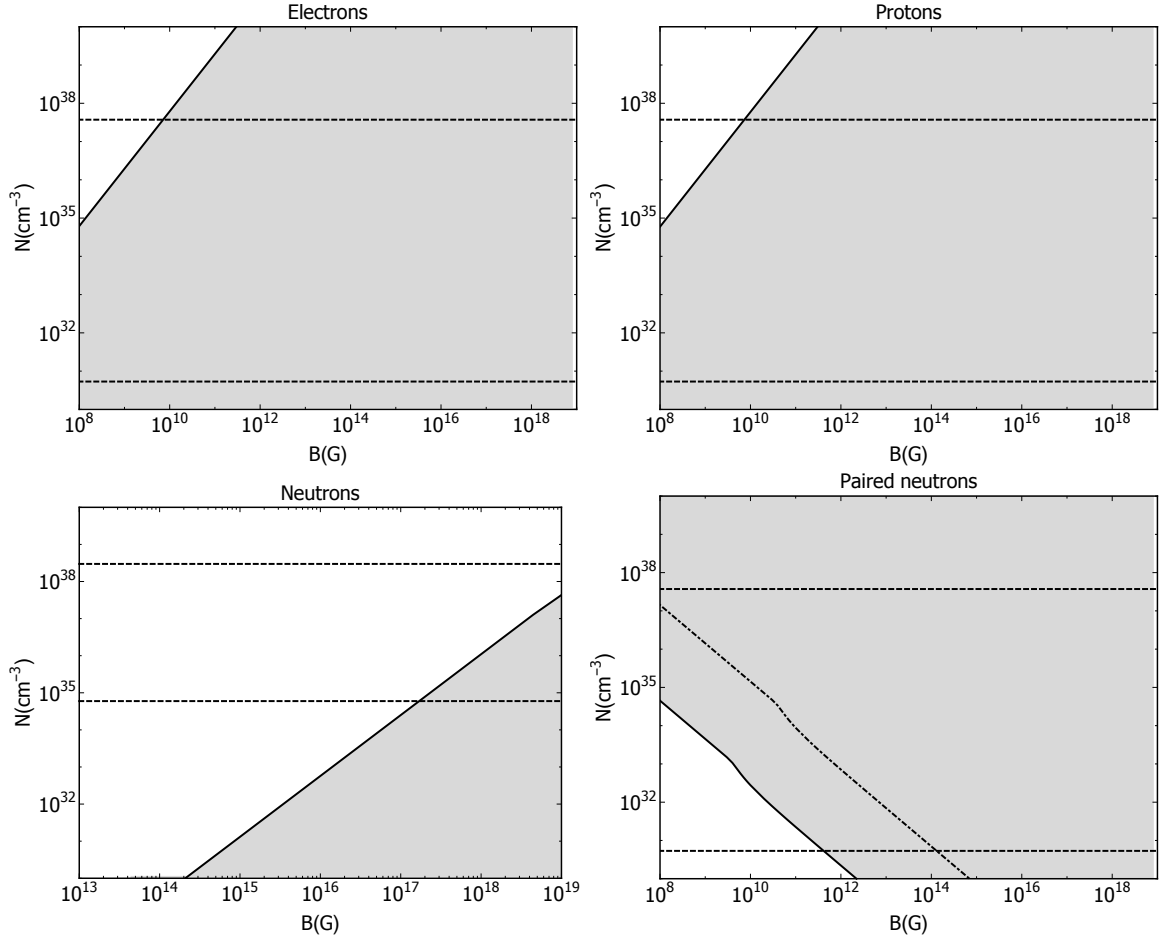


Figura 3.3: Diagramas de fase para el colapso magnético transversal de electrones, protones, neutrones y neutrones apareados en el interior de una EN. En la región sombreada  $P_{\perp}(B, N) < 0$  y el gas es inestable. Las líneas horizontales delimitan el rango en el que se encuentra la densidad de cada partícula en el interior de la EN.

Para evaluar la plausibilidad de esta propuesta el primer paso es comprobar que, efectivamente, el colapso magnético transversal puede producirse en el interior de la EN. Dado que la condición para que dicho colapso se produzca es que la presión perpendicular de los gases sea nula, en la figura Fig. 3.3 se han dibujado las curvas sobre las cuales  $P_{\perp}^i(B, N) = 0$  para  $i = n, p, e, nn$ . La zona sombreada corresponde a los valores de densidad y campo para los cuales  $P_{\perp}^i < 0$  y el gas es inestable. Las líneas horizontales delimitan el rango en el que se mueve de la densidad de cada partícula en el interior de la EN.

Para electrones, protones y neutrones, dado un campo magnético, hay una densidad de partículas crítica por debajo de la cual el gas es inestable. Esto es consecuencia de que aumentar la densidad de un sistema fermiónico aumenta su presión estadística, lo que ayuda a equilibrar la presión magnética

$(-MB)$  y estabiliza el gas. Las densidades críticas de electrones y protones son del orden de las esperadas para estos fermiones en estrellas de neutrones (las líneas verticales discontinuas) y, en particular, para campos magnéticos de más de  $10^{10}$  G son siempre más grandes. Para los neutrones, en cambio, la densidad crítica es varios órdenes menor que los estimados para la corteza y el núcleo de las EN, salvo cuando el campo magnético es muy alto ( $B \geq 5 \times 10^{17}$  G). De esta manera, la posibilidad de que ocurra el colapso magnético transversal queda confirmada para los gases de fermiones.

En el caso de los neutrones apareados, el diagrama de fases se invierte, el gas es estable por debajo de la densidad de partículas crítica. Esto se debe a que aumentar la densidad un gas de bosones vectoriales incrementa su magnetización a la vez que favorece la aparición del condensado de Bose-Einstein, lo que disminuye la presión estadística y desestabiliza el gas. Por otra parte, la densidad de partículas crítica de los neutrones apareados es bastante sensible a la temperatura, como muestra el panel inferior derecho de la Fig. 3.3. En este gráfico la curva  $P_{\perp}^{mn}(B, N) = 0$  se muestra para dos temperaturas,  $10^8$  K (línea sólida) y  $10^9$  K (línea punteada). Las densidades críticas de los neutrones apareados también están en el orden de las esperadas en el interior de una EN, en particular para  $B \geq 10^{12}$  G. Por tanto, la posibilidad del colapso del gas de neutrones apareados también queda confirmada. De hecho, nótese que el régimen de colapso es el mas probable para ellos en el interior de la estrella.

El diagrama de fases del colapso de los protones apareados no se muestra porque el gas de bosones escalares que ellos forman es diamagnético,  $\mathcal{M} < 0$ , como puede verse de la Ec. (3.9e) y ya discutimos con anterioridad. En consecuencia, la presión magnética en lugar de disminuir, aumenta la presión perpendicular. Por tanto para este gas el colapso magnético transversal no puede ocurrir.

De modo que todos los componentes del gas *npe* parcialmente bosonizado, excepto los protones apareados, son susceptibles de colapsar en las condiciones internas de una EN. En un gas *npe* la presión que sostiene la estrella es la presión del gas degenerado de neutrones [1], por tanto, cuando los neutrones están en régimen de colapso el gas *npe* se vuelve inestable. Como estamos interesados en la expulsión de materia hacia el exterior de la EN en lo que sigue trabajaremos para campos magnéticos tales que el gas de neutrones sea estable y supondremos que las condiciones para el colapso del resto de los gases son locales en el interior de la estrella.

### 3.2.1 ¿Pueden los gases colapsados superar la gravedad?

En la sección anterior encontramos los candidatos a producir la expulsión de materia hacia el exterior de la EN. Ellos son los gases de electrones, protones y neutrones bosonizados. Sin embargo, para que la expulsión de materia se produzca es necesario que los gases colapsados ejerzan a lo largo de la dirección del campo magnético una presión mayor que la presión gravitacional en la estrella. Para evaluar si esto puede suceder o no, compararemos las presiones paralelas de los gases colapsados con la presión gravitacional media  $P_{GAV}$  para una estrella con masa típica de las ENs,  $M = 1,5M_{\odot}$ , en el límite de compacidad relacionado con la tercera cota teórica presentada en el capítulo introductorio.

El límite de compacidad de un objeto compacto es una de las pocas soluciones analíticas de las ecuaciones TOV y se obtiene al resolverlas suponiendo que la densidad de energía ( $E$ ) de la estrella es constante [43]. En este límite el radio de la estrella  $R$  y la presión en su interior pueden obtenerse

de manera analítica como función de la masa total de la estrella y de su densidad de energía [43]:

$$R = \frac{1}{3P_c + E} \sqrt{\frac{3P_c(P_c + 2E)}{GE}} \quad (3.15a)$$

$$P(r) = E \frac{\sqrt{1 - 2GM/R} - \sqrt{1 - 2GMr^2/R^3}}{\sqrt{1 - 2GMr^2/R^3} - 3\sqrt{1 - 2GM/R}}, \quad (3.15b)$$

donde  $G$  es la constante de gravitación universal y  $r$  el radio interno de la estrella. La densidad (constante) de energía dentro de la estrella  $E$  y la la presión central de la estrella  $P_c$  son tomadas de las EdE del gas  $npe$  parcialmente bosonizado Eqs. (3.13). Dadas las Ecs. (3.15) la presión media en el interior de la estrella es:

$$P_{GAV} = \frac{1}{R} \int_0^R P(r) dr. \quad (3.16)$$

En la Fig. 3.4 se muestra la comparación de  $P_{GAV}$  con las presiones paralelas de los gases de electrones, protones y neutrones apareados. Al hacerlo se ha garantizado que estos gases se encuentren en régimen de colapso. En la figura se aprecia que para campos magnéticos relativamente bajos  $P_{GAV}$  puede ser superada por la presión paralela de los electrones y protones que se encuentran en el núcleo de la estrella ( $\rho > \rho_{nuc}$ ). No obstante, a medida que el campo magnético aumenta las presiones de los gases fermiónicos disminuyen llegando a ser menores que  $P_{GAV}$ .

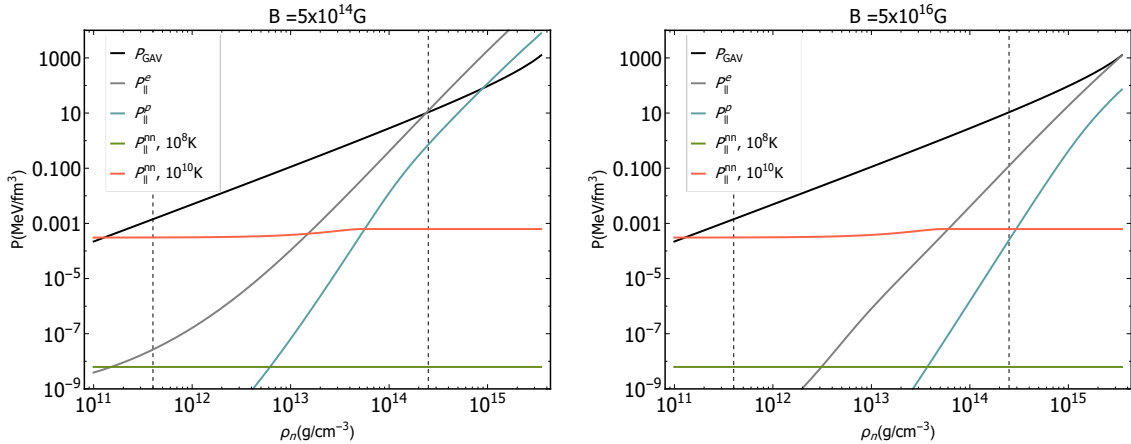


Figura 3.4: La presión perpendicular de los gases de electrones, protones y neutrones bosonizados en función de la densidad de masa neutrónica en el interior de la estrella. Las líneas verticales señalan las densidades en las que comienzan la corteza y el núcleo respectivamente.

El gas de neutrones apareados solo puede superar a  $P_{GAV}$  para temperaturas relativamente altas ( $10^{10}$ K) y densidades de masa del orden de  $10^{11}$ g/cm<sup>3</sup>, que se corresponden con las regiones exteriores de la estrella, en particular, con la corteza. Pero como se vio en el Capítulo 1, el apareamiento con

spin paralelo de los neutrones solo se da en el núcleo de la estrella, por lo cual no es probable encontrar estos bosones vectoriales en sus capas más externas.

Por tanto, en las condiciones adecuadas de campo magnético y densidad de partículas, solo los gases colapsados de electrones y protones que se encuentran en el núcleo de la EN podrían superar la gravedad y desencadenar la expulsión de la materia. Esto es consistente con ciertas observaciones que indican que los *jets* cuya fuente es un OC se originan cerca de su centro y no en sus capas externas [33,34].

Para los cálculos que siguen supondremos que la composición de la materia expulsada es similar a la de la EN, es decir, que también está formada por un gas *npe* parcialmente bosonizado, pero en el cual hay al menos un gas colapsado.

### 3.3 Forma del chorro y estabilidad: generación del campo magnético

Una vez que la materia deja a la estrella y forma el *jet*, surge una pregunta: ¿por qué permanece colimada en lugar de dispersarse? En nuestro modelo, la forma alargada del *jet* podría explicarse si uno o varios de los gases que lo forman continuara en régimen de colapso, disminuyendo así la presión perpendicular con respecto a la paralela y ayudando a la gravedad a comprimir la materia hacia el eje del chorro. Pero esto solo es posible si el campo magnético en el *jet* es tan intenso como el de la EN. Desde el punto de vista observacional, ha sido demostrado que el campo magnético del chorro está en el orden del campo magnético de su fuente y alineado con el eje del *jet* [34,83]. Por tanto, ahora la pregunta es si la mezcla de gases que estamos proponiendo como modelo para la composición del chorro puede permanecer magnetizada una vez que abandona la estrella.

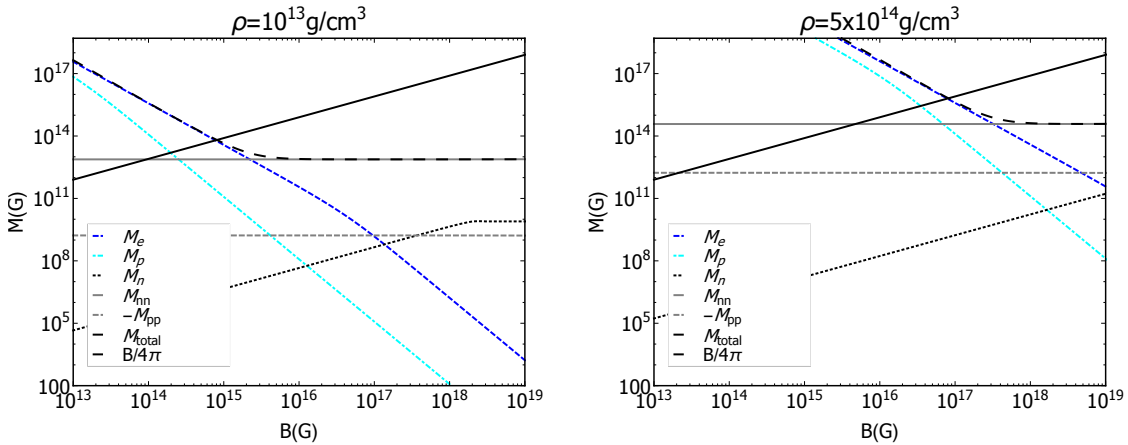


Figura 3.5: La magnetización del gas *npe* parcialmente bosonizado, así como el aporte que a esta hacen cada uno de sus componentes, como función del campo magnético, para dos densidades de masa neutrónica distintas.

La Fig. 3.5 muestra la magnetización del gas *npe* parcialmente bosonizado como función del campo magnético para dos densidades de masa neutrónica distintas. Además, mostramos la línea

$B/4\pi$ , debido a que la condición para la automagnetización es  $\mathcal{M} = B/4\pi$ . La magnetización total de la mezcla de gases está dominada por la magnetización de los electrones para los campos magnéticos más bajos, y por la de los neutrones apareados para los más altos. La magnetización de los otros gases está varios órdenes por debajo de estas dos. En cuanto a la automagnetización del gas, esta es posible, pues la línea  $B/4\pi$  interseca a la curva de la magnetización.

El campo autogenerado por el gas *npe* parcialmente bosonizado fue calculado y se muestra en la Fig. 3.6. Los valores de  $B_{SG}$  son lo suficientemente altos ( $\geq 10^{13}$  G) como para mantener a los gases que forman el chorro en régimen de colapso. Por tanto, que el campo magnético del *jet* continúe siendo tan alto como el de su fuente al alejarse de ella, puede ser justificado por la automagnetización del gas que lo compone.

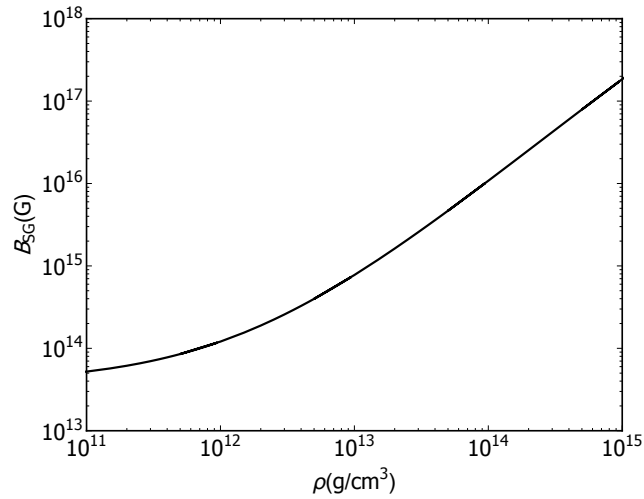


Figura 3.6: El campo magnético autogenerado por el gas *npe* parcialmente bosonizado como función de la densidad de masa neutrónica.

### 3.4 Ecuaciones de estado de la materia colimada

Una vez comprobado que el colapso magnético transversal es un mecanismo válido para la expulsión de materia hacia el exterior de la estrella de neutrones, y que la materia expulsada puede producir un campo magnético tal que la mantenga colimada, es posible obtener ecuaciones de estado para el *jet* y estudiar cómo dependen las presiones con la densidad de masa y el campo magnético. Aunque estamos suponiendo que la composición del *jet* es la misma que la de la EN donde se origina, cabría esperar que las proporciones de cada uno de los gases de la mezcla fuera distinta dadas las diferencias geométricas del *jet* con la estrella.

La Fig. 3.7 recoge estas dependencias para las presiones del *jet*. El panel superior muestra la presión perpendicular del gas *npe* parcialmente bosonizado en régimen de colapso, así como la aportación a ella de cada uno de los gases. Las presiones de los gases colapsados no aparecen porque son negativas y el gráfico es logarítmico. Como puede apreciarse  $P_{\perp}^T$  está dominada completamente por la presión del gas

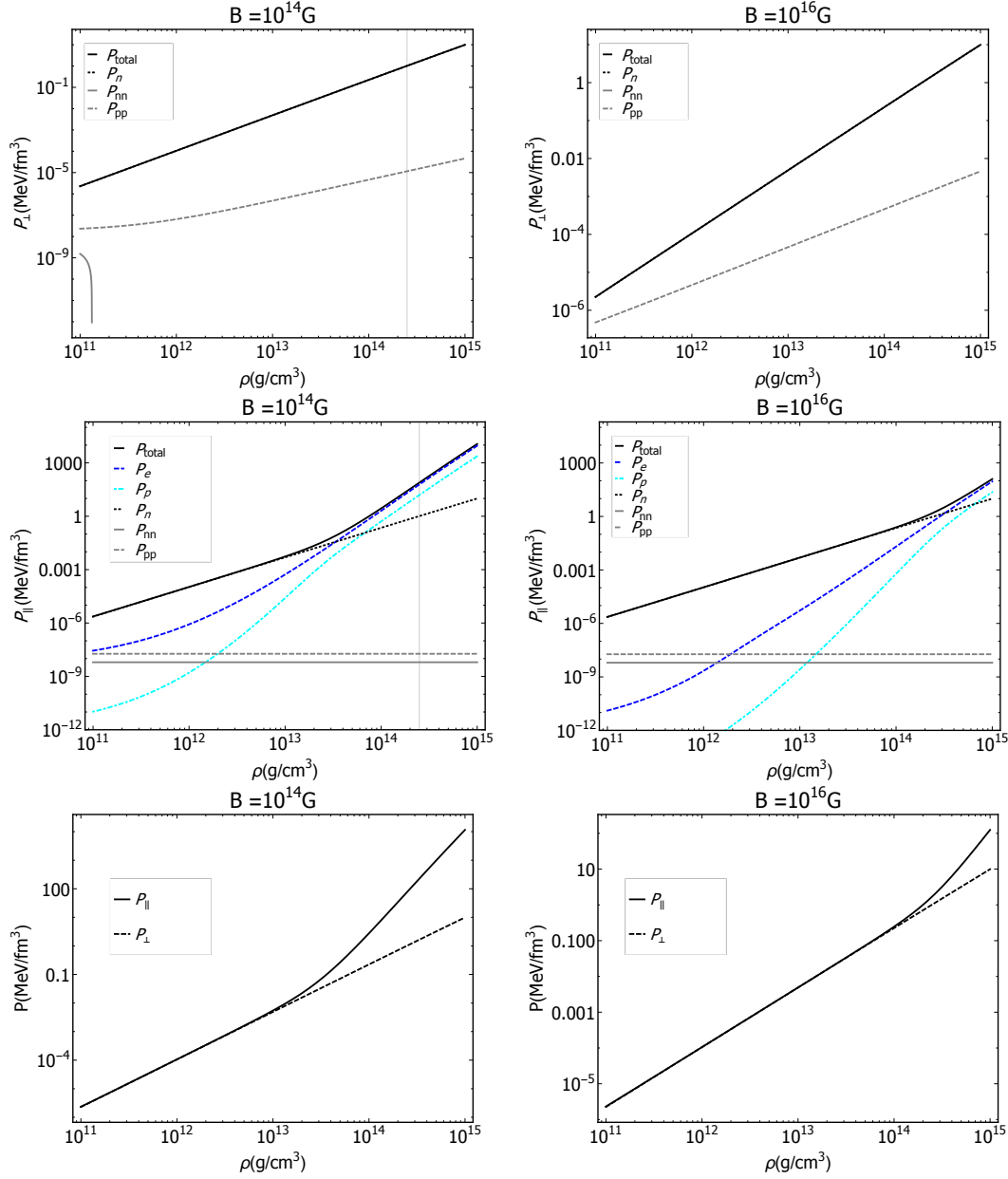


Figura 3.7: Paneles superiores: Las presiones paralela y perpendicular total del *jet* y sus componentes, como función de la densidad de masa de neutrones para varios valores de  $B$ . Panel inferior: Las dos presiones totales en un mismo gráfico a fin de apreciar mejor las diferencias entre ellas.

de neutrones. Lo mismo sucede, en la región de bajas densidades, con  $P_{\parallel}^T$  (paneles intermedios). Por el contrario, para las densidades más altas y los campos magnéticos más bajos,  $P_{\parallel}^T$  está determinada por las presiones paralelas de los gases colapsados de electrones y protones, que son considerablemente

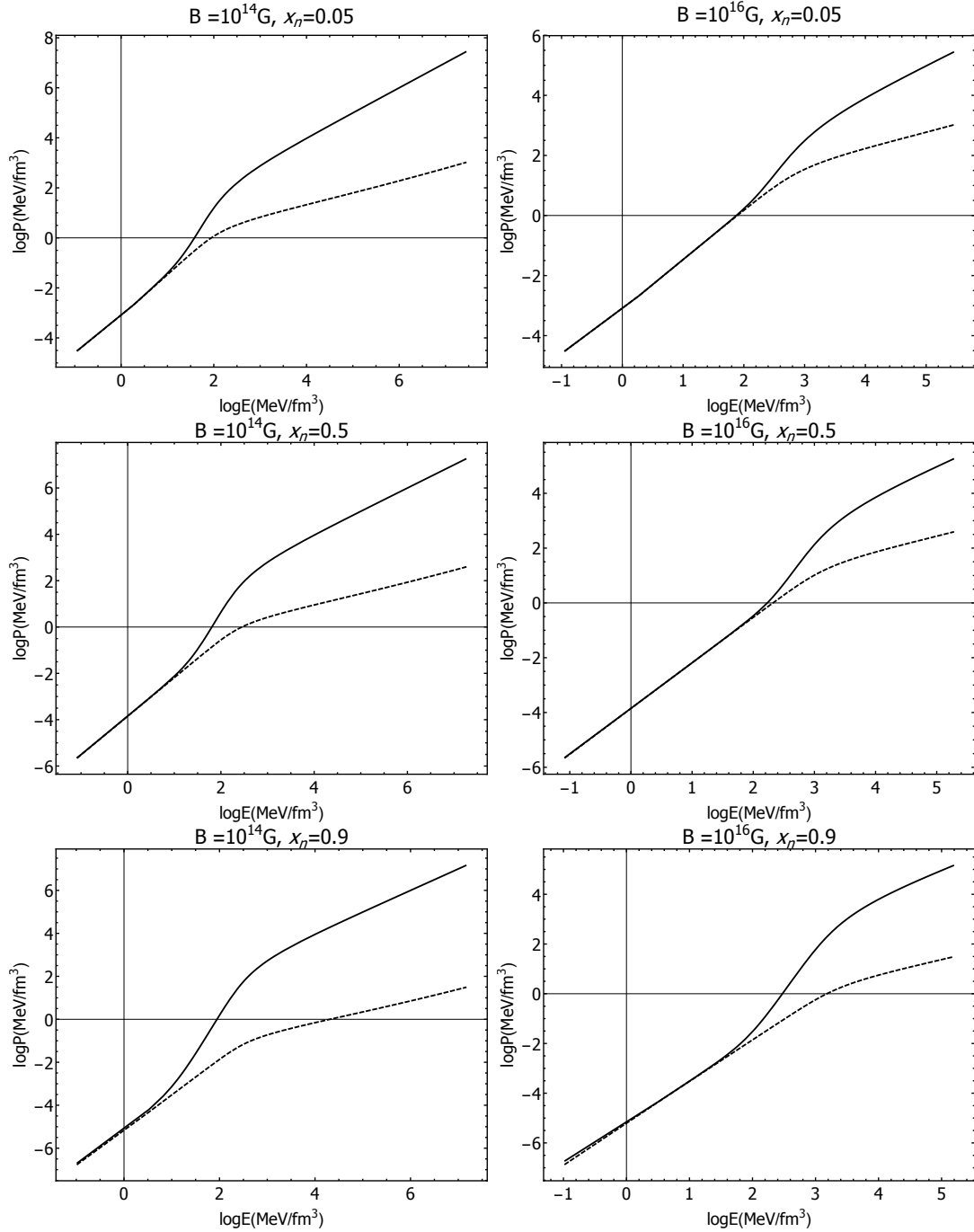


Figura 3.8: Las presiones paralela y perpendicular total del *jet* y sus componentes, como función de la densidad de masa de neutrones para varios valores de  $B$  y de la fracción de nucleones bosonizada.

mayores que la presión del gas de neutrones, llegando a ser la diferencia entre las dos presiones de hasta dos órdenes de magnitud.

Para que las ecuaciones de estado que estamos proponiendo puedan describir realmente al *jet*, las densidades de masa neutrónica en su interior deben estar en la zona en que las presiones son anisotrópicas, de manera que el objeto resultante se aleje de la forma (cuasi-)esférica de una estrella. La densidades para las que aparece la anisotropía así como la diferencia entre las presiones dependen también de la fracción de nucleones bosonizados, como muestra la Fig. 3.8. Nótese que aumentar la fracción de nucleones bosonizados disminuye la presión perpendicular. Esto quiere decir que quizás la clave para construir EdE altamente anisotrópicas partiendo del gas *npe* radique en suponerlo muy bosonizado.

La densidad de energía interna del *jet* se muestra en la Fig. 3.9. Si bien en el caso de las presiones la influencia de los gases bosónicos era despreciable, ellos son relevantes a la hora de calcular la densidad de energía del chorro de materia, y por tanto su presencia será, al igual que la de los neutrones crucial a la hora de calcular el equilibrio gravitacional del *jet*.

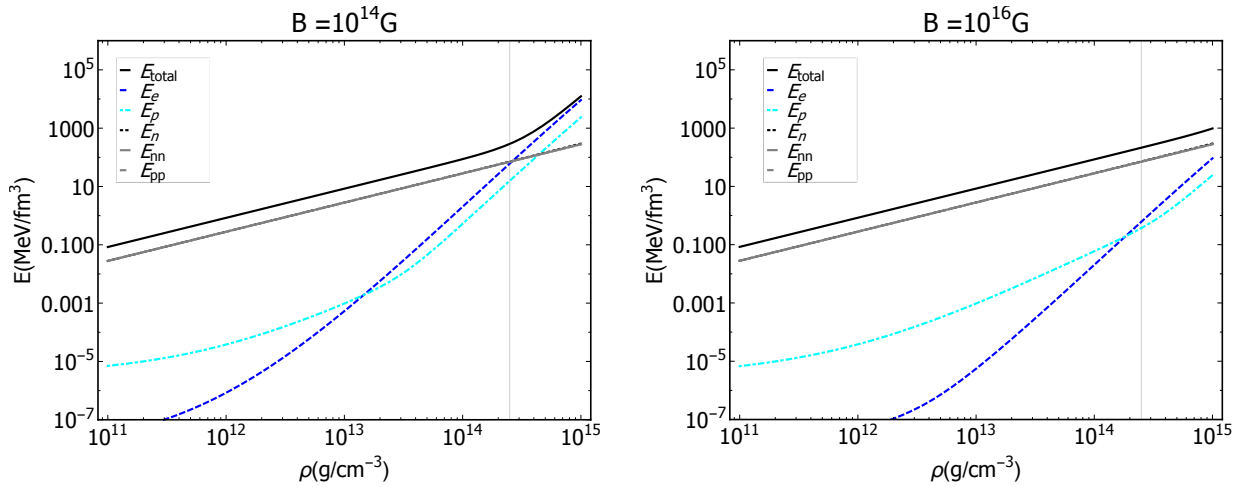


Figura 3.9: La densidad de energía total del *jet* y sus componentes, como función de la densidad de masa de neutrones para varios valores de  $B$ .

### 3.5 Conclusiones del capítulo

En este capítulo hemos estudiado los efectos del campo magnético en la estabilidad de la materia que forma el interior de las Estrellas de Neutrones, considerada esta como un gas *npe* parcialmente bosonizado. En las condiciones de campo magnético y densidad de partículas existentes en el interior de las ENs encontramos que:

- Los gases de electrones, protones, neutrones y neutrones apareados son susceptibles de sufrir un colapso magnético transversal, mientras que el gas de protones apareados es siempre estable.

- Dadas las condiciones adecuadas de campo magnético y densidad de partículas, los gases de electrones y protones en régimen de colapso magnético podrían superar la gravedad y desencadenar la expulsión de materia hacia el exterior de la estrella.
- La materia en régimen de colapso puede automagnetizarse y producir un campo magnético lo suficientemente intenso como para mantener a los gases colimados.

Los resultados aquí obtenidos validan el mecanismo propuesto para la producción y mantenimiento de los jets astrofísicos que se basa en las propiedades de los gases cuánticos fuertemente magnetizados. Las EdE de la materia que forma el *jet* fueron estudiadas suponiendo que, dado que el *jet* proviene de una estrella de neutrones, este se compone de un gas *npe* pero con la particularidad de que al menos uno de los gases en la mezcla está en régimen de colapso. No obstante, el mecanismo que proponemos para su formación podría ser válido también para otras composiciones con tal de que ellas contengan gases susceptibles de sufrir un colapso magnético. Por tanto, nuestra propuesta podría ser útil para explicar la expulsión de materia y la formación de *jets* en otros entornos astrofísicos.

Para terminar de validar nuestro modelo de *jet* se hace necesario estudiar su estabilidad gravitacional. El estudio de la estabilidad gravitacional del *jet*, es decir, la búsqueda de soluciones estables de las ecuaciones de Einstein con las EdE escritas para el *jet*, requiere o bien ecuaciones de estructura axisimétricas, o métodos de integración numérica de las ecuaciones de Einstein que admitan estructuras altamente alejadas de la simetría esférica. En ambos casos, este es aún un problema no resuelto.

A lo largo del desarrollo de esta tesis se realizaron dos intentos por encontrar ecuaciones que permitieran la descripción de la estructura del *jet*. En el primero [113], se procedió a la búsqueda de soluciones interiores de las ecuaciones de Einstein suponiendo una métrica casi plano-simétrica, ya que este tipo de espacio-tiempo se adapta a la simetría que el campo magnético impone al tensor de energía-momento. Pero el uso de los espacio-tiempos antes mencionados impone ciertas condiciones a las presiones y la energía que solo se cumplen en situaciones muy restrictivas, por ejemplo, en el caso de que las presiones y la energía del vacío predominan sobre las de la materia.

Como resultado del segundo intento, se obtuvieron las ecuaciones de estructura presentadas en [114] para objetos esferoidales que serán discutidas en el Capítulo 5. Sin embargo, estas ecuaciones están restringidas al caso de deformaciones pequeñas con respecto a la forma esférica y no son apropiadas para estudiar la estabilidad gravitacional del *jet* que como hemos repetido responde a una forma alargada, de máxima deformación con respecto a una esfera.

El estudio de la estabilidad gravitacional de las EdE que estamos proponiendo para un *jet* cuya fuente es una EN, es un problema pendiente en el que pensamos seguir trabajando en el futuro.



## Capítulo 4

# Efectos del campo magnético en las ecuaciones de estado de Estrellas de condensado de Bose-Einstein

En este capítulo se obtienen las ecuaciones de estado para Estrellas de condensado de Bose-Einstein magnetizadas. Para hacerlo, se sigue el procedimiento presentado en [19], en el sentido de que las ecuaciones de estado serán obtenidas a partir de un hamiltoniano que es la suma de dos términos independientes, uno que describe la interacción de las partículas con el campo magnético y otro que describe la interacción de las partículas entre ellas. Las EdE se obtendrán para bosones relativistas y no relativistas. En su estudio numérico se considerarán dos configuraciones del campo magnético; en una, el campo se toma constante en el interior de la estrella, mientras que en la otra el campo magnético es producido a través de la automagnetización de los bosones y por tanto depende de su densidad. Este capítulo recoge los resultados originales de la autora de la tesis presentados en [115] y [39].

### 4.1 Modelación de estrellas de condensado de Bose-Einstein

Una Estrella de condensado de Bose-Einstein (EBE) es un OC compuesto por un gas no ideal de bosones vectoriales formados por el apareamiento de dos neutrones con spines paralelos. Al estudiarlas estamos asumiendo que, al menos en alguna etapa de su evolución, el núcleo de las ENs pudiera estar formado mayoritariamente por materia en esta forma.

Desde el punto de vista teórico, las diferencias entre modelos distintos para EBE vienen dadas, principalmente, por la forma en que se describen las interacciones interpartículas y por el carácter relativista o no de estas [18–20]. En [18] una ecuación de estado politrópica es obtenida para estrellas compuestas por gases de bosones escalares a temperatura cero. En este trabajo se analizan dos casos, el de bosones no relativistas (a través de resolver la ecuación de Gross-Pitaevskii con interacciones repulsivas de corto alcance tipo Van der Waals) y el de bosones relativistas (a partir de resolver la

ecuación de Klein-Gordon con una interacción del tipo  $\lambda\phi^4$ ). Por otra parte, en [19], para obtener las ecuaciones de estado se añade una interacción repulsiva tipo Van der Waals al hamiltoniano de los bosones escalares no relativistas y la temperatura es incluida. Este mismo caso se estudia en [20], pero a partir de la aproximación de Hartree-Fock. A pesar de las diferencias, en todos los casos se obtiene que las EBE son objetos relativamente pequeños, con radios  $R \leq 10$  km, y muy densos, con densidades de masa máxima en su centro en el orden de los  $10^{16}$  g/cm<sup>3</sup>.

Las EdE de nuestro modelo de EBE magnetizadas serán obtenidas a partir de un hamiltoniano que es la suma de dos términos independientes, uno que describe la interacción interpartículas y otro que corresponde a la descripción de los bosones como un gas ideal [19]. La interacción repulsiva entre los bosones será modelada como una interacción de contacto por pares. Esta forma de describir la interacción, aunque relativamente sencilla, ha demostrado ser muy útil como punto de partida y de comparación, pues permitió a los autores de [19] obtener EdE termodinámicamente consistentes cuyas curvas masa-radio son consistentes con otros modelos más elaborados de Estrellas de condensado de Bose-Einstein [18].

La novedad de nuestro trabajo con respecto a [19] consiste en la inclusión del carácter vectorial de los bosones así como de su interacción con el campo magnético a través del término de gas ideal del hamiltoniano. En el caso de bosones relativistas, usaremos para ello los resultados obtenidos en el Capítulo 2. Para bosones no relativistas utilizaremos las EdE calculadas por nosotros en [39].

## 4.2 Ecuaciones de estado de un Estrella de condensado de Bose-Einstein magnetizada

El hamiltoniano de un gas de bosones que interactúan entre sí puede escribirse como la suma del hamiltoniano del gas ideal (no interactuante)  $\hat{H}$  con el hamiltoniano de interacción  $\hat{H}_{int}$ :

$$\hat{H}_{total} = \hat{H} + \hat{H}_{int}. \quad (4.1)$$

En primera aproximación, supondremos que las partículas que componen el gas no interactúan a través de sus spines y tomaremos la interacción entre los bosones como una interacción de contacto por pares  $u_0\delta(r - \bar{r})$ , donde  $r$  y  $\bar{r}$  denotan las posiciones de las partículas que interactúan [19]. El parámetro  $u_0 = 4\pi a/m$  indica la fortaleza de la interacción;  $m$  es la masa del bosón y  $a$  es la longitud de dispersión ( $a = 1$ fm) [18, 19]. Bajo esta suposición,  $\hat{H}_{int}$  queda:

$$\hat{H}_{int} = \frac{1}{2}u_0 \sum_{k,k'} \hat{n}_k \hat{n}_{k'}, \quad (4.2)$$

siendo  $\hat{n}_k$  el operador del número de ocupación en el estado  $k$ .

Debido a que el número de partículas en escenarios astrofísicos es muy grande mientras que las temperaturas son relativamente bajas, es de esperar que las fluctuaciones no sean muy significativas, de manera que el hamiltoniano de interacción puede aproximarse por su valor de expectación:

$$\hat{H}_{int} \approx \langle \hat{H}_{int} \rangle = \frac{1}{2} u_0 N^2, \quad (4.3)$$

donde, como antes,  $N = \sum_k \langle \hat{n}_k \rangle$  es la densidad media de partículas.

Esta forma de modelar la interacción entre partículas es equivalente a conservar solo el primer término del desarrollo para bajas energías de la teoría de dispersión [116]. En este caso el choque se describe exclusivamente en términos de  $a$ , que contiene todos los efectos de las interacciones de corto alcance, y las fluctuaciones cuánticas y térmicas son despreciadas [116]. La consecuencia principal de tomar en cuenta el efecto de estas fluctuaciones consiste en un aumento de la presión y la energía interna del gas [116]. Por tanto, para un gas de bosones que interactúan entre sí, el hamiltoniano Ec. (4.3) genera las EdE con menor presión y energía de interacción posibles. En este sentido, el modelo que aquí presentamos constituye un caso límite para las EBE, pues cualquier corrección que se haga sobre él se traducirá en un aumento de las presiones que facilitará el equilibrio gravitacional del OC resultante, aumentando su masa y radios, y atenuando los efectos del campo magnético.

A partir de las Ecs. (4.1)-(4.3), la función de partición del sistema puede escribirse como:

$$\Xi_{total} = e^{-\beta V \frac{1}{2} u_0 N^2} \Xi, \quad (4.4)$$

si llamamos  $\Xi$  a la función de partición del gas ideal de bosones (la calculada a partir de  $\hat{H}$ ). El potencial termodinámico por unidad de volumen es:

$$\Omega_{total} = -\frac{1}{\beta V} \ln \Xi_{total} = \frac{1}{2} u_0 N^2 + \Omega, \quad (4.5)$$

donde  $\Omega$  es el potencial termodinámico del gas ideal de bosones.

El término de interacción entre bosones  $1/2 u_0 N^2$  entra en el potencial termodinámico Ec. (4.5) y por tanto en las ecuaciones de estado, de manera independiente al término de gas ideal  $\Omega$ . En lo que sigue tomaremos ventaja de esto al considerar que las partículas interactúan con el campo magnético y entre ellas de manera independiente. En consecuencia, los efectos del campo magnético entrarán en las ecuaciones de estado de la estrella solo a través del término de gas ideal  $\Omega = \Omega(T, \mu, B)$ . Conocida  $\Omega$ , las EdE del gas magnetizado de bosones que interactúan entre sí se pueden calcular como [19, 25]:

$$P_{\parallel} = -\Omega_{total} + N \left( \frac{\partial \Omega_{total}}{\partial N} \right)_{\mu, T, B} = \frac{1}{2} u_0 N^2 - \Omega, \quad (4.6a)$$

$$P_{\perp} = -\Omega_{total} + N \left( \frac{\partial \Omega_{total}}{\partial N} \right)_{\mu, T, B} + B \left( \frac{\partial \Omega_{total}}{\partial B} \right)_{\mu, T} = \frac{1}{2} u_0 N^2 - \Omega - B\mathcal{M}, \quad (4.6b)$$

$$E = \Omega_{total} + \mu N - T \left( \frac{\partial \Omega_{total}}{\partial T} \right)_{\mu, B} = \frac{1}{2} u_0 N^2 + \Omega + \mu N - T \left( \frac{\partial \Omega}{\partial T} \right)_{\mu, B}, \quad (4.6c)$$

$$N = - \left( \frac{\partial \Omega_{total}}{\partial \mu} \right)_{T, B} = - \left( \frac{\partial \Omega}{\partial \mu} \right)_{T, B}, \quad (4.6d)$$

$$\mathcal{M} = - \left( \frac{\partial \Omega_{total}}{\partial B} \right)_{\mu, T} = - \left( \frac{\partial \Omega}{\partial B} \right)_{\mu, T}. \quad (4.6e)$$

En las Ecs. (4.6), ambas presiones  $P_{\parallel}$  y  $P_{\perp}$  tienen tanto la contribución de la interacción [19], como la de los bosones en presencia del campo magnético, incluido el término  $-\mathcal{M}B$  que produce la anisotropía [25]. La densidad de energía interna  $E$  del gas ahora contiene además la densidad de energía de la interacción.

El potencial termodinámico del gas ideal de bosones en interacción con un campo magnético  $\Omega$  será calculado para dos casos: el relativista y su límite no relativista. A primera vista, el caso relativista es más apropiado dadas las altas densidades de partículas y energía que existen en el interior de los objetos compactos. El caso no relativista, en cambio, es la extensión natural del modelo de EBE no magnetizada presentado en [19] y por eso también será estudiado.

Para el caso en el que el gas magnetizado de bosones se considera relativista, el potencial termodinámico del gas ideal fue calculado en el Capítulo 2 y viene dado por la Ec. (2.22). En el límite no relativista el potencial termodinámico, al que denotaremos  $\Omega^{nr}$ , se obtiene a partir del espectro correspondiente:

$$\varepsilon^{nr}(p, B) = m + p^2/2m - \kappa s B. \quad (4.7)$$

Una vez hecho el cálculo, el potencial termodinámico del gas ideal de bosones no relativistas en interacción con un campo magnético es [39]:

$$\Omega^{nr} = - \frac{m^{3/2}}{(2\pi)^{3/2} \beta^{5/2}} \{ Li_{5/2}(z_-) + Li_{5/2}(z) + Li_{5/2}(z_+) \}, \quad (4.8)$$

donde  $z = e^{\beta\mu}$  es la fugacidad y  $z_{\pm} = e^{\beta(\mu \pm \kappa B)}$ . Con el uso de la Ec. (4.8), las presiones, la magnetización y la densidad de energía del gas no relativista pueden escribirse como:

$$E^{nr} = -\frac{3}{2}\Omega^{nr} - \kappa B \left( N_{gs} + \frac{Li_{3/2}(z_+)}{\lambda^3} - \frac{Li_{3/2}(z_-)}{\lambda^3} \right), \quad (4.9a)$$

$$P_{\parallel}^{nr} = -\Omega^{nr}, \quad (4.9b)$$

$$P_{\perp}^{nr} = -\Omega^{nr} - \mathcal{M}^{nr} B, \quad (4.9c)$$

$$\mathcal{M}^{nr} = \kappa \left( N_{gs} + \frac{Li_{3/2}(z_+)}{\lambda^3} - \frac{Li_{3/2}(z_-)}{\lambda^3} \right), \quad (4.9d)$$

$$N^{nr} = N_{gs} + \frac{Li_{3/2}(z_-)}{\lambda^3} + \frac{Li_{3/2}(z)}{\lambda^3} + \frac{Li_{3/2}(z_+)}{\lambda^3}. \quad (4.9e)$$

donde  $N_{gs}$  es la fracción de partículas en el condensado y  $\lambda = \sqrt{2\pi/mT}$  es la longitud de onda térmica.

Aunque los potenciales termodinámicos Ecs. (2.22) y (4.8) permiten trabajar a temperatura finita, en este capítulo nos concentraremos en el límite de temperatura cero a fin de estudiar exclusivamente los efectos del campo magnético en las EdE de las Estrellas de condensado de Bose-Einstein. A  $T = 0$ ,  $\Omega = \Omega_{vac}$  mientras que  $\Omega^{nr} = 0$ . Combinando estos límites con las Ecs. (4.6), las EdE para el gas magnetizado de bosones que interactúan entre sí son, en el caso relativista:

$$P_{\parallel}^r = \frac{1}{2}u_0 N^2 - \Omega_{vac}, \quad (4.10a)$$

$$P_{\perp}^r = \frac{1}{2}u_0 N^2 - \Omega_{vac} - \mathcal{M}B, \quad (4.10b)$$

$$E^r = \frac{1}{2}u_0 N^2 + m\sqrt{1-b}N + \Omega_{vac}, \quad (4.10c)$$

$$\mathcal{M} = \frac{\kappa}{\sqrt{1-b}}N, \quad (4.10d)$$

y en el no relativista:

$$P_{\parallel}^{nr} = \frac{1}{2}u_0 N^2, \quad (4.11a)$$

$$P_{\perp}^{nr} = \frac{1}{2}u_0 N^2 - \mathcal{M}B, \quad (4.11b)$$

$$E^{nr} = \frac{1}{2}u_0 N^2 + (m - \kappa B)N, \quad (4.11c)$$

$$\mathcal{M}^{nr} = \kappa N. \quad (4.11d)$$

Nótese que las Ecs. (4.10)-(4.11) están parametrizadas con respecto a la densidad de partículas  $N$  y la intensidad del campo magnético  $B$ .

Las modificaciones debidas a la presencia del campo magnético con respecto al caso  $B = 0$  entran en las Ecs. (4.10) de tres formas. Primero, a través de la la presión magnética  $-\mathcal{M}B$  que disminuye

la presión perpendicular con respecto a la paralela. En segundo lugar, a través de la presión de vacío  $-\Omega_{vac}$  que se adiciona a las presiones y se resta a la energía, y finalmente, a través del término  $m\sqrt{1-b}N$  que aparece en lugar de la energía de reposo  $mN$  y expresa el cambio producido en el estado básico por el campo magnético. Por otra parte, las ecuaciones de estado no relativistas Ecs. (4.11) también son modificadas a través de la presión magnética y del decrecimiento de la densidad de energía ahora por la sustitución de la energía de reposo de los bosones por  $(m - \kappa B)$ .

Con respecto a las ecuaciones de Einstein, las ecuaciones de estado juegan el papel de las fuentes de materia y, por tanto, deben contener las contribuciones energéticas de todas las partículas y campos presentes en el sistema, excepto la correspondiente al campo gravitacional [5]. Por ello, para completar las EdE de la Estrella de condensado de Bose-Einstein magnetizada es necesario añadir a la energía y las presiones del gas, la energía y las presiones del campo magnético [2]. Desde el punto de vista matemático, para ello basta añadir la llamada contribución de Maxwell,  $B^2/8\pi$ , a  $E$  y  $P_{\perp}$ , y sustraerla de  $P_{\parallel}$ . En lo adelante, cuando se hable de las EdE del gas magnetizado de bosones vectoriales con interacción, se estará haciendo referencia a las Ecs. (4.10) o (4.11) según sean relativistas o no las partículas, mientras que al hablar de las EdE de la EBE magnetizada se estará haciendo referencia a estas mismas ecuaciones con contribución de Maxwell.

La relevancia de cada una de las modificaciones que el campo magnético provoca en las ecuaciones de estado y los observables -masas y radios- de la EBE no es obvia y será analizada de manera numérica en las próximas secciones. Para lograr una comprensión clara del papel que juega cada término introducido por el campo magnético, las EdE (así como las curvas masa-radio en el Capítulo 6) serán estudiadas con y sin término de Maxwell.

### 4.3 Ecuaciones de estado para las Estrellas de condensado de Bose-Einstein magnetizadas y automagnetizadas

Esta sección está dedicada al estudio numérico de las Ecs. (4.10) y (4.11), y en particular de las presiones anisotrópicas como función la densidad de masa del gas de bosones en dos configuraciones diferentes del campo magnético. En la primera, la intensidad del campo magnético será considerada constante y fijada de manera externa al gas. En la segunda, se tomará el campo magnético como producido por la automagnetización de los bosones.

Por lo general, al modelar OCs sus campos magnéticos internos se suponen dipolares, poloidales o uniformes [2]. Su intensidad se toma constante o dependiente de la densidad de partículas o el radio, aunque no siempre estas dependencias obedecen a razones físicas bien fundamentadas [117]. Incluso en los casos en que las ecuaciones de Maxwell se acoplan a las de Einstein a fin de garantizar la consistencia física del campo electromagnético en el interior de la estrella, como fuentes del campo magnético se supone la existencia en la estrella de corrientes eléctricas cuya forma matemática garantiza las distribuciones de líneas de fuerza deseadas pero que no guardan relación alguna con la materia que compone el OC (con las EdE) y cuyos orígenes físicos no son nunca justificados [27]. En este sentido, al proponer que el campo magnético de la EBE es generado por la automagnetización de los bosones se pretende proporcionar un mecanismo para producirlo que está relacionado directamente

con la materia que la compone. En tal caso diremos que la EBE está automagnetizada.

Por otra parte, aún cuando todo indica que la intensidad del campo magnético varía en varios órdenes de magnitud entre el núcleo de la estrella y su superficie [2,27,117], suponer el campo constante en el interior de la estrella no deja de ser una buena primera aproximación debido a que el rango de acción microscópico de la interacción electromagnética es mucho menor que la escala macroscópica de variación del campo magnético entre el centro y la superficie de la estrella [2].

### 4.3.1 Ecuaciones de estado con campo magnético constante

El efecto de un campo magnético constante en las presiones de la materia que forma la Estrella de condensado de Bose-Einstein se muestra en la Fig. 4.1 para  $B = 0$ ,  $B = 10^{17}$  G y  $B = 10^{18}$  G. Los paneles superiores corresponden a las EdE no relativistas y relativistas sin la contribución de Maxwell, mientras que el panel inferior izquierdo muestra a las EdE relativistas con los términos de Maxwell. Para las tres EdE graficadas, la región de altas densidades de masa está dominada por las interacciones entre partículas y las desviaciones con respecto al caso no magnetizado son pequeñas. En cambio, a medida que la densidad de masa del gas disminuye, la influencia del campo magnético se hace más importante.

Para las EdE no relativistas (panel superior izquierdo de la Fig. 4.1), el campo magnético no modifica la presión paralela y por tanto las curvas de  $P_{\parallel}^{nr}$  se superponen a la presión del caso no magnetizado. Por el contrario, en la región de más bajas densidades de masa, la presión perpendicular se separa de la curva de campo magnético cero. La densidad de masa a la cual las curvas de  $P_{\perp}^{nr}$  terminan corresponde al punto en el que  $P_{\perp}^{nr} = 0$  para un campo magnético dado. Para valores menores de  $\rho$ ,  $P_{\perp}^{nr} < 0$  y el gas se vuelve inestable.

El panel superior derecho de la Fig. 4.1 muestra que la presión perpendicular relativista decrece hasta hacerse negativa con la misma dependencia con que lo hace la no relativista. Esto indica que, en lo que concierne a  $P_{\perp}$ , la presión magnética  $-MB$  predomina sobre la de vacío  $-\Omega_{vac}$ . Las similitudes entre  $P_{\perp}^{nr}$  y  $P_{\perp}^r$  indican además que  $\mathcal{M}^r \cong \mathcal{M}^{nr}$  para los campos magnéticos aquí considerados.

Por otra parte, si la densidad de masa es disminuida por debajo del valor en el cual  $P_{\perp}^r = 0$ , la presión paralela relativista, eventualmente se separa de la curva de  $B = 0$  y tiende a  $-\Omega_{vac}(b)$  que es constante con respecto a la densidad (véase la curva verde punteada). Esta es la única diferencia entre las EdE relativistas y no relativistas, pero como ella se da para densidades de masa en la región de presiones inestables, podemos concluir que los efectos relativistas debidos al campo magnético no son relevantes en lo que respecta a las Estrellas magnetizadas de condensado de Bose-Einstein. La similitud entre ambos casos es de esperar porque el campo magnético máximo que estamos considerando ( $10^{18}$  G) es dos órdenes menor que el campo magnético crítico del gas magnetizado de bosones ( $10^{20}$  G). En lo que sigue, utilizaremos solamente las EdE relativistas para los cálculos.

Cuando la contribución de Maxwell se incluye en las EdE (panel inferior izquierdo de la Fig. 4.1) el papel de las presiones se intercambia. Ahora es la presión paralela la que se hace negativa, mientras que en la región de bajas densidades de masa la presión perpendicular disminuye hasta que alcanza un valor constante e igual a la contribución de Maxwell para el valor dado de campo. Ello quiere decir que los términos de Maxwell dominan sobre las presiones magnética  $-MB$  y de vacío  $-\Omega_{vac}$ , cuyo

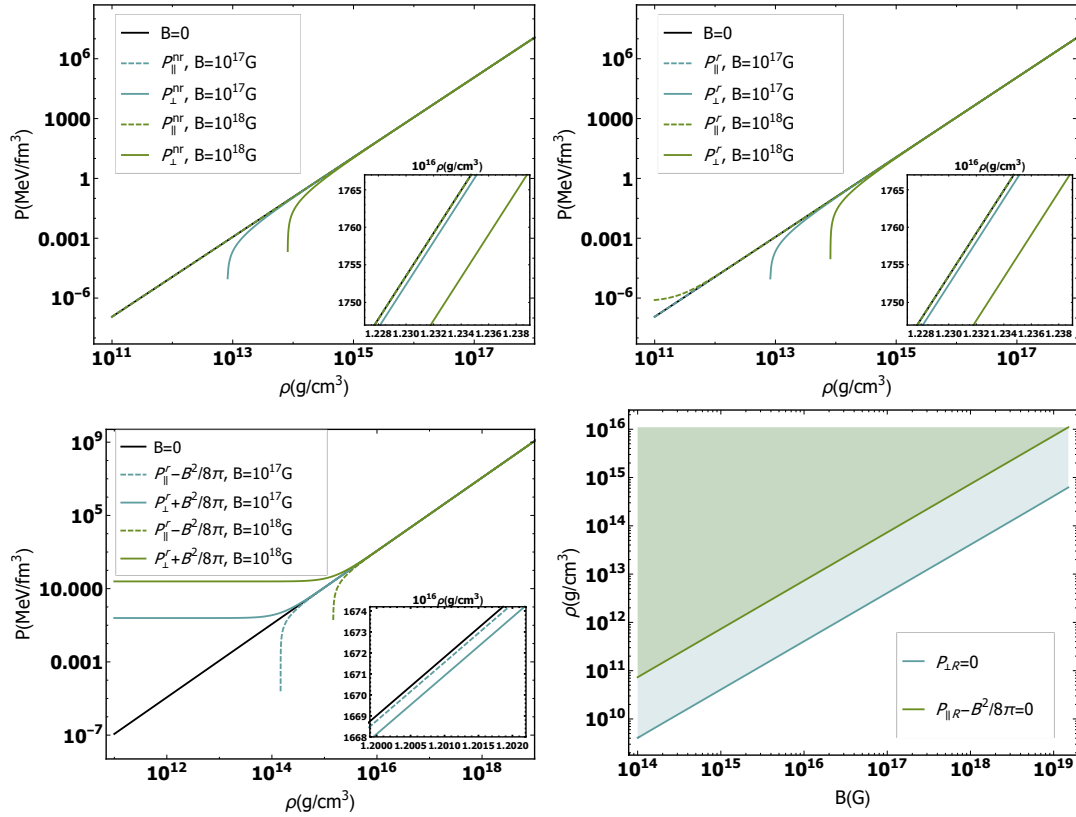


Figura 4.1: Las presiones como función de la densidad de masa de los bosones para los casos no-relativista, relativista y relativista con la contribución de Maxwell (paneles superior izquierdo, superior derecho e inferior izquierdo respectivamente). Panel inferior derecho: diagrama de fases para el colapso magnético en el plano  $\rho$  vs  $B$ ; en la regiones sombreadas el gas es estable.

efecto deviene irrelevante. En este caso la inestabilidad en la presión aparece para un valor más alto de la densidad de masa y la diferencia entre las presiones es mayor que en el caso sin contribución de Maxwell. Nótese que dado un valor del campo magnético, las densidades de masa para las cuales el gas es inestable están prohibidas en el interior de la estrella, pues una presión negativa no puede balancear la gravedad. En consecuencia, la inestabilidad en la presión impone un límite inferior a las densidades de masa que pueden darse en el interior de una estrella de condensado de Bose Einstein, siendo el valor específico de este límite una función creciente de  $B$ . Esto último puede apreciarse en el panel inferior derecho de la Fig. 4.1 que muestra el diagrama de fases para el colapso magnético en el plano  $\rho$  vs  $B$  para las EdE relativistas sin y con la contribución de Maxwell; las diferencias entre las curvas críticas de ambos casos es de aproximadamente un orden de magnitud. Es de resaltar que para los valores más altos del campo magnético, las densidades de masa límites están en el orden de la densidad nuclear o son mayores que esta.

### 4.3.2 Ecuaciones de estado con campo magnético autogenerado

En este epígrafe consideraremos que el campo en el interior de la estrella viene dado por la automagnetización de los bosones. Para calcular el campo autogenerado  $B_{sg}$  utilizaremos la Ec. (2.57),  $B_{sg} = 4\pi\mathcal{M}$ , donde ahora la magnetización  $\mathcal{M}$  está dada por las Ecs.(4.11) para el caso no relativista y por las Ecs. (4.10) para el relativista.

Para la EdE no relativista, la ecuación para la automagnetización deviene  $B_{sg} = 4\pi\kappa N$  y  $B_{sg}$  aumenta linealmente con la densidad de partículas, como se muestra en el panel izquierdo de la Fig. 4.2. Evaluando para valores típicos de la densidad de masa de los bosones, por ejemplo  $\rho = mN = 10^{14} - 10^{16}\text{g/cm}^{-3}$ , puede verse que los valores del campo magnético autogenerado para el caso no relativista,  $B = 10^{15} - 10^{17}\text{G}$ , están en el orden de los esperados en las ENs.

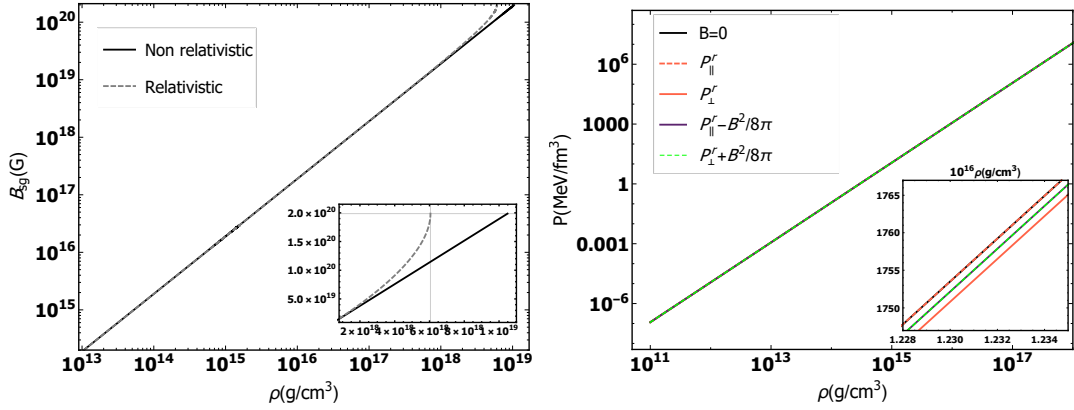


Figura 4.2: Panel izquierdo: el campo magnético autogenerado como función de la densidad de masa para los casos relativista y no relativista. Panel derecho: las presiones como función de la densidad de masa para la EdE relativista con y sin contribución de Maxwell y campo magnético autogenerado.

En el caso relativista, como ya vimos en el Capítulo 2,  $B_{sg}$  aún aumenta con la densidad de masa (véase la curva punteada en el panel izquierdo de Fig. 4.2) pero la dependencia ya no es lineal. Además, en este caso existe una densidad de partículas límite por encima de la cual la condición de automagnetización deja de cumplirse, y aparece un campo magnético máximo que puede ser alcanzado por automagnetización. Para los bosones aquí considerados, la densidad de masa y el campo magnético máximo son  $\rho = 3,61 \times 10^{18}\text{g/cm}^3$  and  $B = 2/3B_c = 1,98 \times 10^{20}\text{G}$  respectivamente. Sin embargo, como los valores máximos para el campo magnético en el interior de una estrella de neutrones se estima que están en el orden de los  $10^{18}\text{G}$ , en el caso de automagnetización las diferencias entre los casos relativista y no relativista tampoco serán relevantes.

En la práctica, lo que se hace para estudiar el comportamiento del gas bajo un campo magnético autogenerado, es añadir la Ec. (2.57) a las EdE. Las presiones con  $B_{sg}$  fueron graficadas en el panel derecho de la Fig. 4.2 como función de la densidad de masa de los bosones, con y sin contribución de Maxwell. Una característica interesante que muestra este gráfico es que la inestabilidad en las presiones desaparece. Esto es consecuencia directa del decrecimiento de  $B_{sg}$  con  $\rho$ . Se puede notar

además en el recuadro, que la contribución de Maxwell borra la anisotropía, aunque sí mantiene una ligera diferencia con respecto a las EdE no magnetizadas.

## 4.4 Conclusiones del capítulo

En este capítulo se han obtenido las EdE para un gas magnetizado de bosones vectoriales neutros que interactúan entre sí y para Estrellas de condensado de Bose-Einstein magnetizadas y automagnetizadas. La descripción termodinámica del gas vectorial que compone estas estrellas fue hecha considerando a los bosones relativistas y no relativistas. En el estudio numérico se utilizaron dos configuraciones de campo magnético. En una, el campo magnético se considera constante y fijado externamente, mientras que en la otra es creado por la automagnetización de los bosones y depende de la densidad de masa del gas.

Las EdE del gas y de la estrella fueron estudiadas numéricamente para valores de campos magnéticos y densidades de partículas en los rangos esperados en el interior de las ENs. Del estudio numérico se obtuvieron las conclusiones siguientes:

- Aunque la descripción termodinámica del gas fue hecha para bosones relativistas y no relativistas la diferencia entre estos regímenes no es apreciable. Esto se debe a que los valores más altos que el campo magnético puede alcanzar en el interior de las ENs ( $B \sim 10^{18}$  G) están dos órdenes por debajo del valor para el cual los efectos relativistas comenzarían a ser importantes en el comportamiento del gas de bosones ( $B \sim B_c \sim 10^{20}$  G).
- En el caso en que el campo magnético es constante:
  - La anisotropía en las presiones es significativa y aumenta al incluir la contribución de Maxwell.
  - En la región de bajas densidades, la menor de las presiones se hace negativa y el gas deviene inestable. En consecuencia, tomar el campo magnético constante impone un límite inferior a las densidades de masa que pueden sostenerlo en el interior de la estrella.
- En el caso en el que el campo magnético es generado por la automagnetización de los bosones:
  - La anisotropía en las presiones es muy pequeña cuando la contribución de Maxwell se ignora.
  - En el caso en que la contribución de Maxwell es tenida en cuenta, la anisotropía en las presiones desaparece, aunque las diferencias con respecto al caso no magnetizado se mantienen (Las presiones son iguales entre sí pero menores que cuando  $B = 0$ ).
  - Por otra parte, la inestabilidad en las presiones nunca aparece para los valores de campo magnético y densidad de masa aquí considerados. Esto es una consecuencia directa de que la intensidad del campo magnético autogenerado disminuye con la densidad de partículas.

Es de resaltar que si bien el principal efecto del campo magnético en las EdE es la separación de la presión en dos componentes, la relevancia de esta separación depende de cómo se modele el campo magnético.

En cualquier caso, para obtener la estructura de objetos compactos magnetizados es necesario contar con ecuaciones de equilibrio hidrostático que tengan en cuenta la anisotropía magnética. Por ello el próximo capítulo estará dedicado a la obtención de ecuaciones de estructura axisimétricas que tomen en cuenta la anisotropía en las presiones.



## Capítulo 5

# Ecuaciones de estructura anisotrópicas

En este capítulo, se discute el problema de determinar la estructura (masa, forma y dimensiones) de objetos compactos anisotrópicos. En una primera parte se presenta la manera clásica de atacar este problema en el caso de objetos compactos esféricos a través de las ecuaciones de Tolman-Oppenheimer-Volkoff. Posteriormente, se describe el proceso para la obtención y uso de ecuaciones de estructura para objetos esferiodales, partiendo de una métrica axisimétrica que es una generalización de la métrica de Schwarzschild. Aunque una versión previa de las ecuaciones de estructura axisimétricas ya habían sido obtenidas con anterioridad a este trabajo, realizamos dos propuestas novedosas relacionadas con su resolución. La primera, consiste en calcular la masa total del objeto como la de un esferoide, y la segunda en un *ansatz* que conecta directamente la deformación del objeto con la anisotropía en las presiones, que es su origen físico. Este capítulo contiene los resultados originales de la autora recogidos en [114].

### 5.1 Equilibrio hidrostático estelar en el marco de la Teoría de la Relatividad General

Debido a las altas masas y densidades que se dan en los objetos compactos y en particular, en las Estrellas de Neutrones (de bosones en nuestro caso), las correcciones de la relatividad general a las ecuaciones de Newton son importantes para la descripción del equilibrio hidrostático de estos objetos [1, 4, 43]. Cuando en el marco de la Teoría de la Relatividad General se habla de modelos de estrellas, a lo que se hace referencia es a una región interior que es una solución de las ecuaciones de Einstein con fuente de materia ( $T_{\mu\nu} \neq 0$ ), y una región exterior cuya métrica es una solución asintóticamente plana de estas mismas ecuaciones en el vacío ( $T_{\mu\nu} = 0$ ) [1]. Estas dos piezas deben ser cuidadosamente empatadas en la superficie de la estrella.

El problema de encontrar soluciones exactas de las ecuaciones de Einstein para las fuentes de materia especificadas por unas EdE no es trivial, incluso en el caso más sencillo de materia en simetría esférica [118, 119]. Una manera de abordarlo consiste en proponer una métrica interior a partir de ciertas consideraciones generales y luego obtener  $T_{\mu\nu}$  a través de las ecuaciones de Einstein [118, 119].

Sin embargo, las fuentes de materia así obtenidas no tienen por qué corresponderse con ecuaciones de estado conocidas. Por otra parte, esta manera de resolver el problema puede derivar en condiciones sobre las EdE que muchas veces resultan demasiado restrictivas o, incluso, no físicas (véase por ejemplo [113]).

Los intentos de dar solución a este problema de manera inversa, es decir, de determinar la métrica a partir de las EdE, han sido igualmente numerosos [14, 15, 26–28, 74, 81, 91–94, 118–121]. Si las EdE son isotrópicas esta estrategia conduce a las ecuaciones de Tolman-Oppenheimer-Volkoff que permiten la obtención de observables macroscópicos (masas y radios) [1, 14, 15]. En el caso de ecuaciones de estado anisotrópicas que conducirían a objetos compactos no esféricos, los estudios se centran más en la obtención de las propiedades matemáticas de las soluciones de las ecuaciones de Einstein dada una simetría, que en la obtención de observables macroscópicos derivados de una EdE específica [14, 15, 118–121].

Entre los objetos compactos no esféricos, los axisimétricos llaman la atención debido a que este tipo de simetría emerge de manera natural durante la modelación de objetos compactos magnetizados o en rotación. Intentos por encontrar ecuaciones de estructura axisimétricas que puedan ser tratadas de manera (semi-)analítica han sido realizados en [26, 81], y en [28, 91–94], pero hasta el momento todos los resultados obtenidos son aproximados. La construcción de métodos totalmente numéricos que permitan calcular la estructura de objetos compactos axisimétricos también ha sido una área de investigación intensa [27, 74, 89, 90]. No obstante, en estos casos la posibilidad de encontrar soluciones estables está limitada por la convergencia de los métodos numéricos utilizados y sujeta a una serie de suposiciones y restricciones físico-matemáticas que son necesarias para su implementación. De manera que a pesar de los avances en el campo de la relatividad numérica, la obtención de ecuaciones diferenciales axisimétricas para describir la estructura de estrellas deformadas por el campo magnético continúa siendo uno de los problemas más interesantes y difíciles de esta área de la física.

## 5.2 Objetos compactos esféricos: Ecuaciones de Tolman-Oppenheimer-Volkoff

Para obtener las ecuaciones de estructura se parte de las ecuaciones de Einstein:

$$G_{\mu\nu} = 8\pi G T_{\mu\nu}, \quad (5.1)$$

donde  $\mu, \nu = 0, 1, 2, 3$ ,  $T_{\mu\nu}$  es el tensor de energía momento de las fuentes de materia,  $G = 6,711 \times 10^{-45}$  MeV<sup>-2</sup> es la constante de gravitación universal y  $G_{\mu\nu}$  es el tensor de Einstein, que está relacionado con el tensor métrico  $g_{\mu\nu}$  a través de:

$$G_{\mu\nu} = R_{\mu\nu} - \frac{1}{2} R g_{\mu\nu}, \quad (5.2)$$

donde

$$R_{\mu\nu} = \Gamma_{\mu\nu,\alpha}^{\alpha} - \Gamma_{\mu\alpha,\nu}^{\alpha} + \Gamma_{\mu\nu}^{\alpha} \Gamma_{\alpha\beta}^{\beta} - \Gamma_{\mu\alpha}^{\beta} \Gamma_{\nu\beta}^{\alpha}, \quad (5.3)$$

es el tensor de Ricci,  $R = R^\mu{}_\mu$  es el escalar Ricci y

$$\Gamma_{\mu\nu}^\alpha = \frac{g^{\alpha\beta}}{2}(g_{\beta\mu,\nu} + g_{\nu\beta,\mu} - g_{\mu\nu,\beta}) \quad (5.4)$$

son los símbolos de Christoffel.

Como todos los tensores que aparecen en las Ecs. (5.1) son simétricos, ellas tienen diez componentes independientes que, dada la libertad de elección de las cuatro coordenadas del espacio-tiempo, se reducen a seis. De manera que las ecuaciones de Einstein son un sistema de seis ecuaciones diferenciales en derivadas parciales no lineales.

Las Ecs. (5.1) relacionan la curvatura del espacio-tiempo (a través de  $G_{\mu\nu}$ ) con las fuentes de masa que la producen ( $T_{\mu\nu}$ ). En rigor, al resolverlas el tensor de energía-momento debería ser calculado de manera autoconsistente en el espacio-tiempo curvo creado por la materia que él mismo describe. Sin embargo, lo usual cuando las ecuaciones de Einstein se resuelven para estrellas compactas es utilizar un tensor de energía-momento calculado a priori en el espacio-tiempo plano de Minkowski [17, 122]. Esta aproximación puede hacerse porque a pesar de que la estructura y dinámica de los OC se rigen por la interacción entre las fuerzas nucleares, electromagnéticas y gravitacionales, la distancia característica sobre la cual cambia la fuerza gravitatoria ( $10^7$  cm para  $\rho \cong 10^{15}$  g/cm<sup>3</sup>) es veinte órdenes de magnitud mayor que la escala microscópica en la que actúan las fuerzas nucleares y electromagnéticas ( $10^{-13}$  cm)<sup>1</sup> [17, 122]. En consecuencia, las propiedades termodinámicas de la materia y la radiación no se ven afectadas por la gravitación.

En el caso de un objeto compacto estático cuya materia se comporta como un fluido perfecto ( $T_{\mu\nu} = \text{diag}(-E, P, P, P)$ ), el alto nivel de simetría determina que todos los elementos no diagonales de la métrica del espacio-tiempo que ellos generan sean nulos, y que los diagonales dependan únicamente de la distancia al origen de coordenadas. En consecuencia, la métrica del espacio-tiempo generado por una estrella estática y esférica puede escribirse como [1]:

$$ds^2 = -e^{2\Phi(r)} dt^2 + e^{2\Lambda(r)} dr^2 + r^2 d\theta^2 + r^2 \sin^2 \theta d\phi^2, \quad (5.5)$$

donde  $r, \theta, \phi$  son las coordenadas esféricas usuales. Las funciones  $\Phi(r)$  y  $\Lambda(r)$  se determinan unívocamente a partir de la distribución de energía en el interior de la estrella.

Con el uso de la Ec. (5.5) los símbolos de Christoffel  $\Gamma_{\mu\nu}^\alpha$ , el tensor y el escalar de Ricci,  $R_{\mu\nu}$  y  $R = R^\mu{}_\mu$  respectivamente, y el tensor de Einstein  $G_{\mu\nu}$ , pueden calcularse como función de  $\Phi(r)$ ,  $\Lambda(r)$  y  $r$ . Una vez que  $G_{\mu\nu}$  es puesto en función de la métrica, sus componentes se sustituyen en las Ecs.(5.1), de conjunto con el tensor energía-momento de la materia en cuestión, que en este caso es  $T_{\mu\nu} = \text{diag}(-E, P, P, P)$ . Luego de varias transformaciones algebraicas, las ecuaciones de Einstein se reducen a las cuatro ecuaciones diferenciales [1]:

---

<sup>1</sup>Para que el radio de acción de las fuerzas gravitatorias fuera comparable con el de las fuerzas nucleares y electromagnéticas serían necesarias densidades de alrededor de  $10^{49}$  g/cm<sup>3</sup>, más de veinte órdenes por encima de las densidades más extremas esperadas en el una EN [122].

$$\frac{dm(r)}{dr} = 4\pi r^2 E(r), \quad (5.6a)$$

$$\frac{dP(r)}{dr} = -G \frac{(E(r) + P(r)) (4\pi r^3 P(r) + m(r))}{r^2 \left(1 - \frac{2Gm(r)}{r}\right)}, \quad (5.6b)$$

$$e^{-2\Lambda(r)} = \left(1 - \frac{2Gm(r)}{r}\right), \quad (5.6c)$$

$$\frac{d\Phi(r)}{dr} = \frac{G}{\left(1 - \frac{2Gm(r)}{r}\right)} \left(\frac{m(r)}{r^2} + 4\pi r P(r)\right), \quad (5.6d)$$

que describen la dependencia de la masa  $m(r)$ , la presión  $P(r)$ , y las dos funciones métricas  $\Phi(r)$  y  $\Lambda(r)$  con el radio interno de la estrella  $r$ . Las cuatro Ecs. (5.6) determinan completamente la estructura del objeto compacto y son conocidas como ecuaciones de Tolman-Oppenheimer-Volkoff (TOV), aunque por lo general, cuando se habla de las TOV se hace referencia solamente a las dos primeras. Esto se debe a que en la práctica, para obtener la masa y el radio de la estrella basta con resolver estas dos ecuaciones.

Para resolver las Ecs. (5.6a) y (5.6b) se parte de la condiciones en el centro de la estrella  $m(r=0) = 0$  y  $P(r=0) = P_0$ , donde  $P_0$  se toma de la ecuación de estado. Posteriormente se integra en la variable  $r$  hasta que la presión se hace igual a cero. La condición  $P(R) = 0$  define el radio de la estrella, que permite a su vez determinar su masa total  $m = m(R)$ . Al resolver las Ecs. (5.6a) y (5.6b) en el rango de densidades admitido por las EdE, se obtiene una familia única de estrellas, una curva masa-radio, parametrizada por la presión y la densidad de energía centrales  $(E_0, P_0)$ . Cada punto  $(M(E_0), R(E_0))$  de la familia obtenida respresenta una estrella de masa  $M$  y radio  $R$  en equilibrio hidrodinámico. En una secuencia estelar, solamente las ramas en las que  $dm/dE_0 > 0$  son estables ante perturbaciones radiales [1, 4].

Aunque las ecuaciones TOV han sido cruciales en el estudio y compresión de la física de los objetos compactos, el suponer la estrella esférica implica que las ecuaciones (5.6) no pueden, en rigor, ser utilizadas para el estudio de objetos compactos magnetizados o en rotación, pues ellas no pueden tener en cuenta a la vez las presiones paralela y perpendicular. A fin de encontrar ecuaciones de estructura que puedan brindar una descripción más exacta de estrellas no esféricas, en la próxima sección se intentará su búsqueda a partir de una métrica axisimétrica.

### 5.3 Ecuaciones de estructura para objetos compactos esferoidales: Métrica $\gamma$

Esta sección está dedicada a la construcción de un modelo general que permita estudiar la estructura de objetos compactos deformados axialmente. Nuestro modelo se basa en las Refs. [28, 91–94, 123, 124], donde los autores muestran que un objeto compacto no esférico con simetría axial puede describirse a través de la llamada métrica  $\gamma$ , cuya forma en coordenadas esféricas  $(t, r, \theta, \phi)$  es:

$$ds^2 = -\Delta^\gamma dt^2 + \Delta^{\gamma^2-\gamma-1}\Sigma^{1-\gamma^2} dr^2 + r^2\Delta^{1-\gamma}\Sigma^{1-\gamma^2} d\theta^2 + r^2 \sin^2 \theta \Delta^{\gamma^2-\gamma} d\phi^2, \quad (5.7)$$

con:

$$\Delta = \left(1 - \frac{2Gm}{r}\right), \quad (5.8a)$$

$$\Sigma = \left(1 - \frac{2Gm}{r} + \frac{G^2 m^2}{r^2} \sin^2 \theta\right) \quad (5.8b)$$

La métrica  $\gamma$ , también conocida como métrica  $q$  o métrica de Zipoy-Voorhees, es una familia de soluciones estáticas, axisimétricas y asintóticamente planas de las ecuaciones de Einstein [118–120, 123, 124]. Ella depende de dos parámetros,  $m$  y  $\gamma$ , y constituye un caso particular de la métrica de Weyl<sup>II</sup>. El sentido físico de los parámetros  $m$  y  $\gamma$  pueden ser investigado a partir de los momentos monopolar  $M$  y cuadrupolar  $Q$  de la métrica  $\gamma$  [124]:

$$M = \gamma m, \quad (5.9)$$

que representa la masa gravitacional de la fuente de materia y

$$Q = \frac{1}{3} m^3 \gamma (1 - \gamma^2), \quad (5.10)$$

que está relacionado con su forma. De las Ecs. (5.9) y (5.10) se sigue que el parámetro  $m$  está relacionado con la masa total del objeto, mientras que el parámetro  $\gamma$  tiene que ver con su forma [118, 119, 123].

Con respecto a la conexión entre  $\gamma$  y la forma del objeto [118, 119], nótese que para  $\gamma = 0$ , la Ec.(5.7) se reduce al espacio-tiempo plano de Minkowski, con  $M = Q = 0$ . Por otra parte, si  $\gamma = 1$ , la Ec.(5.7) se reduce a la métrica de Schwarzschild y la simetría esférica se recupera. Esto significa que el objeto en cuestión no está deformado pues ahora nuevamente  $Q = 0$  como corresponde a una fuente de masa esférica.

Desde el punto de vista matemático, la métrica  $\gamma$  es la más simple de todas las soluciones exactas conocidas para las ecuaciones de Einstein tales que dichas soluciones son estáticas, axisimétricas y pueden ser transformadas en la métrica de Schwarzschild variando continuamente uno de sus parámetros (en este caso  $\gamma$ ) [124]. Por ello se piensa que ella es la mejor candidata para la búsqueda de condiciones de equilibrio hidrostático que generalizen las ecuaciones TOV a objetos con momento cuadrupolar [118, 119, 123, 124]. No obstante, como veremos en los próximos epígrafes, hasta el momento esto solo ha podido hacerse de manera aproximada.

---

<sup>II</sup>La métrica de Weyl es la solución estática y axisimétrica más general de las ecuaciones de Einstein [118, 119, 123, 124].

### 5.3.1 Ecuaciones de estructura anisotrópicas

Como la métrica  $\gamma$  puede ser llevada de manera continua hacia la de Schwarzschild, un primer paso razonable hacia la construcción de ecuaciones de estructura para objetos no esféricos, es partir de la Ec. (5.7) en el límite  $\gamma \cong 1$ , lo que es equivalente a considerar objetos poco deformados [118, 119]. Para  $\gamma \cong 1$ , las Ecs. (5.7)-(5.8) se reducen a:

$$ds^2 = -[1 - 2Gm(r)/r]^\gamma dt^2 + [1 - 2Gm(r)/r]^{-\gamma} dr^2 + r^2 \sin^2 \theta d\phi^2 + r^2 d\theta^2. \quad (5.11)$$

Si siguiendo el procedimiento explicado en la sección anterior, las ecuaciones de Einstein se resuelven utilizando la métrica Ec. (5.11) y suponiendo el tensor de energía-momento isotrópico, se obtiene la siguiente ecuación de estructura para el objeto compacto deformado [91, 92]:

$$\frac{dP}{dr} = -\frac{(E + P) \left[ \frac{r}{2} + 4\pi r^3 GP - \frac{r}{2} \left(1 - \frac{2Gm}{r}\right)^\gamma \right]}{r^2 \left(1 - \frac{2Gm}{r}\right)^\gamma}. \quad (5.12)$$

En la Ec. (5.12), la deformación entra solo a través del parámetro  $\gamma$ , y aunque ella se reduce a la Ec. (5.6) cuando  $\gamma = 1$ , en realidad no aporta ninguna información acerca de las dimensiones, más allá del radio  $R : P(R) = 0$ . Al obtenerse suponiendo el tensor de energía-momento isotrópico, la Ec. (5.12) no permite tampoco, en principio, el uso de presiones anisotrópicas.

A fin de obtener un conjunto de ecuaciones de estructura que permita tener en cuenta el carácter anisotrópico de las ecuaciones de estado, la Ec. (5.12) debe ser complementada con la información que las EdE aportan sobre el objeto compacto. Siendo el empuje de la presión hacia afuera lo que impide el colapso gravitatorio, que la presión ejercida por el gas sea diferente en las direcciones polar (paralela) y ecuatorial (perpendicular) implica que las dimensiones de la estrella a lo largo de estas direcciones son distintas. La existencia de dos radios distintos indica que los cálculos para determinar la estructura del objeto deberían llevarse a cabo, al menos, en dos dimensiones.

En [91], a fin de incluir las dos presiones en la descripción de la estructura del objeto, se propone en primer lugar, que el objeto compacto es esferoidal. La suposición de un objeto compacto esferoidal es la más simple de las compatibles con la existencia de dos radios en direcciones ortogonales, y la única admisible en nuestro caso si se tiene en cuenta que solo contamos con la información relativa a estos dos radios<sup>III</sup>. En segundo lugar, los autores de [91] proponen, como un primer paso en la descripción de estos objetos esferoidales, parametrizar la coordenada que describe la distancia en el eje polar  $z$  en términos de  $\gamma$  y la coordenada ecuatorial:

$$z = \gamma r, \quad (5.13)$$

aprovechando además el hecho de que, como se vio en el epígrafe anterior,  $\gamma$  está relacionada con la deformación del objeto. Con ayuda de la Ec. (5.13), la masa contenida en un esferoide de radio ecuatorial  $r$  y radio polar  $z = \gamma r$  puede ser calculada como [91, 92]:

<sup>III</sup>Modelos que resultan en objetos compactos axisimétricos no esferoidales pueden verse en [27].

$$\frac{dm}{dr} = 4\pi\gamma r^2 E, \quad (5.14)$$

y la Ec. (5.12) puede reescribirse en función del radio polar  $z$  [28, 93, 94]:

$$\frac{dP}{dz} = -\frac{(E + P) \left[ \frac{z}{2\gamma} + 4\pi G \left( \frac{z}{\gamma} \right)^3 P - \frac{z}{2\gamma} \left( 1 - \frac{2Gm\gamma}{z} \right)^\gamma \right]}{\left( \frac{z}{\gamma} \right)^2 \left( 1 - \frac{2Gm\gamma}{z} \right)^\gamma}. \quad (5.15)$$

Llegados a este punto, la anisotropía en las presiones puede introducirse en las ecuaciones de estructura [28, 93, 94]. Para ello se supone que la presión paralela está asociada únicamente con la coordenada  $z$ , mientras que la perpendicular lo estaría solo con  $r$ . Haciendo esto, se llega al sistema de ecuaciones diferenciales:

$$\frac{dm}{dr} = 4\pi\gamma r^2 E, \quad (5.16a)$$

$$\frac{dP_{\parallel}}{dz} = -\frac{(E + P_{\parallel}) \left[ \frac{z}{2\gamma} + 4\pi G \left( \frac{z}{\gamma} \right)^3 P_{\parallel} - \frac{z}{2\gamma} \left( 1 - \frac{2Gm\gamma}{z} \right)^\gamma \right]}{\left( \frac{z}{\gamma} \right)^2 \left( 1 - \frac{2Gm\gamma}{z} \right)^\gamma}, \quad (5.16b)$$

$$\frac{dP_{\perp}}{dr} = -\frac{(E + P_{\perp}) \left[ \frac{r}{2} + 4\pi G r^3 P_{\perp} - \frac{r}{2} \left( 1 - \frac{2Gm}{r} \right)^\gamma \right]}{r^2 \left( 1 - \frac{2Gm}{r} \right)^\gamma}, \quad (5.16c)$$

que describen la variación de la masa y las presiones con las coordenadas espaciales  $r$  y  $z$  para un objeto compacto esferoidal. Nótese que las Ecs. (5.16b) y (5.16c) están acopladas entre sí a través de su dependencia con la densidad de energía  $E$ , y la masa  $m(r)$ .

Como las Ecs. (5.16) fueron obtenidas bajo la suposición de que el objeto que se describe es un esferoide cuya deformación  $\gamma = z/r \cong 1$ , es de esperar que ellas funcionen bien siempre y cuando  $P_{\parallel} \cong P_{\perp}$ . Por otra parte, el sistema de ecuaciones Ecs. (5.16) difiere del utilizado en [28, 93, 94], en la forma de calcular la masa total (Ec. (5.16a)) y en algunos detalles de su integración numérica que serán abordados en la próxima sección.

### 5.3.2 Integración de las ecuaciones de estructura $\gamma$

En las Ecs. (5.16), las coordenadas  $z$  y  $r$ , están ligadas a través del parámetro  $\gamma$  que se ha supuesto constante. Una vez que dos de estas cantidades se fijen, la tercera queda determinada automáticamente. Por otra parte, el valor específico de  $\gamma$  se desconoce.

Para resolver este problema, en [28, 93, 94], una vez obtenidas las ecuaciones de estructura se hace  $\gamma = 1$ , y las Ecs. (5.16b) y (5.16c) se integran en  $z, r$  hasta encontrar los radios polar ( $Z$ ) y equatorial ( $R$ ) del esferoide definidos a través de las condiciones  $P_{\parallel}(Z) = 0$  y  $P_{\perp}(R) = 0$  respectivamente. El objetivo de hacer  $\gamma = 1$  es permitir que la anisotropía del esferoide resultante esté dictada únicamente

por la anisotropía en la EdE. No obstante, hacer esto incumple la suposición de que  $z = \gamma r$  y cancela la dependencia de la masa de la estrella con el radio polar (ver, por ejemplo, [28]).

Por otra parte, si  $\gamma = 1$  las ecuaciones de estructura (5.16) devienen iguales a las TOV y los efectos gravitacionales de tener un objeto deformado desaparecen. Por ello, al enfrentarnos a la resolución de las ecuaciones de estructura para objetos magnetizados en el presente trabajo decidimos tomar otra estrategia.

Comenzando desde el centro de la estrella con densidad de energía  $E_0 = E(r = 0)$ , y presiones centrales  $P_{\parallel 0} = P_{\parallel}(r = 0)$  y  $P_{\perp 0} = P_{\perp}(r = 0)$  tomadas de las ecuaciones de estado, las ecuaciones (5.16) se hacen evolucionar hasta que una de las condiciones  $P_{\parallel}(Z) = 0$  o  $P_{\perp}(R) = 0$  se alcanza. Esto determina el radio correspondiente, ( $R$  si  $P_{\perp} = 0$  y  $Z$  si  $P_{\parallel} = 0$ ), a partir del cual el otro radio puede ser calculado a través de  $Z = \gamma R$ . Posteriormente, se evalúa la masa como  $m = m(R)$ . Esta manera de proceder permite conservar los efectos de la anisotropía en la métrica, aunque nos plantea el problema de darle un valor a  $\gamma$ , que abordaremos en la sección próxima, pues existen aún dos detalles de la integración de las Ecs. (5.16) que deben ser aclarados.

El primero es relativo al significado físico de la condición de contorno utilizada. Que el radio de la estrella venga definido por las condiciones  $P_{\parallel}(Z) = 0$  o  $P_{\perp}(R) = 0$  significa que estamos considerando una EBE desnuda, sin corteza, ni atmósfera, ni magnetosfera. Estas, por supuesto, no son las únicas condiciones de contorno posibles, y en general su selección depende del número de capas que se consideren al construir el modelo de la estrella. La selección de estas condiciones de frontera específicas responde a que hasta el momento nuestro interés ha estado dirigido a determinar las propiedades de las Estrellas de condensado de Bose-Einstein magnetizadas desnudas o puras.

El segundo detalle radica en la manera en que se calcula la densidad de energía  $E$  a partir de las EdE durante la integración de las Ecs. (5.16). Para aclarar este punto, denotemos por  $c_1(N)$  y  $c_2(N)$  a las curvas paramétricas bidimensionales dadas por:

$$c_1(N) = (E(N), P_{\parallel}(N)) \quad (5.17a)$$

$$c_2(N) = (E(N), P_{\perp}(N)) \quad (5.17b)$$

con  $E(N)$ ,  $P_{\parallel}(N)$  y  $P_{\perp}(N)$  definidas por las Ecs. (4.10) con o sin término de Maxwell. Dados  $\tilde{P}_{\parallel}$  y  $\tilde{P}_{\perp}$ , obtenidos en un paso de la integración de las Ecs. (5.16), dos valores paramétricos,  $\tilde{N}_{\parallel}$  y  $\tilde{N}_{\perp}$  son calculados a partir de interpolar las Ecs. (4.10a) y (4.10b) respectivamente. Los puntos correspondientes en las curvas (5.17a) y (5.17b) son  $c_1(\tilde{N}_{\parallel}) = (\tilde{E}_{\parallel}, \tilde{P}_{\parallel})$  y  $c_2(\tilde{N}_{\perp}) = (\tilde{E}_{\perp}, \tilde{P}_{\perp})$ , donde  $\tilde{E}_{\parallel} = E(\tilde{N}_{\parallel})$  y  $\tilde{E}_{\perp} = E(\tilde{N}_{\perp})$ . Por tanto, en el próximo paso de la integración, el miembro derecho de la Ec. (5.16b) se actualiza utilizando el punto  $c_1(\tilde{N}_{\parallel})$  con  $E = \tilde{E}_{\parallel}$  y  $P_{\parallel} = \tilde{P}_{\parallel}$ , mientras que el miembro derecho de Ec. (5.16c) se actualiza con  $c_2(\tilde{N}_{\perp})$  a partir de tomar  $E = \tilde{E}_{\perp}$  y  $P_{\perp} = \tilde{P}_{\perp}$ .

La existencia de dos valores de la densidad de energía en cada paso de integración, introduce la interrogante de cuál seleccionar a la hora de calcular la masa del objeto compacto Ec. (5.16a). Como estamos trabajando con un objeto anisotrópico, la variación de su densidad de masa también debe ser diferente en las direcciones paralela y perpendicular al eje magnético. A lo largo de la dirección

ecuatorial, la densidad de masa es igual a:

$$dm = 4\pi\gamma r^2 E_{\parallel} dr, \quad (5.18)$$

mientras que en la dirección polar ella es:

$$dm = 4\pi \frac{z^2}{\gamma^2} E_{\perp} dz. \quad (5.19)$$

En las Ecs. (5.18) y (5.19) se han usado las densidades de energía paralela y perpendicular en dependencia de la dirección en que se realiza la diferenciación. Si ahora tomamos en cuenta que  $z = \gamma r$ , la Ec. (5.19) puede transformarse en:

$$dM = 4\pi\gamma r^2 E_{\perp} dr. \quad (5.20)$$

Sumando las Ecs. (5.18) y (5.20), se obtiene:

$$\frac{dM}{dr} = 4\pi\gamma r^2 \frac{E_{\parallel} + E_{\perp}}{2}. \quad (5.21)$$

La Ec. (5.21) indica que, si no se quiere perder información acerca de la anisotropía en la densidad de masa, el lado derecho de la Ec. (5.16a) debe ser actualizado con la densidad de energía media  $E = (\tilde{E}_{\parallel} + \tilde{E}_{\perp})/2$ .

Finalmente, teniendo en cuenta lo que se acaba de discutir, el sistema de ecuaciones de estructura Ecs. (5.16) puede ser reescrito como:

$$\frac{dm}{dr} = 4\pi r^2 \frac{(E_{\parallel} + E_{\perp})}{2} \gamma, \quad (5.22a)$$

$$\frac{dP_{\parallel}}{dz} = \frac{1}{\gamma} \frac{dP_{\parallel}}{dr} = - \frac{(E_{\parallel} + P_{\parallel})[\frac{r}{2} + 4\pi r^3 G P_{\parallel} - \frac{r}{2}(1 - \frac{2Gm}{r})\gamma]}{\gamma r^2 (1 - \frac{2Gm}{r})\gamma}, \quad (5.22b)$$

$$\frac{dP_{\perp}}{dr} = - \frac{(E_{\perp} + P_{\perp})[\frac{r}{2} + 4\pi r^3 G P_{\perp} - \frac{r}{2}(1 - \frac{2Gm}{r})\gamma]}{r^2 (1 - \frac{2Gm}{r})\gamma}. \quad (5.22c)$$

Las Ecs. (5.22) continúan acopladas entre sí a través de la masa y su dependencia en las densidades de energía paralela y perpendicular. Nótese además que en el caso en que  $\gamma = 1$  las ecuaciones TOV son recuperadas.

### 5.3.3 El *ansatz* $\gamma = P_{\parallel 0}/P_{\perp 0}$

Para estudiar la estructura de estrellas anisotrópicas con la ayuda de las Ecs. (5.22) es necesario fijar de alguna manera el valor del parámetro  $\gamma$ . Desde el punto de vista matemático y geométrico, el parámetro  $\gamma$  determina la deformación del objeto compacto, por tanto él debe estar relacionado de alguna manera con la anisotropía en las EdE, que es la causa física de la deformación. Como además

$\gamma = z/r$ , el problema ahora consiste en establecer una relación entre los radios polar y ecuatorial con las presiones en las direcciones paralela y perpendicular.

Para ello se apelará a los resultados obtenidos previamente durante el trabajo con objetos compactos con el mismo tipo de anisotropía magnética [26,81]. En dichos trabajos, se utilizan dos aproximaciones distintas para hallar los radios polar y ecuatorial de Enanas Blancas y Estrellas de Quakrs magnetizadas. La primera consiste en utilizar las TOV de manera independiente para cada una de las presiones. La segunda, en el uso de ecuaciones de estructura anisotrópicas en simetría cilíndrica. Más allá de las diferencias numéricas, determinadas tanto por el carácter aproximado de ambos procedimientos como por las diferencias entre las ecuaciones de estructura utilizadas, los resultados de ambos métodos coinciden en que, dada una densidad de energía central  $E_0$ , el mayor radio corresponde a la mayor presión central. Un comportamiento similar se aprecia si las TOV son resueltas de manera independiente para cada una de las presiones involucradas en las EdE de las Estrellas de condensado de Bose-Einstein magnetizadas, Ecs. (4.10), como muestra el panel izquierdo de la Fig. 5.1. En este caso  $B$  se supone constante y el término de Maxwell no ha sido tenido en cuenta, por tanto  $P_{\parallel 0} > P_{\perp 0}$ , y en consecuencia  $R_{\parallel} > R_{\perp}$ .

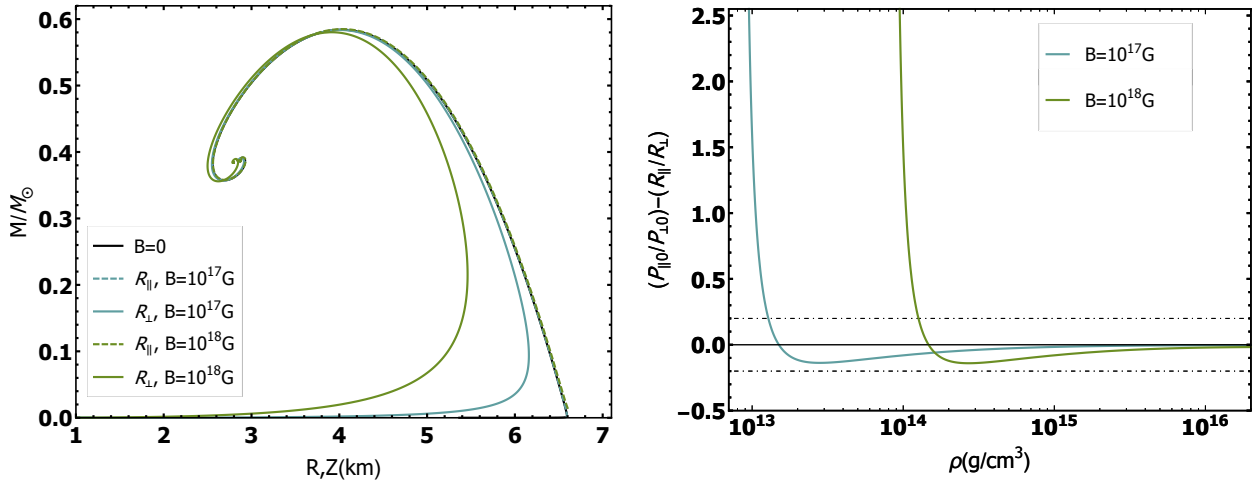


Figura 5.1: Izquierda: Relación masa-radio que resulta de resolver de manera independiente para cada una de las presiones las TOV para las EdE de una Estrella de condensado de Bose-Einstein con  $B$  constante sin la contribución de Maxwell. Derecha: La diferencia entre las razones como función de la densidad de masa de los bosones.

Si tenemos en cuenta además que en el caso isotrópico dada una EdE, las masas y radios están unívocamente determinados por los valores de densidad de energía y presión en el centro de la estrella, es posible establecer la existencia de cierta proporcionalidad entre los radios y las presiones centrales correspondientes. La existencia de una dependencia entre el radio de una estrella y su presión central es un hecho bastante bien establecido en la literatura, aunque su forma específica, en general, se desconoce [125]. Esta parece ser muy dependiente del modelo, pues incluso en los casos sencillos que por tener solución analítica permiten relacionar a  $R$  y  $P_c$  de forma explícita, dicha relación

cambia notablemente de un modelo a otro. Por ejemplo, si se toma el límite de compacidad para las ecuaciones de estructura newtonianas en simetría esférica se obtiene que  $R \propto \sqrt{P_c}$ , mientras que este mismo límite para las TOV arroja  $R \propto 1/\sqrt{P_c}$ , algo que no solo difiere del caso newtoniano, sino que está en contradicción con los resultados mostrados en la Fig. 5.1.

Un primer paso al enfrentar este problema es suponer que la dependencia de los radios de la estrella con las presiones centrales es lineal, de manera que entonces  $Z \propto P_{\parallel 0}$  y  $R_{\perp} \propto P_{\perp 0}$ . Teniendo en cuenta estas relaciones de proporcionalidad de conjunto con la Ec. (5.13) se llega a:

$$\gamma = \frac{P_{\parallel 0}}{P_{\perp 0}}. \quad (5.23)$$

La Ec. (5.23) conecta la geometría del OC deformado con la anisotropía en las presiones del gas magnetizado que lo compone. Ella implica además que la deformación del objeto compacto descrito por las Ecs. (5.22)-(5.23) está determinada únicamente por la anisotropía en su centro. No obstante, es bueno aclarar, que los radios no solo dependen de la presión central sino de cómo esta evoluciona en el interior de la estrella, y por tanto, de la forma de la EdE. Igualmente es bueno no perder de vista que la Ec. 5.23 es un *ansatz* ya que de hecho, la magnitud de la deformación de la estrella debida al campo magnético debería poder obtenerse como resultado de integrar las ecuaciones de estructura y no tener que introducirse a priori en ellas. Si esto ha de hacerse así es porque al deducir las Ecs. (5.22),  $\gamma$  se supuso constante. En este sentido, el próximo paso en la resolución de este problema sería intentar la obtención de nuevas ecuaciones de estructura a partir de la métrica Ec. (5.11) suponiendo que  $\gamma$  depende de  $r$ .

A fin de tener una idea de cuán apropiado es considerar la dependencia lineal de los radios con las presiones centrales, en el panel izquierdo de la Fig. 5.1 se ha graficado la diferencia  $(P_{\parallel 0}/P_{\perp 0}) - (R_{\parallel}/R_{\perp})$  que se obtiene de resolver TOV de manera independiente para las dos presiones dadas por las EdE de las EBE magnetizadas (panel izquierdo de la Fig. 5.1). En la región de altas densidades, en la cual la anisotropía es despreciable, vemos que la diferencia entre ambas razones es también despreciable. A medida que la densidad se hace menor, dicha diferencia comienza a aumentar de forma no lineal, pero aún se mantiene cercana a cero hasta que las densidades se acercan al valor en el que ocurre el colapso magnético. Es de esperar entonces que sea en las cercanías de las regiones inestables en donde nuestro *ansatz* deje de funcionar bien.

Finalmente, es importante notar que en el caso  $B = 0$ , como  $P_{\perp} = P_{\parallel}$  el *ansatz* que hemos propuesto sobre el valor de  $\gamma$  da automáticamente  $\gamma = 1$  y el caso isotrópico es recuperado.

La aproximación propuesta para  $\gamma$  da resultados razonables para pequeñas desviaciones de la configuración esférica, es decir para  $\gamma \cong 1$ , como sucede para las densidades de energía y campos magnéticos en las Enanas Blancas [114]. No obstante, una mejora sobre nuestras ecuaciones de estado y sobre el *ansatz* se impone si queremos describir objetos altamente deformados.

## 5.4 Conclusiones del capítulo

En este capítulo, a partir de la métrica  $\gamma$  y de las EdE anisotrópicas de un gas magnetizado, se ha obtenido un sistema de ecuaciones de estructura para objetos compactos esferoidales, las Ecs. (5.22). Dichas ecuaciones describen la variación de la masa y las presiones internas de la estrella con los radios polar y ecuatorial  $z, r$ . Ellas son válidas siempre que el OC descrito no se aleje mucho de la forma esférica y sus soluciones dependen del valor del parámetro  $\gamma = z/r$ , que está relacionado con la deformación del objeto.

Teniendo en cuenta el hecho de que para las TOV, dada una misma densidad de energía central, mientras menor es la presión, menor es el radio del OC, hemos propuesto interpretar  $\gamma$  como la razón entre las presiones centrales perpendicular y paralela de la estrella. Para  $B = 0$  nuestro modelo da automáticamente  $\gamma = 1$  y las Ecs. (5.22) se reducen a las ecuaciones TOV. Si  $B \neq 0$ , en cambio, el *ansatz* sobre  $\gamma$  permite conectar, al menos en una primera aproximación, la deformación del objeto compacto con la física que la produce.

La combinación de las Ecs. (5.22) con el *ansatz* Ec. (5.23) permite determinar la masa total y los radios de cualquier objeto compacto magnetizado. Estas ecuaciones tienen además la ventaja de proporcionar información física relevante sobre el OC a un bajo costo computacional. En el próximo capítulo, las Ecs. (5.22) serán utilizadas para estudiar la estructura de Estrellas de condensado de Bose-Einstein magnetizadas.

## Capítulo 6

# Relación masa-radio y perfiles de campo magnético para Estrellas de condensado de Bose-Einstein magnetizadas y automagnetizadas

En este capítulo se estudian los efectos del campo magnético en la estructura, masa, radio y deformación, de Estrellas de condensado de Bose-Einstein. Para ello se combinan las ecuaciones de estado obtenidas en el Capítulo 4 con las ecuaciones de estructura derivadas en el Capítulo 5. Como en el Capítulo 4, el estudio se hará suponiendo en un caso que el campo magnético es constante en el interior de la estrella y en otro que es generado por los bosones a través de la automagnetización, esto último con el objetivo contribuir a una modelación más realista de los objetos compactos. A fin de evaluar si la automagnetización es un mecanismo válido para la producción del campo magnético estelar, sus perfiles en el interior de la estrella serán calculados y comparados con los estimados observacionales y teóricos. Este capítulo contiene los resultados originales de la autora recogidos en [115].

### 6.1 Relación masa-radio de Estrellas de condensado de Bose Einstein

El objetivo último de la modelación de cualquier objeto compacto es la obtención de sus observables, pues ellos no solo permiten validar el modelo en cuestión a través de compararlos con datos observacionales, sino que son cruciales para la interpretación de estos últimos [27]. Los observables derivados de un modelo específico dependen de las aproximaciones hechas durante la obtención de las EdE y, muy especialmente, de las ecuaciones de estructura [126].

Al utilizar las ecuaciones de estructura presentadas en el Capítulo 5, se está suponiendo que las Estrellas de condensado de Bose-Einstein son objetos estáticos esferiodales. Esto, en principio, permite determinar la masa, los radios polar y ecuatorial, el momento de inercia, el momento cuadrupolar y el corrimiento al rojo gravitacional [126]. En la tesis nos concentraremos en el estudio de los efectos del

campo magnético en la masa y los radios de la EBE. pues estos son los observables más importantes y los demás pueden ser calculados a partir de ellos. En el caso de campo magnético autogenerado, nuestro modelo aporta además un tercer observable: el campo magnético en la superficie del OC.

Sin embargo, magnitudes igualmente importantes relacionadas con las variaciones del período de rotación de las EBE y la producción de ondas gravitacionales no pueden ser estudiadas con nuestras ecuaciones de estructura porque en ellas están no incluidos los efectos de la rotación [126]. Desde el punto de vista teórico, tener en cuenta la rotación de la estrella ayuda a estabilizarla y prevenir el colapso gravitacional, al tiempo que permite masas mayores y convierte al OC en un objeto oblató. No obstante, cuantitativamente estos cambios suelen ser muy ligeros con respecto al caso estático, incluso cuando el OC rota a su frecuencia kepleriana<sup>I</sup> (Fig. 6.1). Por ello, a pesar de que está comprobado que la mayoría de los objetos compactos conocidos rotan, la descripción teórica de OC estáticos continúa siendo un paso imprescindible en su modelación. En este sentido es importante resaltar que, dadas unas EdE específicas, el estudio de las configuraciones estelares estáticas permite saber si la materia que ellas describen autogravita y, por tanto, si es posible la existencia de estrellas compuestas por esta materia; asimismo, a partir de estas soluciones es posible conocer si las magnitudes derivadas de esas EdE son compatibles con las observaciones y, en el caso de estrellas magnetizadas, estudiar los efectos relacionados exclusivamente con el campo magnético.

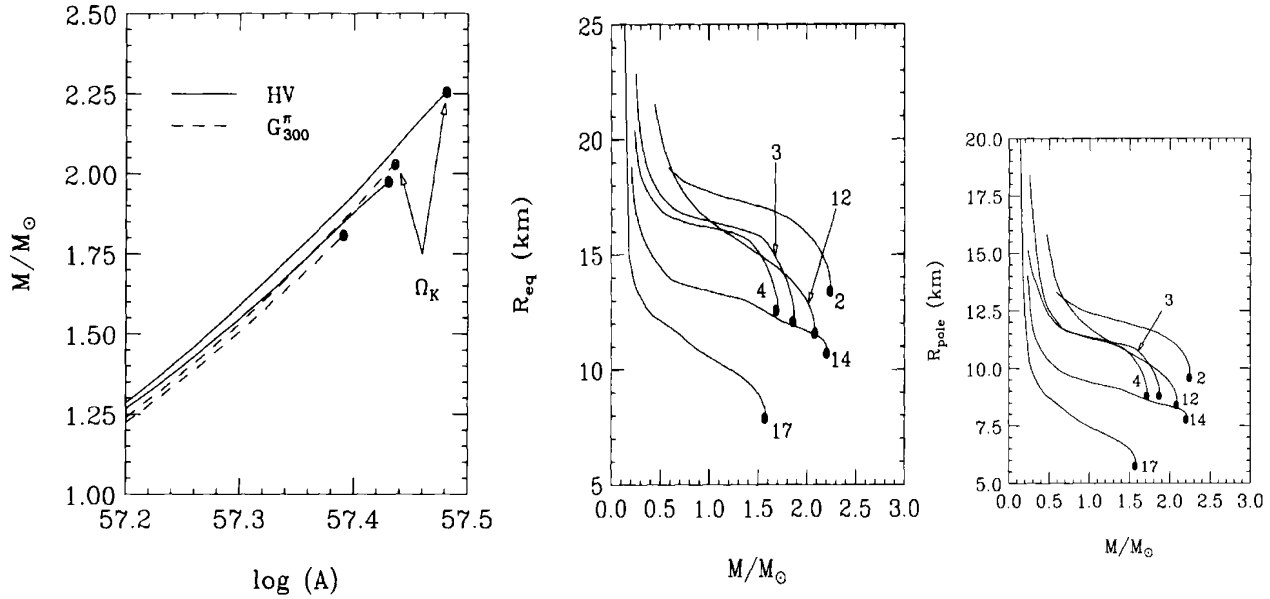


Figura 6.1: De izquierda a derecha: La masa de la estrella como función del número total de bariones en la misma para dos ecuaciones de estado de EN, HV y  $G_{300}^{\pi}$ , sin y con rotación (líneas sólidas y punteadas respectivamente). La curvas masa radio para el radio ecuatorial (centro) y polar (derecha) para estas mismas estrellas. Nótese que la diferencia entre los casos con y sin rotación es mínima. [126]

<sup>I</sup>Se conoce como frecuencia kepleriana a la máxima frecuencia con la que un OC puede rotar sin desintegrarse.

## 6.2 Estrellas de condensado de Bose-Einstein con campo magnético constante

En esta sección se discuten los resultados obtenidos al resolver las ecuaciones de estructura, Ecs. (5.22), para las EdE obtenidas en el Capítulo 4 para las Estrellas de condensado de Bose-Einstein con campo magnético constante. Aunque las EdE de estas estrellas contienen el término de Maxwell, en lo que sigue se muestran también las soluciones de las ecuaciones de estructura para las EdE sin la contribución de Maxwell. Esto se ha hecho a fin de tener una mejor valoración del impacto de la contribución de Maxwell en el proceso de construcción de la estrella. Como veremos, las diferencias son apreciables aun en el caso en que se tomen densidades centrales relativamente altas. Esto refuerza el hecho de que la estructura de la estrella depende de toda la EdE y por tanto es siempre sensible a los efectos del campo magnético aunque en las EdE la anisotropía solo sea apreciable a bajas densidades.

En la Fig. 6.2 se muestran los resultados de integrar las ecuaciones de estructura  $\gamma$  para  $B = 0$ ,  $B = 10^{17}\text{G}$  y  $B = 10^{18}\text{G}$  para las EdE Ecs. (4.10) sin la contribución de Maxwell. Como puede verse en el panel superior izquierdo, en el caso no magnetizado ( $B = 0$ ), la curva de  $M$  vs  $\rho_0$  muestra una región de configuraciones estelares estables cuya masa máxima es  $M \approx 0,58M_\odot$ , con radio  $R \approx 4,2$  km y densidad de masa central  $\rho_0 \approx 1,5 \times 10^{16}$  g/cm<sup>3</sup>. Este resultado está en concordancia con lo obtenido en [19]. Un campo magnético constante no cambia la forma de la curva  $M$  vs  $\rho_0$ , pero disminuye ligeramente la masa. Dicha disminución es mayor a bajas densidades aunque aún notable para las más altas, como puede ser apreciado en el recuadro del panel izquierdo superior de la Fig. 6.2.

La influencia del campo magnético constante en la forma y tamaño de las EBE es más dramática. El campo magnético no solo deforma el objeto, sino además disminuye su tamaño. Ambos efectos pueden verse en los paneles superior derecho e inferior izquierdo de la Fig. 6.2. Como  $\gamma = z/r = P_{\parallel 0}/P_{\perp 0}$ , el radio polar  $Z$  es siempre mayor que el ecuatorial  $R$  (porque cuando la contribución de Maxwell es ignorada  $P_{\parallel} > P_{\perp}$ ). Esto significa que la estrella resultante es un objeto prolato. En la región de bajas densidades hay una enorme desviación con respecto a la curva de  $B = 0$  y ambos radios decrecen con la densidad en lugar de tender a un valor constante. Este decrecimiento está relacionado con la región de inestabilidad que muestran las EdE en forma tal que a medida que  $P_{\perp 0}$  se acerca a cero, la estrella deviene menor y menos masiva.

Nótese que cuando la densidad de masa central para la cual  $P_{\perp 0} = 0$  es aproximada,  $\gamma \rightarrow \infty$ . La densidad de masa a la cual  $\gamma$  diverge ha sido señalada con las líneas grises verticales en el panel inferior izquierdo de la Fig. 6.2, pero en realidad, como ellas están por debajo de la densidad nuclear no se espera que existan en el núcleo de nuestras estrellas<sup>II</sup>. Para  $\rho_0 = \rho_{nuc}$  los valores de  $\gamma$  son bastante moderados, como se muestra en el recuadro del panel inferior derecho de la Fig. 6.2, pero la deformación es aún notable. En las regiones de más alta densidad de masa,  $\gamma \rightarrow 1$  y las estrellas son casi esféricas.

Las configuraciones estables de masa y radio obtenidas con la contribución de Maxwell, nuestras

---

<sup>II</sup>Aunque mostramos los resultados de integrar las ecuaciones de estructura para toda la región de densidades de masa en la que la EdE es estable, no debe olvidarse que el núcleo de una EN está definido por  $\rho > \rho_{nuc}$ , y por tanto, las soluciones con  $\rho_0 < \rho_{nuc}$  deben descartarse.

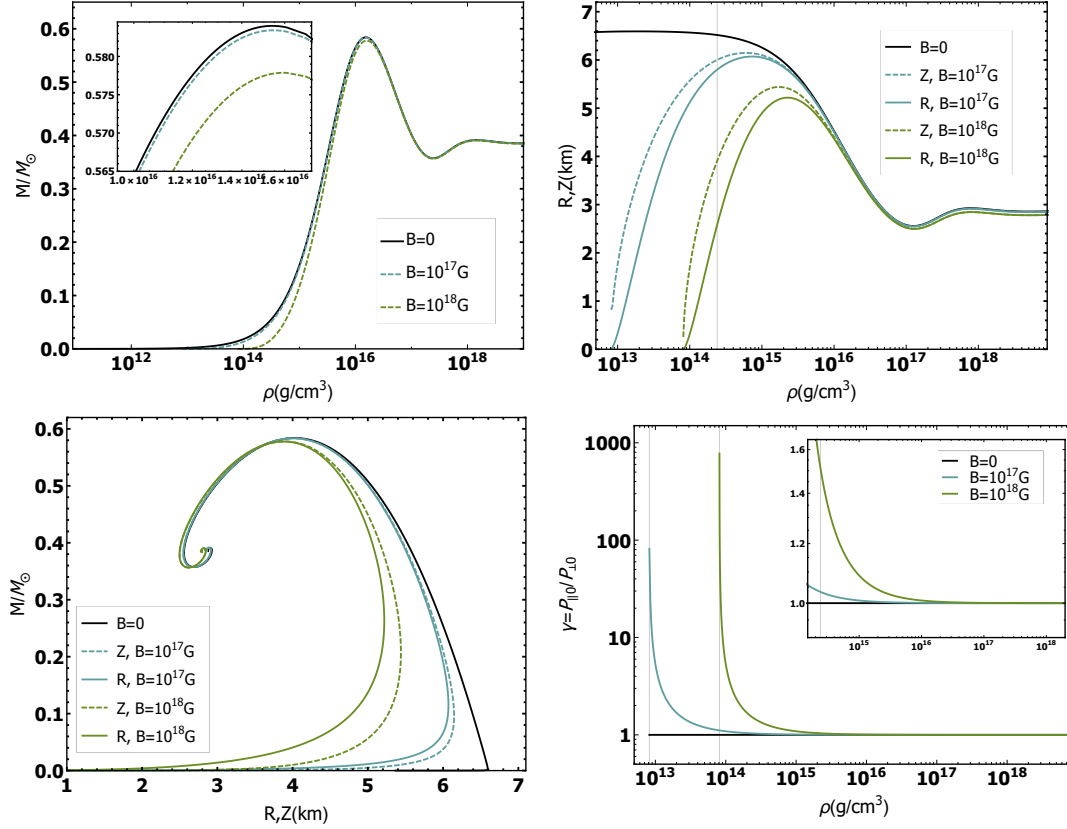


Figura 6.2: Los resultados de resolver las ecuaciones de estructura  $\gamma$  para la EdE sin la contribución de Maxwell. Paneles superiores: la masa total y los radios ecuatoriales y polares de la estrella en función de la densidad de masa central. Panel inferior izquierdo: relaciones masa-radio con el radio ecuatorial (líneas continuas) y el polar (líneas discontinuas). Panel inferior derecho: el parámetro  $\gamma$  como función de la densidad de masa central. Las líneas verticales señalan las densidades en las que  $P_{\parallel} = 0$  y  $\gamma \rightarrow \infty$  para un campo magnético dado. La línea vertical en el recuadro señala  $\rho_{nuc}$ .

EBE magnetizadas, se muestran en la Fig. 6.3. Como se vio al estudiar las EdE, incluir los términos de Maxwell refuerza los efectos del campo magnético, de manera que ahora la disminución de la masa y el tamaño de las estrellas es mayor y se aprecia fácilmente en todo el rango de densidades considerado. En este caso  $P_{\parallel} < P_{\perp}$ , por tanto  $\gamma < 1$ , el radio ecuatorial es menor que el polar y la estrella es oblonga. El radio ecuatorial aumenta cuando la densidad de masa disminuye, mientras que el polar disminuye, llegando a alcanzar la diferencia entre ambos hasta cuatro órdenes para  $B = 10^{17}$  G (véase el panel inferior derecho de la Fig. 6.3). Este comportamiento de los radios, al igual que el nuevo pico que aparece en la curva  $M$  vs  $\rho_o$ , está relacionado con el hecho de que cuando  $P_{\parallel 0} \rightarrow 0$ ,  $\gamma \rightarrow 0$ , como se muestra en el panel inferior derecho de la Fig. 6.3. Hacer  $\gamma = 0$  transforma la métrica  $\gamma$  en el espacio-tiempo plano de Minkowski [119], por tanto, las soluciones de las ecuaciones de estructura alrededor de este límite carecen para el presente estudio de interés físico.

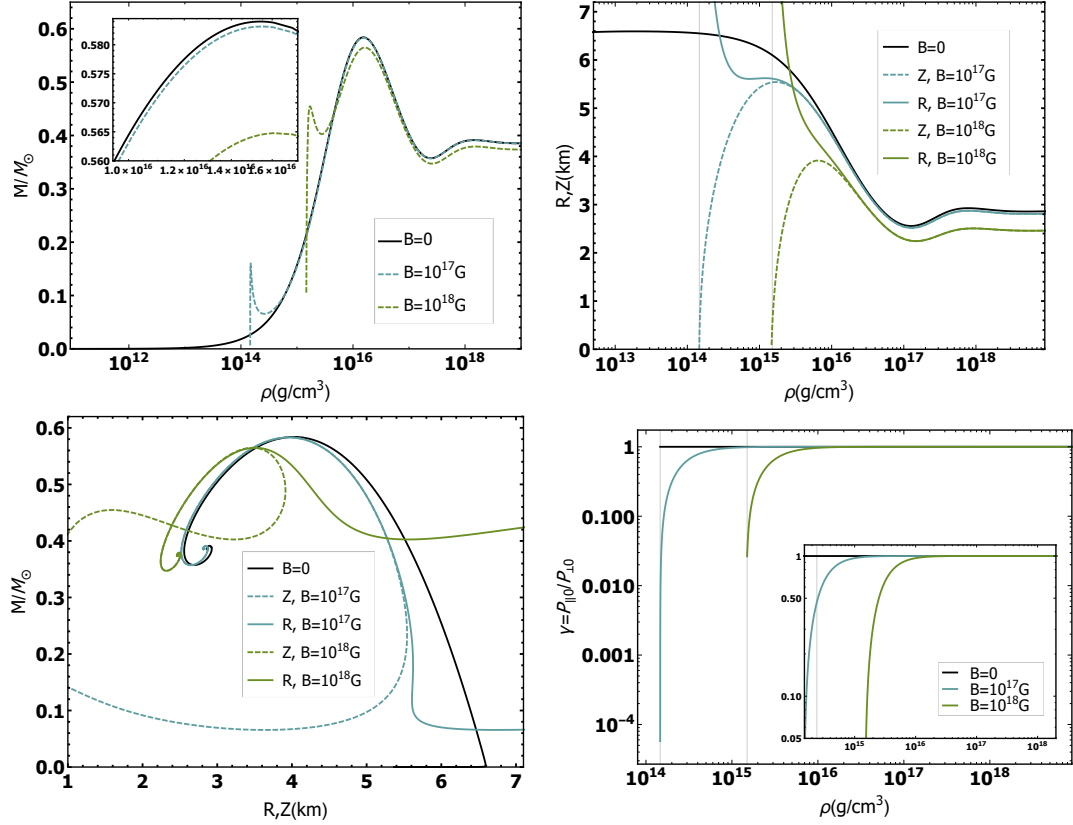


Figura 6.3: Los resultados de resolver las ecuaciones de estructura  $\gamma$  para la EdE con la contribución de Maxwell. Paneles superiores: la masa total y los radios ecuatoriales y polares de la estrella en función de la densidad de masa central. La línea vertical señala  $\rho_{nuc}$ . Panel inferior izquierdo: relaciones masa-radio con el radio ecuatorial (líneas continuas) y el polar (líneas discontinuas). Panel inferior derecho: el parámetro  $\gamma$  en función de la densidad de masa central. Las líneas verticales señalan las densidades en las que  $P_{\parallel} = 0$  y  $\gamma \rightarrow 0$ . La línea vertical en el recuadro señala  $\rho_{nuc}$ .

### 6.3 Estrellas de condensado de Bose-Einstein automagnetizadas y perfiles de campo magnético

En esta sección se resuelven las ecuaciones de estructura Ecs. (5.22) para las EdE Ecs. (4.10) con el campo magnético dado como función de la densidad de masa a través de Ec. (2.57). Los resultados se muestran en la Fig. 6.4.

Las curvas de masa y radios correspondientes a las estrellas de condensado de Bose-Einstein magnetizadas se superponen casi perfectamente con las de campo cero, y la influencia del campo magnético en la masa, el tamaño y la forma de la estrella es realmente pequeña (véase el recuadro en el panel superior derecho de la Fig. 6.4). La razón de esto radica en la disminución del campo magnético autogenerado con la densidad de partículas, que disminuye la anisotropía de manera tal

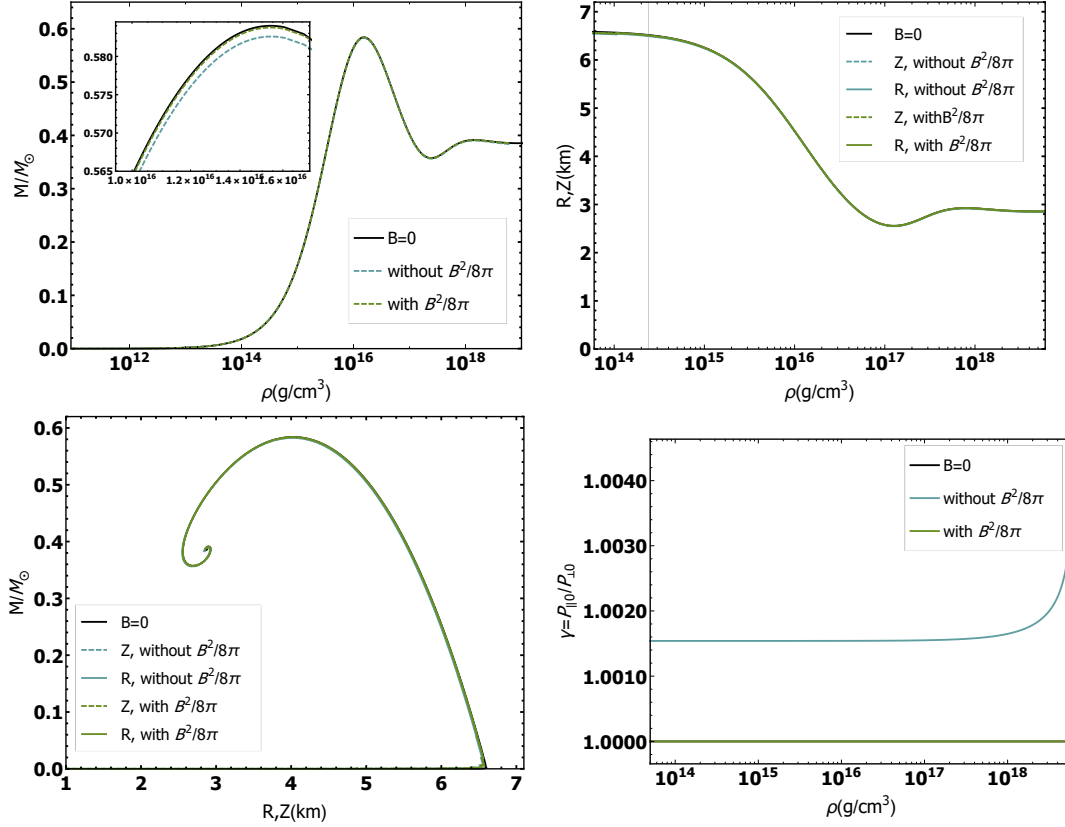


Figura 6.4: Los resultados de resolver las ecuaciones de estructura  $\gamma$  para la EdE con campo magnético autogenerado. Paneles superiores: la masa total de la estrella y los radios ecuatorial y polar en función de la densidad de masa central. La línea vertical marca  $\rho_{nuc}$ . Panel inferior izquierdo: relaciones masa-radio con el radio ecuatorial (líneas continuas) y el polar (líneas discontinuas). Panel inferior derecho: el parámetro  $\gamma$  en función de la densidad de masa central.

que la inestabilidad en las presiones no aparece nunca. Como resultado, las estrellas de condensado de Bose-Einstein se desvían ligeramente de la forma esférica y sus masa apenas disminuyen con respecto al caso no magnetizado, siendo  $\gamma \cong 1$  en todo el rango de densidades centrales considerado.

El uso de la Ec. (2.57) de conjunto con las EdE, permite calcular la intensidad del campo magnético  $B$  de manera autoconsistente durante la integración de las ecuaciones de estructura. Los perfiles de campo magnético interno obtenidos se muestran en la Fig. 6.5 como función del radio ecuatorial de la estrella para varios valores de la densidad de masa central. El panel derecho (izquierdo) de la figura muestra las curvas para las EdE sin (con) la contribución de Maxwell. En el centro de la estrella, dada una misma densidad central, los valores del campo magnético autogenerado son los mismos en ambos casos. Pero el decrecimiento del campo magnético en la superficie de la estrella es mayor cuando se incluye la contribución de Maxwell, estando la variación alrededor de los tres (cuatro) órdenes para las EdE con (sin) ella (véase la Tabla 6.1). En ambos casos los valores de  $B$  en el centro y la superficie

de la estrella están en el orden de los estimados para ENs [2, 7, 127].

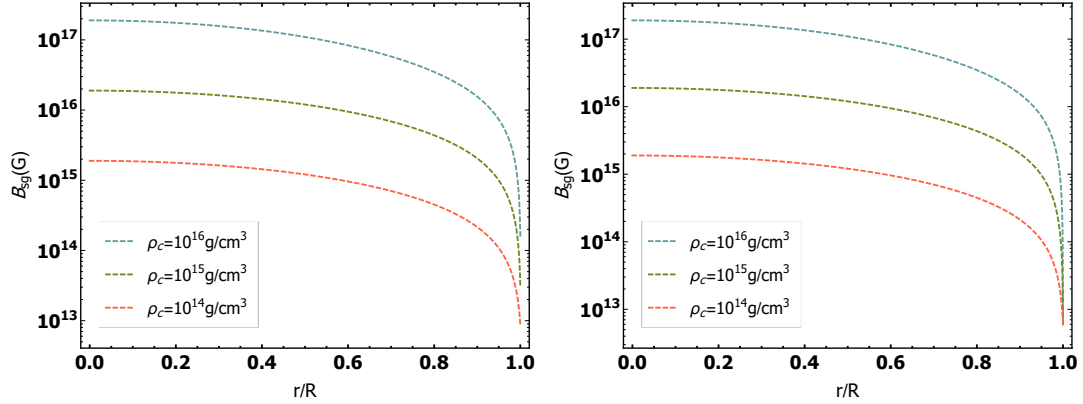


Figura 6.5: La intensidad del campo magnético en el interior de la Estrella de condensado de Bose-Einstein automagnetizada como función del radio ecuatorial para varios valores de la densidad de masa central. Panel izquierdo: EdE sin la contribución de Maxwell; panel derecho: EdE con la contribución de Maxwell.

Los resultados de esta sección validan la automagnetización de los bosones de spin uno como fuente de campo magnético no solo en el caso de Estrellas de condensado de Bose-Einstein magnetizadas, sino también para otros modelos de estrellas en los cuales este tipo de partículas esté presente. Uno de los méritos de nuestra propuesta es, sin dudas, el hecho de que los bosones generan un campo cuyos valores son consistentes con los estimados observacionales y teóricos. A ello súmese, que los perfiles de campo magnético se obtienen de manera natural a partir de la solución de las ecuaciones de estructura. Una vez que se fija su orientación, el campo magnético se obtiene de primeros principios, libre de suposiciones heurísticas (ver [117]).

$\rho_0(\text{g/cm}^3)$	$B_0(\text{G})$	$B_s(\text{G})$	Maxwell
$10^{14}$	$1,89 \times 10^{15}$	$5,99 \times 10^{12}$	con
		$8,87 \times 10^{12}$	sin
$10^{15}$	$1,89 \times 10^{16}$	$5,99 \times 10^{12}$	con
		$3,27 \times 10^{13}$	sin
$10^{16}$	$1,89 \times 10^{17}$	$5,99 \times 10^{12}$	con
		$1,62 \times 10^{14}$	sin

Tabla 6.1: La intensidad del campo magnético autogenerado en el centro y la superficie de la estrella para distintos valores de la densidad de masa central.

## 6.4 Conclusiones del capítulo

En este capítulo hemos obtenido las masas y radios de Estrellas de condensado de Bose-Einstein magnetizadas y automagnetizadas. Para ello se resolvieron las ecuaciones de estructura derivadas en

el Capítulo 5 de conjunto con las EdE obtenidas en el Capítulo 4. En el caso de las Estrellas de condensado de Bose-Einstein automagnetizadas, fue posible además estudiar los perfiles de campo magnético en su interior. Los resultados obtenidos conducen a las siguientes conclusiones:

- Para campo magnético constante:
  - Las estrellas (no esféricas) de condensado de Bose-Einstein magnetizadas son en general menos masivas y más pequeñas que sus análogas no magnetizadas (esféricas).
  - El objeto compacto resultante es oblato o prolato en dependencia de en qué dirección se ejerce la mayor de las presiones. En nuestro modelo, debido a que para las EdE de las EBE (con término de Maxwell incluido) la presión mayor es la perpendicular al campo, las EBE magnetizadas son oblatas.
  - El comportamiento extremo de las masas, los radios y la forma de la estrella en la proximidad de la zona donde comienza la inestabilidad de la presión está relacionado con la EdE pero también con las propiedades de las ecuaciones de estructura  $\gamma$  en los límites  $\gamma \rightarrow \infty$  y  $\gamma \rightarrow 0$ . Por ello, un estudio detallado de dichos límites se hace necesario.
- Para campo magnético autogenerado:
  - Los cambios en la masa y la forma de la estrella son pequeños en comparación con el caso no magnetizado.
  - Los perfiles de campo magnético obtenidos, así como sus valores extremos, están en el orden de los estimados observacionales y teóricos para Estrellas de Neutrones. Esto valida a la automagnetización de los bosones vectoriales como mecanismo de generación de campo magnético en los objetos compactos. Con respecto a esto, nos gustaría resaltar, que la automagnetización provee una manera natural de introducir el campo magnético estelar de forma tal que dicho campo es producido directamente por la materia que compone el objeto magnetizado.

Al igual que en el Capítulo 4, los resultados de este capítulo dependen de la forma en que se modela el campo magnético. En lo que respecta a los observables, esto es una ventaja, pues podría ayudar a discriminar entre un modelo y otro a partir de las observaciones.

# Conclusiones

Motivados por el vertiginoso desarrollo que las observaciones astrofísicas han experimentado en las últimas décadas y por la necesidad de contar con modelos que permitan su correcta interpretación, así como por el interés que comprende para la física dilucidar las leyes que rigen el comportamiento de la materia en las condiciones extremas que se dan en los objetos compactos, al comenzar el trabajo que culmina con la presente tesis, nos propusimos como objetivo general **estudiar las propiedades termodinámicas de un gas ideal magnetizado de bosones vectoriales neutros y aplicarlas al estudio de los efectos del campo magnético en la materia que forma las ENs, considerando como casos particulares los *jets* astrofísicos y las Estrellas de condensado de Bose-Einstein**. Una vez desarrolladas las investigaciones necesarias para la consecución de este objetivo, consideramos que los principales resultados y conclusiones obtenidos son:

- El cálculo del espectro energético y la caracterización termodinámica del gas magnetizado de bosones vectoriales masivos y neutros en el límite de baja temperatura, y para una y tres dimensiones (Capítulo 2 y [32, 38, 97]).

Este estudio fue realizado en el marco de la teoría de Proca para partículas masivas de spin uno y tiene un carácter general, aunque la motivación principal para llevarlo a cabo radicó en sus posibles aplicaciones astrofísicas. En la tesis, sus resultados fueron utilizados para describir la composición y origen de los *jets* astrofísicos emitidos por Estrellas de Neutrones, para estudiar los efectos del campo magnético en las ecuaciones de estado y la estructura de Estrellas de condensado de Bose-Einstein, y para explicar la generación de campos magnéticos estelares.

- La demostración de que para un gas magnetizado de bosones vectoriales masivos y neutros, tanto la condensación de Bose-Einstein como la anisotropía en las presiones, el colapso magnético y la automagnetización ocurren para valores de  $B$ ,  $N$  y  $T$  en el orden de los típicos para las Estrellas de Neutrones (Capítulo 2 y [97]).

La relevancia de estos fenómenos para la descripción teórica de la materia que compone las Estrellas de Neutrones se comprobó en los dos modelos desarrollados en la tesis (Capítulos 3, 4 y 6, y [112, 115]).

- La proposición y validación de un mecanismo para la producción y mantenimiento de los *jets* astrofísicos originados en las ENs a partir de los resultados obtenidos en el estudio del colapso magnético de un gas *npe* parcialmente bosonizado (Capítulo 3 y [112]).

Dicho mecanismo se basa en las propiedades de los gases cuánticos fuertemente magnetizados: la expulsión de la materia hacia el exterior de la estrella se produce a raíz del colapso magnético de los gases de electrones y protones, mientras que los fuertes campos magnéticos que garantizan la colimación de la materia una vez que abandona la estrella pueden ser el resultado de la automagnetización del gas *npe*.

- La obtención de las ecuaciones de estado y de la estructura de estrellas de condensado de Bose-Einstein magnetizadas (Capítulos 4 y 6, y [115]).

Para ello se combinaron en la descripción termodinámica los efectos del campo magnético con los de la interacción bosón-bosón, que fue descrita como una interacción de contacto por pares. Por otra parte, al incluir el campo magnético en las ecuaciones de estado de la estrella se consideraron dos modelos. En uno el campo magnético es constante y se fija externamente, mientras que en el otro es generado por la automagnetización de los bosones.

- La construcción de un sistema de ecuaciones de estructura capaz de describir objetos compactos esferoidales con anisotropía magnética (Capítulo 5 y [114]).

La obtención de estas ecuaciones se hizo partiendo de una métrica axisimétrica, la métrica  $\gamma$ , y su principal ventaja es que permiten tomar en cuenta el efecto de las dos presiones simultáneamente. Ellas describen la variación de las presiones paralela y perpendicular, y de la masa de un objeto compacto esferoidal para el cual la razón entre los radios polar y ecuatorial viene dada por el parámetro  $\gamma$ . A fin de conectar la deformación del objeto compacto con las causas físicas que la producen, el parámetro  $\gamma$  se supone igual a la razón entre las presiones perpendicular y paralela en el centro de la estrella. Las ecuaciones de estructura obtenidas, a las cuales hemos llamado ecuaciones de estructura  $\gamma$ , tienen un carácter general y sirven para el cálculo de la estructura de cualquier objeto compacto esferoidal con tal de que su deformación no lo aleje mucho de la forma esférica. En la tesis ellas fueron utilizadas para obtener la relación masa-radio de Estrellas de condensado de Bose-Einstein magnetizadas.

- La comprobación de que los efectos del campo magnético en las EdE y la estructura de las Estrellas de condensado de Bose-Einstein magnetizadas son muy sensibles a la forma en que el campo magnético es modelado (Capítulos 4 y 6, y [115]).

Aunque en general, las EBE magnetizadas (no esféricas) son menos masivas y más pequeñas que sus análogas sin campo magnético (esféricas), cuantitativamente estos efectos solo se aprecian en el caso de campo magnético constante, pues cuando el campo magnético es producido por los bosones, la anisotropía en las EdE es despreciable y las curvas masa-radio de las EBE se superponen casi de manera perfecta con las del caso no magnetizado.

- La validación de la automagnetización como una fuente de campo magnético factible para los objetos compactos, y la derivación en nuestro modelo de un nuevo observable que puede ser comparado con los datos observacionales: el campo magnético superficial del objeto compacto. (Capítulos 4 y 6, y [115]).

Esto fue posible porque el suponer el campo magnético interno de la estrella generado por los

bosones permite calcular sus perfiles internos de manera autoconsistente. Los valores obtenidos están de acuerdo con los que se supone que existen en el interior y en la superficie de las Estrellas de Neutrones. Esto no solo confirma a la automagnetización como una fuente de campo magnético factible para los objetos compactos, sino que tiene además la ventaja de que el campo magnético es producido directamente por la materia que forma la estrella.



# Recomendaciones

De acuerdo con los objetivos que nos trazamos al comenzar las investigaciones que culminan con la presentación de esta tesis y con los resultados obtenidos en ella, formulamos, para la continuación del trabajo, las siguientes recomendaciones:

- Con respecto a la modelación de los *jets* astrofísicos:
  - Continuar la búsqueda de métricas y ecuaciones de estructura estáticas que permitan el estudio de la estabilidad gravitacional del *jet*.
- Con respecto a la descripción de la estructura de los objetos compactos no esféricos:
  - Continuar la búsqueda de métricas y ecuaciones de estructura que permitan la descripción de objetos compactos con anisotropía magnética, sin la restricción de que la deformación deba ser pequeña.
  - Extender las ecuaciones de estructura  $\gamma$  al caso de objetos compactos anisotrópicos en rotación.
- Con respecto a la modelación de las Estrellas de condensado de Bose-Einstein:
  - Incluir los efectos de la temperatura en las ecuaciones de estado de las Estrellas de condensado de Bose-Einstein magnetizadas.
  - Extender nuestros cálculos al caso de estrellas en rotación a fin de estudiar los efectos de la deformación magnética en la emisión de ondas gravitacionales.



## Apéndice A

# Unidades y constantes físicas utilizadas

En la tesis se ha utilizado el sistema de unidades naturales (UN) para escribir todas la ecuaciones. En este sistema:

$$\hbar = c = k_B = 1,$$

$$[\text{longitud}] = [\text{tiempo}] = [\text{masa}]^{-1} = [\text{energía}]^{-1} = [\text{temperatura}]^{-1},$$

y

$$1 \text{ m} = 5,07 \times 10^{13} \text{ MeV}^{-1},$$

$$1 \text{ kg} = 5,61 \times 10^{29} \text{ MeV},$$

$$1 \text{ s} = 1,52 \times 10^{21} \text{ MeV}^{-1},$$

$$1 \text{ K} = 8,617 \times 10^{-11} \text{ MeV},$$

$$1 \text{ J} = 6,242 \times 10^{12} \text{ MeV},$$

$$1\text{T} = 10^4 \text{ G} = 1,954 \times 10^{-10} \text{ MeV}^2.$$

En la Tabla A.1 se muestran las constantes físicas utilizadas en la tesis en unidades naturales.

Magnitud Física (Símbolo)	UN
Velocidad de la luz ( $c$ )	1
Constante de Dirac ( $\hbar$ )	1
Constante de Boltzmann ( $k_B$ )	1
Masa del electrón ( $m_e$ )	0,511 MeV
Masa del protón ( $m_p$ )	938,272 MeV
Masa del neutrón ( $m_n$ )	939,565 MeV
Carga eléctrica del electrón ( $e$ )	0,085
Magnetón de Borh ( $\mu_B$ )	0,083 MeV <sup>-1</sup>
Magnetón nuclear ( $\mu_N$ )	4,528 × 10 <sup>-5</sup> MeV <sup>-1</sup>
Constante de gravitación ( $G$ )	6,711 × 10 <sup>-45</sup> MeV <sup>-2</sup>
Masa del Sol ( $M_\odot$ )	1,116 × 10 <sup>60</sup> MeV
Radio del Sol ( $R_\odot$ )	3,528 × 10 <sup>21</sup> MeV <sup>-1</sup>

Tabla A.1: Constantes físicas utilizadas en la tesis expresadas en unidades naturales.

## Apéndice B

### Cálculo de $I$ (Ec.(2.17))

Para calcular la integral en el segundo término de la Ec. (2.17):

$$I = \int_{z_0}^{\infty} dz \frac{z^2}{\sqrt{z^2 + \alpha^2}} K_1(yz), \quad (\text{B.1})$$

se utilizará la función de McDonald  $K_1(yz)$  en la forma:

$$K_1(yz) = \frac{1}{yz} \int_0^{\infty} dt e^{-t - \frac{y^2 z^2}{4t}}. \quad (\text{B.2})$$

Si la Ec. (B.2) se sustituye en la Ec. (B.1), la integral sobre  $z$  puede realizarse y:

$$I = \frac{\sqrt{\pi}}{y^2} \int_0^{\infty} dt \sqrt{t} e^{-t + \frac{y^2 \alpha^2}{4t}} \operatorname{erfc} \left( \frac{y\sqrt{z^2 + \alpha^2}}{2\sqrt{t}} \right). \quad (\text{B.3})$$

A fin de integrar sobre  $t$  en la Ec. (B.3), la función de error complementaria  $\operatorname{erfc}(x)$  será reemplazada por su expansión en serie:

$$\operatorname{erfc}(x) \simeq \frac{e^{-x^2}}{\sqrt{\pi}x} \left( 1 - \sum_{w=1}^{\infty} \frac{(-1)^w (2w-1)!!}{(2x^2)^w} \right). \quad (\text{B.4})$$

Luego de sustituir la Ec. (B.4) en la Ec. (B.3) e integrar por  $t$ , se llega a la forma final de  $I$ :

$$I = \frac{z_0^2}{y\sqrt{z_0^2 + \alpha^2}} K_2(yz_0) - \frac{z_0^2}{y\sqrt{z_0^2 + \alpha^2}} \sum_{w=1}^{\infty} \frac{(-1)^w (2w-1)!!}{(z_0^2 + \alpha^2)^w} \left( \frac{z_0}{y} \right)^w K_{-(w+2)}(yz_0). \quad (\text{B.5})$$



## Apéndice C

# Potencial termodinámico del vacío

Para obtener la contribución del vacío al potencial termodinámico de un gas de bosones vectoriales neutros, Ec. (2.21), partimos de su definición:

$$\Omega_{vac} = \sum_{s=-1,0,1} \int_0^{\infty} \frac{p_{\perp} dp_{\perp} dp_3}{(2\pi)^2} \varepsilon$$

donde  $\varepsilon(p_{\perp}, p_3, B, s) = \sqrt{p_3^2 + p_{\perp}^2 + m^2 - 2\kappa s B \sqrt{p_{\perp}^2 + m^2}}$ .

Para integrar sobre  $p_3$  y  $p_{\perp}$  se utilizará la equivalencia:

$$\sqrt{a} = -\frac{1}{2\sqrt{\pi}} \int_0^{\infty} dy y^{-3/2} (e^{-ya} - 1) \quad (C.1)$$

de conjunto con la introducción de la cantidad pequeña  $\delta$  como límite inferior de la integral anterior a fin de regularizar la divergencia del término que depende de  $a$ , y eliminar el término que no depende de  $a$ :

$$\sqrt{a(\delta)} = -\frac{1}{2\sqrt{\pi}} \int_{\delta}^{\infty} dy y^{-3/2} e^{-ya}. \quad (C.2)$$

Hagamos ahora  $a(\delta) = \varepsilon^2 = p_3^2 + p_{\perp}^2 + m^2 - 2\kappa s B \sqrt{p_{\perp}^2 + m^2}$ . En consecuencia:

$$\varepsilon = -\frac{1}{2\sqrt{\pi}} \int_{\delta}^{\infty} dy y^{-3/2} e^{-y(p_3^2 + p_{\perp}^2 + m^2 - 2\kappa s B \sqrt{p_{\perp}^2 + m^2})}. \quad (C.3)$$

Sustituyendo la Ec. (C.3) en la Ec. (C.1) se obtiene para el potencial termodinámico de vacío la expresión siguiente:

$$\Omega_{vac} = -\frac{1}{8\pi^{5/2}} \sum_{s=-1,0,1} \int_{\delta}^{\infty} dy y^{-3/2} \int_0^{\infty} dp_{\perp} p_{\perp} \int_{-\infty}^{\infty} dp_3 e^{-y(p_3^2 + p_{\perp}^2 + m^2 - 2\kappa s B \sqrt{p_{\perp}^2 + m^2})}. \quad (C.4)$$

Luego de realizar la integral sobre  $p_3$ , la Ec. (C.4) queda:

$$\Omega_{vac} = -\frac{1}{8\pi^2} \sum_{s=-1,0,1} \int_{\delta}^{\infty} dy y^{-2} \int_0^{\infty} dp_{\perp} p_{\perp} e^{-y(p_{\perp}^2 + m^2 - 2\kappa s B \sqrt{p_{\perp}^2 + m^2})}. \quad (C.5)$$

Hagamos ahora el cambio de variables  $z = \sqrt{m^2 + p_{\perp}^2} - s\kappa B$  con el cual la Ec. (C.5) puede escribirse como:

$$\Omega_{vac} = -\frac{1}{8\pi^2} \sum_{s=-1,0,1} \left\{ \int_{\delta}^{\infty} dy y^{-3} e^{-y(m^2 - 2ms\kappa B)} + s\kappa B \int_{\delta}^{\infty} dy y^{-2} \int_{z_1}^{\infty} dz e^{-y(z^2 - s^2\kappa^2 B^2)} \right\}, \quad (C.6)$$

con  $z_1 = m - s\kappa B$ .

La Ec. (C.6) admite todavía una mayor simplificación a partir de hacer un segundo cambio de variables  $w = z - z_1$  en su último término, sumar sobre el spin y recordar que  $b = B/B_c$  con  $B_c = m/2\kappa$ :

$$\Omega_{vac} = -\frac{1}{8\pi^2} \left\{ \int_{\delta}^{\infty} dy y^{-3} e^{-ym^2} (1 + 2 \cosh [m^2 by]) + mb \int_{\delta}^{\infty} dy y^{-2} \int_0^{\infty} dw e^{-y(m-w)^2} \sinh [mb(m-w)y] \right\}. \quad (C.7)$$

Para tomar el límite  $\delta \rightarrow 0$  sustraeremos de  $1 + 2 \cosh [m^2 by]$  y  $\sinh [mb(m-w)y]$  el primer término de sus expansiones en series alrededor de cero con respecto a las cantidades  $m^2 by$  y  $mb(m-w)y$  respectivamente. Con ello se obtiene la siguiente expresión para el potencial termodinámico de vacío:

$$\Omega_{vac} = -\frac{1}{8\pi^2} \int_0^{\infty} dy y^{-3} e^{-ym^2} \{2 \cosh [m^2 by] - 2 - m^4 b^2 y^2\} - \quad (C.8)$$

$$-\frac{mb}{8\pi^2} \int_0^{\infty} dy y^{-2} \int_0^{\infty} dw e^{-y(m-w)^2} \left\{ \sinh [mb(m-w)y] - mb(m-w)y - \frac{[mb(m-w)y]^3}{6} \right\}.$$

Integrar sobre  $y$  y  $w$  en la Ec. (C.8) conduce a la Ec. (2.21), que es la forma final para el potencial termodinámico de vacío.

A través de un procedimiento similar se obtiene la Ec. (2.36) para la contribución al potencial termodinámico del vacío en el caso del gas de bosones vectoriales en una dimensión.

## Apéndice D

# Potencial termodinámico del gas de bosones escalares cargados en presencia de campo magnético

En este apéndice se muestra el cálculo del potencial termodinámico  $\Omega^{pp}$  del gas de bosones vectoriales cargados (Ecs. (3.10)) a partir del espectro de dichas partículas [98]:

$$\varepsilon^{pp}(p_3, n, B) = \sqrt{m_{pp}^2 + p_3^2 + 2qB(n + 1/2)} \quad (\text{D.1})$$

donde  $n = 0, 1, 2, \dots$  denota los niveles de Landau,  $m_{pp}$  es la masa y  $q$  es la carga eléctrica de las partículas.

Al igual que para los bosones vectoriales neutros (Capítulo 2), el potencial termodinámico de los bosones escalares cargados puede separarse en sus contribuciones estadística y de vacío,  $\Omega^{pp} = \Omega_{st}^{pp} + \Omega_{vac}^{pp}$ , que vienen dadas por:

$$\Omega_{st}^{pp}(B, \mu^{pp}, T) = \frac{qB}{4\pi^2\beta} \sum_{n=0,1,\dots,-\infty}^{\infty} \int dp_3 \ln \left( (1 - e^{-(\varepsilon^{pp}(p_3, n, B) - \mu^{pp})\beta}) (1 - e^{-(\varepsilon^{pp}(p_3, n, B) + \mu^{pp})\beta}) \right), \quad (\text{D.2})$$

y:

$$\Omega_{vac}^{pp}(B) = \frac{qB}{4\pi^2} \sum_{n=0,1,\dots,-\infty}^{\infty} \int dp_3 \varepsilon^{pp}(p_3, n, B, s). \quad (\text{D.3})$$

Para calcular  $\Omega^{pp}$  tomaremos el límite de baja temperatura  $T \ll m_{pp}$  y separaremos en dos casos: campo débil (CD)  $T \gg qB/m_{pp}$  y  $B \ll B_c^{pp} = m_{pp}^2/q$ ; y campo fuerte (CF)  $T \ll qB/m_{pp}$ .

En el límite de baja temperatura  $e^{-(\varepsilon^{pp}(p_3, n, B) + \mu)\beta} \ll 1$  y la contribución de las antipartículas puede ser despreciada. En consecuencia  $\Omega_{st}^{pp}(B, \mu, T)$  toma la forma:

$$\Omega_{st}^{pp}(B, \mu^{pp}, T) = \frac{qB}{4\pi^2\beta} \sum_{n=0,1,\dots,-\infty} \int_{-\infty}^{\infty} dp_3 \ln(1 - e^{-(\varepsilon^{pp}(p_3, n, B) - \mu^{pp})\beta}), \quad (D.4)$$

que con el uso del desarrollo en serie del logaritmo puede reescribirse como:

$$\Omega_{st}^{pp}(B, \mu^{pp}, T) = -\frac{qB}{4\pi^2\beta} \sum_{k=1,2,\dots} \sum_{n=0,1,\dots} \int_{-\infty}^{\infty} dp_3 \frac{e^{-k(\varepsilon^{pp}(p_3, n, B) - \mu^{pp})\beta}}{k} \quad (D.5)$$

$$= -\frac{qB}{4\pi^2\beta} \sum_{k=1,2,\dots} \sum_{n=0,1,\dots} \varepsilon^{pp}(n) \frac{e^{k\beta\mu^{pp}} K_1(k\beta\varepsilon^{pp}(n))}{k}, \quad (D.6)$$

con  $K_l(x)$  la función de McDonald de orden  $l$  y  $\varepsilon^{pp}(n) = \sqrt{m_{pp}^2 + 2qB(n+1/2)}$ .

En el caso de campo débil, como  $b^{pp} = B/B_c^{pp} \ll 1$ , la suma sobre los niveles de Landau puede aproximarse por una integral y la Ec. (D.6) se transforma en [102]:

$$\Omega_{st}^{pp}(B, \mu^{pp}, T) = -\frac{3(\varepsilon^{pp})^3}{2\pi^2\beta} \sum_{k=1,2,\dots} \frac{e^{k\beta\mu^{pp}}}{k} \int_1^{\infty} dz z^2 K_1(zk\beta\varepsilon^{pp}) \quad (D.7)$$

$$= -\frac{3(\varepsilon^{pp})^2}{2\pi^2\beta^2} \sum_{k=1,2,\dots} \frac{e^{k\beta\mu^{pp}}}{k} K_2(k\beta\varepsilon^{pp}), \quad (D.8)$$

donde  $\varepsilon^{pp} = m_{pp}\sqrt{1+b^{pp}}$ . Para pasar de la Ec. (D.6) a la Ec. (D.7) se hizo además el cambio de variables  $z = \sqrt{1+2nb^{pp}/(1+b^{pp})}$ .

Teniendo en cuenta nuevamente que  $T \ll m_{pp}$ , la Ec. (D.8) puede aproximarse por:

$$\Omega_{st}^{pp}(B, \mu^{pp}, T) \cong -\frac{3(\varepsilon^{pp})^{3/2}}{(2\pi)^{3/2}\beta^{5/2}} \sum_{k=1,2,\dots} \frac{e^{k\beta(\mu^{pp}-\varepsilon^{pp})}}{k^{5/2}}, \quad (D.9)$$

con lo cual la parte estadística del potencial termodinámico de los bosones escalares cargados en el límite de campo débil es:

$$\Omega_{st}^{pp}(B, \mu^{pp}, T) = -\frac{3(\varepsilon^{pp})^{3/2} Li_{5/2}(e^{\beta(\mu^{pp}-\varepsilon^{pp})})}{(2\pi)^{3/2}\beta^{5/2}}, \quad (D.10)$$

siendo  $Li_n(x)$  la función polilogarítmica de orden  $n$ .

Para el caso de campo fuerte, como  $T \ll qB/m_{pp}$ , todas las partículas se encuentran en el primer nivel de Landau,  $n = 0$  y por tanto:

$$\begin{aligned} \Omega_{st}^{pp}(B, \mu^{pp}, T) &= -\frac{qB}{4\pi^2\beta} \sum_{k=1,2,\dots} \sum_{n=0,1,\dots} \int_{-\infty}^{\infty} dp_3 \frac{e^{-k(\varepsilon^{pp}(p_3, n, B) - \mu^{pp})\beta}}{k} \\ &= -\frac{qB}{4\pi^2\beta} \sum_{k=1,2,\dots} \int_{-\infty}^{\infty} dp_3 \frac{e^{-k(\varepsilon^{pp}(p_3, 0, B) - \mu)\beta}}{k} \\ &= -\frac{qB\varepsilon^{pp}}{2\pi^2\beta} \sum_{k=1,2,\dots} \frac{e^{k\beta\mu^{pp}} K_1(k\beta\varepsilon^{pp})}{k^2}. \end{aligned} \quad (D.11)$$

Si además recordamos que  $T \ll m_{pp}$ , en el caso de campo fuerte  $\Omega_{st}^{pp}(B, \mu^{pp}, T)$  es:

$$\begin{aligned}\Omega_{st}^{pp}(B, \mu^{pp}, T) &\cong -\frac{qB(\varepsilon^{pp})^{1/2}}{(2\pi^2)^{3/2}\beta^{3/2}} \sum_{k=1,2,\dots} \frac{e^{k\beta(\mu^{pp}-\varepsilon^{pp})}}{k^{3/2}} \\ &= -\frac{m_{pp}^2 b(\varepsilon^{pp})^{1/2}}{(2\pi)^{3/2}\beta^{3/2}} Li_{3/2}(e^{k\beta(\mu^{pp}-\varepsilon^{pp})}).\end{aligned}\tag{D.12}$$

Por otra parte, siguiendo el procedimiento presentado en el Apéndice C es posible comprobar que, tanto para campo fuerte como para campo débil, la contribución de vacío  $\Omega_{vac}^{pp}(B)$  tiende a cero al ser regularizada. De forma que el potencial termodinámico total del gas magnetizado de bosones escalares cargados queda:

$$\Omega^{pp} = \begin{cases} -\frac{3(\varepsilon^{pp})^{3/2} Li_{5/2}(e^{\beta(\mu^{pp}-\varepsilon^{pp})})}{(2\pi)^{3/2}\beta^{5/2}}, & \mathbf{CD} \\ -\frac{3m_{pp}^2 b(\varepsilon^{pp})^{1/2} Li_{3/2}(e^{\beta(\mu^{pp}-\varepsilon^{pp})})}{(2\pi)^{3/2}\beta^{3/2}}, & \mathbf{CF} \end{cases},$$

que es precisamente la Ec. (3.10). A partir de ella, las expresiones dadas por las Ecs. (3.9) para las EdE del gas de bosones escalares cargados en presencia de un campo magnético se obtienen de manera análoga a las del gas vectorial neutro (ver Capítulo 2).



# Bibliografía

- [1] M. Camenzind, *Compact Objects in Astrophysics: White Dwarfs, Neutron Stars and Black Holes*. Astronomy and Astrophysics Library, Springer Berlin Heidelberg, 2007.
- [2] J. M. Lattimer and M. Prakash, “Neutron Star Observations: Prognosis for Equation of State Constraints,” *Phys. Rept.*, vol. 442, pp. 109–165, 2007.
- [3] B. P. Abbott, R. Abbott, T. Abbott, F. Acernese, K. Ackley, C. Adams, T. Adams, P. Addesso, R. Adhikari, V. Adya, *et al.*, “Gw170817: observation of gravitational waves from a binary neutron star inspiral,” *Physical Review Letters*, vol. 119, no. 16, p. 161101, 2017.
- [4] S. L. Shapiro and S. A. Teukolsky, *Black holes, white dwarfs, and neutron stars: The physics of compact objects*. New York, NY: Wiley, 1983.
- [5] A. Schmitt, “Dense matter in compact stars: A pedagogical introduction,” *Lect. Notes Phys.*, vol. 811, pp. 1–111, 2010.
- [6] A. Brandenburg and K. Subramanian, “Astrophysical magnetic fields and nonlinear dynamo theory,” *Phys. Rep.*, vol. 417, pp. 1–209, Oct. 2005.
- [7] M. Malheiro and J. G. Coelho, “Describing SGRs/AXPs as fast and magnetized white dwarfs,” in *Proceedings, Compact Stars in the QCD Phase Diagram III (CSQCD III): Guarujá, SP, Brazil, December 12-15, 2012*, 2013.
- [8] A. Hewish, S. J. Bell, J. D. H. Pilkington, P. F. Scott, and R. A. Collins, “Observation of a Rapidly Pulsating Radio Source,” *Nature*, vol. 217, pp. 709–713, Feb. 1968.
- [9] R. H. Fowler, “On dense matter,” *MNRAS*, vol. 87, pp. 114–122, Dec. 1926.
- [10] S. Chandrasekhar, “The Maximum Mass of Ideal White Dwarfs,” *ApJ*, vol. 74, p. 81, July 1931.
- [11] J. Chadwick, “Possible Existence of a Neutron,” *Nature*, vol. 129, p. 312, 1932.
- [12] W. Baade and F. Zwicky, “On Super-novae,” *Proceedings of the National Academy of Science*, vol. 20, pp. 254–259, May 1934.

- [13] D. G. Yakovlev, P. Haensel, G. Baym, and C. Pethick, “Lev Landau and the concept of neutron stars,” *Physics Uspekhi*, vol. 56, pp. 289–295, Mar. 2013.
- [14] J. R. Oppenheimer and G. M. Volkoff, “On massive neutron cores,” *Phys. Rev.*, vol. 55, pp. 374–381, Feb 1939.
- [15] R. C. Tolman, “Static solutions of einstein’s field equations for spheres of fluid,” *Phys. Rev.*, vol. 55, pp. 364–373, Feb 1939.
- [16] D. Page, M. Prakash, J. M. Lattimer, and A. W. Steiner, “Superfluid Neutrons in the Core of the Neutron Star in Cassiopeia A,” *PoS*, vol. XXXIVBNP, p. 005, 2011.
- [17] F. Weber, “Strange quark matter and compact stars,” *Prog. Part. Nucl. Phys.*, vol. 54, pp. 193–288, 2005.
- [18] P.-H. Chavanis and T. Harko, “Bose-Einstein Condensate general relativistic stars,” *Phys. Rev.*, vol. D86, p. 064011, 2012.
- [19] S. Latifah, A. Sulaksono, and T. Mart, “Bosons star at finite temperature,” *Physical Review D*, vol. 90, no. 12, p. 127501, 2014.
- [20] C. Gruber and A. Pelster, “A theory of finite-temperature Bose-Einstein condensates in neutron stars,” *European Physical Journal D*, vol. 68, p. 341, Nov. 2014.
- [21] A. B. Migdal, “Superfluidity and the moments of inertia of nuclei,” *Nucl. Phys. A*, vol. 13, pp. 655–674, Nov. 1959.
- [22] J. Sauls, “Superfluidity in the interiors of neutron stars,” in *NATO Advanced Science Institutes (ASI) Series C* (H. Ögelman and E. P. J. van den Heuvel, eds.), vol. 262 of *NATO Advanced Science Institutes (ASI) Series C*, p. 457, 1989.
- [23] D. Page, “Superfluidity and Superconductivity in the Neutron Star Core,” in *Electromagnetic Radiation from Pulsars and Magnetars* (W. Lewandowski, O. Maron, and J. Kijak, eds.), vol. 466 of *Astronomical Society of the Pacific Conference Series*, p. 161, Dec. 2012.
- [24] P. S. Shternin, D. G. Yakovlev, C. O. Heinke, W. C. G. Ho, and D. J. Patnaude, “Cooling neutron star in the Cassiopeia A supernova remnant: evidence for superfluidity in the core,” *MNRAS*, vol. 412, pp. L108–L112, Mar. 2011.
- [25] E. J. Ferrer, V. de la Incera, J. P. Keith, I. Portillo, and P. L. Springsteen, “Equation of state of a dense and magnetized fermion system,” *Phys. Rev. C*, vol. 82, p. 065802, Dec 2010.
- [26] D. Manreza Paret, J. E. Horvath, and A. Pérez Martínez, “Anisotropic stellar structure equations for magnetized strange stars,” *Res. Astron. Astrophys.*, vol. 15, no. 7, pp. 975–985, 2015.

- [27] D. Chatterjee, T. Elghozi, J. Novak, and M. Oertel, “Consistent neutron star models with magnetic field dependent equations of state,” *Mon. Not. Roy. Astron. Soc.*, vol. 447, p. 3785, 2015.
- [28] O. Zubairi and F. Weber, *Non-Spherical Compact Stellar Objects in Einstein’s Theory of General Relativity*, ch. Chapter 2. World Scientific Publishing, 2017.
- [29] M. Chaichian, S. S. Masood, C. Montonen, A. Pérez Martínez, and H. Pérez Rojas, “Quantum magnetic collapse,” *Phys. Rev. Lett.*, vol. 84, pp. 5261–5264, Jun 2000.
- [30] A. Pérez Martínez, H. Pérez Rojas, and H. J. Mosquera Cuesta, “Magnetic collapse of a neutron gas: Can magnetars indeed be formed?,” *European Physical Journal C*, vol. 29, pp. 111–123, July 2003.
- [31] R. G. Felipe, H. J. Mosquera Cuesta, A. Perez Martinez, and H. Perez Rojas, “Quantum instability of magnetized stellar objects,” *Chin. J. Astron. Astrophys.*, vol. 5, p. 399, 2005.
- [32] G. Quintero Angulo, A. Pérez Martínez, and H. P. Rojas, “Thermodynamic properties of a neutral vector boson gas in a constant magnetic field,” *Phys. Rev.*, vol. C96, no. 4, p. 045810, 2017.
- [33] E. M. de Gouveia Dal Pino, “The role of magnetic fields on astrophysical jets,” in *AIP Conference Proceedings*, vol. 784, pp. 183–194, AIP, 2005.
- [34] E. M. de Gouveia Dal Pino, “Astrophysical jets and outflows,” *Advances in Space Research*, vol. 35, pp. 908–924, Jan. 2005.
- [35] O. Cherny, “On magnetic field generation mechanisms in astrophysics,” in *Magnetic Stars*, pp. 444–449, 2011.
- [36] K. Yamada, “Thermal properties of the system of magnetic bosons. bose-einstein ferromagnetism,” *Progress of Theoretical Physics*, vol. 67, no. 2, pp. 443–453, 1982.
- [37] H. Pérez Rojas, E. Rodríguez Querts, and A. Pérez Martínez, “Quantum relativistic electron gas expanding in one dimension,” *International Journal of Modern Physics: Conference Series*, vol. 45, p. 1760045, 2017.
- [38] G. Quintero Angulo, A. P. Martínez, and H. P. Rojas, “Condensation of neutral vector bosons with magnetic moment,” *International Journal of Modern Physics: Conference Series*, vol. 45, p. 1760047, 2017.
- [39] L. Suárez-González, G. Q. Angulo, A. P. Martínez, and H. P. Rojas, “A non-relativistic magnetized vector boson gas at any temperature,” *Journal of Physics: Conference Series*, vol. 1239, p. 012004, may 2019.

- [40] J. Macher and J. Schaffner-Bielich, “Phase transitions in compact stars,” *European journal of physics*, vol. 26, no. 3, p. 341, 2005.
- [41] M. Alford, M. Braby, M. Paris, and S. Reddy, “Hybrid stars that masquerade as neutron stars,” *The Astrophysical Journal*, vol. 629, no. 2, p. 969, 2005.
- [42] R. Nandi, P. Char, and S. Pal, “Constraining the equation of state with gravitational wave observation,” *ArXiv e-prints:[arXiv(astro-ph.HE/1809.07108)]*, 2018.
- [43] S. Weinberg, *Gravitation and Cosmology: Principles and Applications of the General Theory of Relativity*. New York, NY: Wiley, 1972.
- [44] P. Demorest, T. Pennucci, S. Ransom, M. Roberts, and J. Hessels, “Shapiro Delay Measurement of A Two Solar Mass Neutron Star,” *Nature*, vol. 467, pp. 1081–1083, 2010.
- [45] J. Antoniadis *et al.*, “A Massive Pulsar in a Compact Relativistic Binary,” *Science*, vol. 340, p. 6131, 2013.
- [46] B. P. Abbott, R. Abbott, T. D. Abbott, M. R. Abernathy, F. Acernese, K. Ackley, C. Adams, T. Adams, P. Addesso, R. X. Adhikari, and *et al.*, “Properties of the Binary Black Hole Merger GW150914,” *Phys. Rev. Lett.*, vol. 116, p. 241102, June 2016.
- [47] B. P. Abbott *et al.*, “Estimating the Contribution of Dynamical Ejecta in the Kilonova Associated with GW170817,” *Astrophys. J.*, vol. 850, no. 2, p. L39, 2017.
- [48] U. Lombardo and H. J. Schulze, “Superfluidity in neutron star matter,” *Lect. Notes Phys.*, vol. 578, pp. 30–53, 2001. [,30(2000)].
- [49] V. L. Ginzburg and D. A. Kirzhnits, “On the superfluidity of neutron stars,” *Nucl. Phys. A*, vol. 47, pp. 1346–1348, Nov. 1964.
- [50] D. Blaschke, H. Grigorian, D. N. Voskresensky, and F. Weber, “On the Cooling of the Neutron Star in Cassiopeia A,” *Phys. Rev.*, vol. C85, p. 022802, 2012.
- [51] B. Y. Sun, H. Toki, and J. Meng, “Relativistic description of BCS-BEC crossover in nuclear matter,” *Phys. Lett.*, vol. B683, pp. 134–139, 2010.
- [52] M. Stein, A. Sedrakian, X.-G. Huang, and J. W. Clark, “Spin-polarized neutron matter: Critical unpairing and BCS-BEC precursor,” *Phys. Rev.*, vol. C93, no. 1, p. 015802, 2016.
- [53] A. Sedrakian and J. W. Clark, “Nuclear superconductivity in compact stars: BCS theory and beyond,” *Ser. Adv. Quant. Many Body Theor.*, vol. 8, pp. 135–174, 2006.
- [54] M. Baldo, O. Elgaroey, L. Engvik, M. Hjorth-Jensen, and H. J. Schulze, “Triplet P-3(2) to F-3(2) pairing in neutron matter with modern nucleon-nucleon potentials,” *Phys. Rev.*, vol. C58, pp. 1921–1928, 1998.

- [55] R. Combescot, “BCS superfluidity in ultracold gases with unequal atomic populations,” *EPL (Europhysics Letters)*, vol. 55, pp. 150–156, Jul 2001.
- [56] V. A. Khodel, J. W. Clark, M. Takano, and M. V. Zverev, “Phase transitions in nucleonic matter and neutron - star cooling,” *Phys. Rev. Lett.*, vol. 93, p. 151101, 2004.
- [57] E. Gubankova, F. Wilczek, and E. G. Mishchenko, “Breached superfluidity in P-wave,” *Phys. Rev. Lett.*, vol. 94, p. 110402, 2005.
- [58] G. E. Astrakharchik, J. Boronat, J. Casulleras, and S. Giorgini, “Momentum distribution and condensate fraction of a fermion gas in the bcs-bec crossover,” *Phys. Rev. Lett.*, vol. 95, p. 230405, Dec 2005.
- [59] M. Matsuo, “Spatial structure of neutron Cooper pair in low density uniform matters,” *Phys. Rev.*, vol. C73, p. 044309, 2006.
- [60] J. Margueron, H. Sagawa, and K. Hagino, “BCS-BEC crossover of neutron pairs in symmetric and asymmetric nuclear matters,” *Phys. Rev.*, vol. C76, p. 064316, 2007.
- [61] J. Bardeen, L. N. Cooper, and J. R. Schrieffer, “Microscopic theory of superconductivity,” *Phys. Rev.*, vol. 106, pp. 162–164, Apr 1957.
- [62] J. Bardeen, L. N. Cooper, and J. R. Schrieffer, “Theory of superconductivity,” *Phys. Rev.*, vol. 108, pp. 1175–1204, Dec 1957.
- [63] A. Bohr, B. R. Mottelson, and D. Pines, “Possible analogy between the excitation spectra of nuclei and those of the superconducting metallic state,” *Phys. Rev.*, vol. 110, pp. 936–938, May 1958.
- [64] M. Randeria and E. Taylor, “BCS-BEC Crossover and the Unitary Fermi Gas,” *Ann. Rev. Condensed Matter Phys.*, vol. 5, pp. 209–232, 2014.
- [65] A. Leggett and S. Zhang, *The BEC-BCS crossover: Some history and some general observations*, pp. 33–47. Lecture Notes in Physics, 1 2012.
- [66] M. M. Parish, *The BCS-BEC Crossover*, pp. 179–197. World Scientific Publishing Co, Sept. 2015.
- [67] C. Regal, *Experimental realization of BCS-BEC crossover physics with a Fermi gas of atoms*. PhD thesis, University of Colorado at Boulder, Jan 2006.
- [68] L. B. Leinson, “The cooling of the Cassiopeia A neutron star as a probe of a triplet neutron pairing in the core,” *ArXiv e-prints:[arxiv(astro-ph.HE/1509.02827)]*, Sept. 2015.
- [69] C. J. Pethick, T. Schaefer, and A. Schwenk, “Bose-Einstein condensates in neutron stars,” *ArXiv e-prints:[arxiv(nucl-th/1507.05839)]*, July 2015.

- [70] R. Ruffini and S. Bonazzola, “Systems of self-gravitating particles in general relativity and the concept of an equation of state,” *Phys. Rev.*, vol. 187, pp. 1767–1783, Nov 1969.
- [71] M. Gleiser, “Stability of boson stars,” *Phys. Rev. D*, vol. 38, pp. 2376–2385, Oct 1988.
- [72] L. D. Landau, E. M. Lifshitz, and L. P. Pitaevskii, *Statistical physics*. Oxford ; New York : Pergamon Press, 3d ed., 1980.
- [73] E. Takasugi and M. Yoshimura, “Gravitational stability of cold bose star,” *Zeitschrift für Physik C Particles and Fields*, vol. 26, pp. 241–243, Nov 1984.
- [74] P. Grandclement, C. Somé, and E.ourgoulhon, “Models of rotating boson stars and geodesics around them: new type of orbits,” *Phys. Rev.*, vol. D90, no. 2, p. 024068, 2014.
- [75] M. H. Anderson, J. R. Ensher, M. R. Matthews, C. E. Wieman, and E. A. Cornell, “Observation of bose-einstein condensation in a dilute atomic vapor,” *Science*, vol. 269, pp. 198 – 201, 07/1995 1995.
- [76] L. Ferrario and D. T. Wickramasinghe, “Magnetic Fields and Rotation of Compact Stars,” in *14th European Workshop on White Dwarfs* (D. Koester and S. Moehler, eds.), vol. 334 of *Astronomical Society of the Pacific Conference Series*, p. 281, July 2005.
- [77] L. Ferrario, A. Melatos, and J. Zrake, “Magnetic Field Generation in Stars,” *Space Sci. Rev.*, vol. 191, pp. 77–109, Oct. 2015.
- [78] R. C. Duncan and C. Thompson, “Magnetars,” in *High Velocity Neutron Stars* (R. E. Rothschild and R. E. Lingenfelter, eds.), vol. 366 of *American Institute of Physics Conference Series*, pp. 111–117, Apr. 1996.
- [79] C. Thompson and R. C. Duncan, “Neutron star dynamos and the origins of pulsar magnetism,” *ApJ*, vol. 408, pp. 194–217, May 1993.
- [80] R. G. Felipe and A. P. Martinez, “Stability window and mass-radius relation for magnetized strange quark stars,” *J. Phys.*, vol. G36, p. 075202, 2009.
- [81] D. M. Paret, J. E. Horvath, and A. P. Martínez, “Maximum mass of magnetic white dwarfs,” *Res. Astron. Astrophys.*, vol. 15, no. 10, pp. 1735–1741, 2015.
- [82] V. Dexheimer, B. Franzon, and S. Schramm, “A self-consistent study of magnetic field effects on hybrid stars,” *J. Phys. Conf. Ser.*, vol. 861, no. 1, p. 012012, 2017.
- [83] C. Carrasco-González, L. F. Rodríguez, G. Anglada, J. Martí, J. M. Torrelles, and M. Osorio, “A Magnetized Jet from a Massive Protostar,” *Science*, vol. 330, p. 1209, Nov. 2010.
- [84] J. Beall, “A review of astrophysical jets,” *Frascati Workshop 2013 - 10th International Workshop on Multifrequency Behaviour of High Energy Cosmic Sources*, vol. 1, pp. 259–264, 01 2013.

- [85] R. W. Tucker and T. J. Walton, “On Gravitational Chirality as the Genesis of Astrophysical Jets,” *Class. Quant. Grav.*, vol. 34, no. 3, p. 035005, 2017.
- [86] C. Chicone and B. Mashhoon, “Gravitomagnetic Jets,” *Phys. Rev.*, vol. D83, p. 064013, 2011.
- [87] D. Bini, C. Chicone, and B. Mashhoon, “Relativistic Tidal Acceleration of Astrophysical Jets,” *Phys. Rev.*, vol. D95, no. 10, p. 104029, 2017.
- [88] P. Hartigan, “Laboratory Experiments of Stellar Jets from the Perspective of an Observer,” *Ap&SS*, vol. 298, pp. 99–105, July 2005.
- [89] M. Bocquet, S. Bonazzola, E. Gourgoulhon, and J. Novak, “Rotating neutron star models with magnetic field,” *Astron. Astrophys.*, vol. 301, p. 757, 1995.
- [90] K. Konno, T. Obata, and Y. Kojima, “Deformation of relativistic magnetized stars,” *A&A*, vol. 352, pp. 211–216, Dec. 1999.
- [91] O. Zubairi, A. Romero, and F. Weber, “Static solutions of einstein’s field equations for compact stellar objects,” *Journal of Physics: Conference Series*, vol. 615, no. 1, p. 012003, 2015.
- [92] O. Zubairi, W. Spinella, A. Romero, R. Mellinger, F. Weber, M. Orsaria, and G. Contrera, “Non-Spherical Models of Neutron Stars,” *ArXiv e-prints:[arxiv(astro-ph.SR:1504.03006)]*, Apr. 2015.
- [93] O. Zubairi and F. Weber, “Self consistent models of deformed neutron stars in the framework of general relativity,” *Journal of Physics: Conference Series*, vol. 845, p. 012005, 05 2017.
- [94] O. Zubairi, D. Wigley, and F. Weber, “Stellar structure models of deformed neutron stars,” *International Journal of Modern Physics: Conference Series*, vol. 45, p. 1760029, 01 2017.
- [95] J. A. Young and S. A. Bludman, “Electromagnetic properties of a charged vector meson,” *Phys. Rev.*, vol. X131, pp. 2326–2334, 09 1963.
- [96] A. J. Silenko, “High precision description and new properties of a spin-1 particle in a magnetic field,” *Phys. Rev.*, vol. D89, no. 12, p. 121701, 2014.
- [97] G. Quintero Angulo, A. Pérez Martínez, and H. Pérez Rojas, “Anisotropic equation of state of charged and neutral vector boson gases in a constant magnetic field. Astrophysical implications,” *Astron. Nachr./AN.*, vol. 338, pp. 1127–1130, 2017.
- [98] H. P. Rojas, “Bose-Einstein condensation may occur in a constant magnetic field,” *Physics Letters B*, vol. 379, pp. 148–152, Feb. 1996.
- [99] H. P. Rojas, “On bose-einstein condensation in any dimension,” *Physics Letters A*, vol. 234, no. 1, pp. 13 – 19, 1997.

- [100] H. Perez Rojas and L. Villegas-Lelovski, “Bose-Einstein condensation in a constant magnetic field,” *Brazilian Journal of Physics*, vol. 30, pp. 410 – 418, 06 2000.
- [101] V. R. Khalilov and C.-L. Ho, “Pair production of charged vector bosons in supercritical magnetic fields at finite temperatures,” *Phys. Rev. D*, vol. 60, p. 033003, Jun 1999.
- [102] V. Khalilov, C.-L. Ho, and C. Yang, “Condensation and magnetization of charged vector boson gas,” *Modern Physics Letters A*, vol. 12, pp. 1973–1981, 09 1997.
- [103] R. L. Delgado, P. Bargueño, and F. Sols, “Two-step condensation of the charged bose gas,” *Phys. Rev. E*, vol. 86, p. 031102, Sep 2012.
- [104] X. Jian, J. Qin, and Q. Gu, “Diamagnetism versus paramagnetism in charged spin-1 bose gases,” *Journal of Physics: Condensed Matter*, vol. 23, no. 2, p. 026003, 2011.
- [105] M. N. Chernodub, “Superconductivity of QCD vacuum in strong magnetic field,” *Phys. Rev.*, vol. D82, p. 085011, 2010.
- [106] M. N. Chernodub, J. Van Doorselaere, and H. Verschelde, “Magnetic-field-induced superconductivity and superfluidity of W and Z bosons: in tandem transport and kaleidoscopic vortex states,” *Phys. Rev.*, vol. D88, p. 065006, 2013.
- [107] L. M. Satarov, M. I. Gorenstein, A. Motornenko, V. Vovchenko, I. N. Mishustin, and H. Stoecker, “Bose-Einstein condensation and liquid-gas phase transition in alpha-matter,” *J. Phys.*, vol. G44, p. 12, 2017.
- [108] R. K. Pathria, *Statistical mechanics / R.K. Pathria*. Butterworth-Heinemann Oxford ; Boston, 2nd ed. ed., 1996.
- [109] E. S. Fradkin, “Methods of Green’s functions in quantum field theory in quantum statistics,” in *Quantum Field Theory and Hydrodynamics* (N. Y. Consultants Bureau, ed.), vol. 29, pp. 1–131, 1967.
- [110] J. Marín Antuña, *Métodos Matemáticos de la Física: Texto de Las Carreras Licenciatura E Ingeniería Física*. Editorial Universitaria, 2000.
- [111] H. Perez Rojas and E. Rodriguez Querts, “Negative pressures in QED vacuum in an external magnetic field,” *Int. J. Mod. Phys.*, vol. A21, pp. 3761–3770, 2006.
- [112] G. Quintero Angulo, A. Pérez Martínez, and H. P. Rojas, “An astrophysical jet description from quantum magnetic collapse and self-maintained magnetic field,” *En preparación*, 2019.
- [113] D. Alvear Terrero, P. Bargueño, E. Contreras, A. P. Martínez, and G. Quintero Angulo, “Anisotropic magnetized sources in general relativity: An exact description for the magnetized vacuum,” *International Journal of Modern Physics D*, vol. 0, no. 0, p. 1950090, 2019.

- [114] D. A. Terrero, V. H. Mederos, S. L. Pérez, D. M. Paret, A. P. Martínez, and G. Quintero Angulo, “Modeling anisotropic magnetized white dwarfs with  $\gamma$  metric,” *Phys. Rev. D*, vol. 99, p. 023011, Jan 2019.
- [115] G. Quintero Angulo, A. Pérez Martínez, H. Pérez Rojas, and D. Manreza Paret, “(self-)magnetized bose–einstein condensate stars,” *International Journal of Modern Physics D*, vol. 28, no. 10, p. 1950135, 2019.
- [116] C. J. Pethick and H. Smith, *Bose-Einstein Condensation in Dilute Gases*. Cambridge, UK: Cambridge University Press, 2008.
- [117] D. Chatterjee, J. Novak, and M. Oertel, “Magnetic field distribution in magnetars,” *ArXiv eprints:[arxiv(nucl-th/1808.01778)]*.
- [118] D. Malafarina, “Physical properties of the sources of the gamma metric,” *International Workshop on Dynamics and thermodynamics of Black Holes, Politecnico of Milano*, May 2004.
- [119] D. Malafarina, G. Magli, and L. Herrera, “Static axially symmetric sources of the gravitational field,” *AIP Conference Proceedings*, vol. 751, 03 2005.
- [120] F. Esposito and L. Witten, “On a static axisymmetric solution of the einstein equations,” *Physics Letters B*, vol. 58, p. 357–360, 09 1975.
- [121] B. Stewart, D. Papadopoulos, L. Witten, R. Berezhdivin, and L. Herrera, “An interior solution for the gamma metric,” *General Relativity and Gravitation*, vol. 14, no. 1, pp. 97–103, 1982.
- [122] K. S. Thorne, “The General Relativistic Theory of Stellar Structure and Dynamics,” in *High Energy Astrophysics, Volume 3*, vol. 65, 1967.
- [123] L. Herrera, F. M. Paiva, and N. O. Santos, “The levi-civita space–time as a limiting case of the gamma space–time,” *Journal of Mathematical Physics*, vol. 40, no. 8, pp. 4064–4071, 1999.
- [124] F. Frutos-Alfaro, H. Quevedo, and P. A. Sanchez, “Comparison of vacuum static quadrupolar metrics,” *Royal Society Open Science*, vol. 5, p. 170826, May 2018.
- [125] J. M. Lattimer and M. Prakash, “Neutron star structure and the equation of state,” *Astrophys. J.*, vol. 550, p. 426, 2001.
- [126] F. Weber, R. Negreiros, P. Rosenfield, and M. Stejner, “Pulsars as Astrophysical Laboratories for Nuclear and Particle Physics,” *Prog. Part. Nucl. Phys.*, vol. 59, pp. 94–113, 2007.
- [127] D. Lai and S. L. Shapiro, “Cold equation of state in a strong magnetic field - Effects of inverse beta-decay,” *ApJ*, vol. 383, pp. 745–751, Dec. 1991.